

7 PROPOZIMI TEKNIK

7.1. PERSHKRIM I PERGJITHSHEM

Segmenti rrugore qe propozohet fillon ne Km0+000 ne dalje te fshatit Salari dhe perfundon ne Km 13+950 ne fshatin Nivicë.



Horografia

Ky variant ndjek krahun e djathte te përroit ne krahe te skarpate deri ne Km 0+880 dhe e intersekton ate me nje ure te re HD-6m.



Me pas vazhdon ne rrafshnaltën e fushave te Nivices.

Sekzioni terthore tip i parashikuar ne kete zone eshte C'2 me gjeresi te gjurmese kaluese 3.5m dhe me bankina 2x0.5m.

Cdo 250m jane parashikuar vendrrime per automjetet me gjeresi 2m dhe gjatesi 40m.

7.1.1 SEGMENTI RRUGOR

Segmenti rrugor i cili fillon ne dalje te fshatit Salari dhe perfudon ne fshatin Nivice sipas kerkesave te investitorit eshte trajtuar me nje gjeresi te gjurmese kaluese 3m dhe me bankine 2x0.5m.

Jane vendosur vendrriimet per automjetet cdo 250m me gjeresi 2m dhe gjatesi 40m.

Ruga eshte parashikuar me pjerresi terthore te njehshme prej $i=2.5\%$ ne rruge te drejte dhe $i_{max}=6\%$ ne kthesa.

Grumbullimi dhe i disiplinimi i ujrave eshte realizuar me ane te kanaleve kullues dheu ne krah te skarpates dhe shkarkimi neper puseta me tombino.

Pergjate gjithe segmentit rrugor ne studim jane perdorur profile te ndryshme rrugeshe sipas rrethanave te saj. Per kete arsyen e gjithe rruga trajtohet e perbere nga disa segmente rrugore me karakteristika te ndryshme.

7.2. Llogaritja e Shtresave Rrugore

A. Metodologjia e perdorur

I. Faktoret e dimensionimit.

I.1 Tipologjia e rrugeve.

Bazuar ne Kushtet Teknike te Projektimit te Rrugeve Automobilistike KTP No.22-2002, rruget klasifikohen ne 5 tipe te ndryshem te individualizuara sipas tabeles se meposhtme:

Tab.1 Klasifikimi i rrugave sipas standartit shqiptar KTP No.22-2002

Nr.	Tipi i Rruges	Simboli
1	Autostrada	A1,A2,A3
2	I	B1, B'1
3	II	B2
4	III	C1
5	IV	C2, C'2
6	V	C3

I.2 Trafiku

Per kompozimin e parashikimit te trafikut per cdo tip rrule, vleresohen aspektet karakteristike te mjeteve komerciale si ne tabelen e meposhteme:

Tab.2 Tipet e mjeteve komerciale, numri i akseve, shperndaria e ngarkeses per aks.

Tipi i mjetit	Nr. Akse	Shperndaria e ngarkeses ne aks ne KN								
1) Mjete te lehta	2	10			20					
2) Mjete te lehta	2	15			30					
3) Mjete te mesme dhe te renda	2	40			80					
4) Mjete te mesme dhe te renda	2	50			110					
5) Mjete te renda	3	40			80	80				
6) Mjete te renda	3	60			100	100				
7) Trajlera e mjete te artikuluar	4	40			90		80			80
8) Trajlera e mjete te artikuluar	4	60			100		100			100
9) Trajlera e mjete te artikuluar	5	40	80	80					80	80
10) Trajlera e mjete te artikuluar	5	60	90	90					100	100
11) Trajlera e mjete te artikuluar	5	40	100					80	80	80
12) Trajlera e mjete te artikuluar	5	60	110					90	90	90
13) Mjete pune (Kamion)	5	50	120					130	130	130
14) Autobuze	2	40		80						
15) Autobuze	2	60		100						
16) Autobuze	2	50		80						

Kthimi i mjeteve ne njesi, behet duke marre per mjet njesi veturen, sipas tabeles se meposhtme :

Tab.3 Konvertimi ne mjetet njesi

Nr.	Emertimi i llojit te mjeteteve	Koeficienti i kthimit
1	Vetura dhe automjete te tjera te vogla deri 1,5 ton	1
2	Kamion pa rimorkio	2
3	Autobuze	2.5
4	Kamion me rimorkio, maune, traktore me goma	3.5
5	Karroce	4.0
6	Motociklete	0.25

Trafiku merret ne konsiderate sipas katalogut, dhe shprehet ne numrin komplesiv te mjeteteve komerciale qe kalojne ne korsine me te ngarkuar.

Nivelet e trafikut te parashikuar jepen ne Tab. 4

Tab.4 Niveli i trafikut ne korsine me te ngarkuar.

Niveli i trafikut	Numri i mjeteteve komerciale
Autostrada	12.000-15.000
I	5.001-12.000
II	2.501-5.000
III	1.251-2.5000
IV	350-1.250
V	Me pak se 350

I.3 Bazamenti

Parametria e zgjedhur per te karakterizuar aftesine mbajtese, eshte "moduli rezilient", Mr e projektit e cila vleresohet mbi bazen e provave eksperimentale te vleresuara sipas normes AASHTO T274-82.

Zgjedhja e ketij parametri percaktohet nga fakti qe shpreh me se miri aftesine mbajtese te bazamentit, duke marre ne konsiderarte komponentin e viskozitetit reversibel te modulit te deformacionit. Kur nuk disponohet atrecatura e nevojshme per percaktimin e Mr-se, mund te perdoren korelacionet e peraferta disponible me treguesin **CBR** dhe modulin e reaksionit **K**.

Konsiderohen tre kategori tereni me bazament te mire, sipas moduleve rezilente te paraqitura ne tabelen nr. 5.

Tab.5 Moduli rezilient i bazamentit.

Mr=150 N/mm ²	CBR=15 %, K=100 Kpa/mm
Mr=90 N/mm ²	CBR=9 %, K=60 Kpa/mm
Mr=30 N/mm ²	CBR=3%, K=20 Kpa/mm

Mund te vleresohet qe ne rastin kur kemi terrene me aftesi mbajtese te dobet (Mr=30 N/mm² ose CBR= 3%) , ne rastet e autostradave, rrugeve ekstraurbane kryesore dhe sekondare me trafik te rende, skeda e katalogut parashikon nderhyrjet per bonifikimin e terrenit te bazamentit per te garantuar konservimin e nje niveli te rregullt mbi te cilin do te vendosen shtresat rrugore.

I.4 Llogaritja

Llogaritja e shtresave ne katalog bazohet ne metoda dimensionimi qe jane empirike, teorike edhe racionale.

Metoda empiriko-teorike e perdorur , bazohet ne "Udhezuesin AASHTO per Projektimin e Strukture se Shtresave". Kjo metode ka per qellim nder te tjera te marre ne konsiderate besueshmerine e zgjedhjeve, si dhe probabilitetin e tyre te jetegjatesise deri ne fund te kohes se perdorimit, si dhe treguesin e funksionalitetit PSI (Present Service Ability Indeks).

Ne vijim te sa me siper dhe sipas investigimeve te kryera ne kete faze, rezulton se trafiku perdorues ne aksin rrugor Kuc –Gusmar eshte relativisht i lehte. Meqenese projekti kalon ne nje zone ku nuk ka pasur rruge me pare atehere edhe numri dhe llojet e makinave qe do te kalojne ne rruge nuk eshte i matur. Per te percaktuar numrin dhe llojet e makinave qe do te kalojne ne kete aks rrugor jemi mbeshtetur ne faktin se kjo rruga lidh fshatrat Kuc dhe Gusmar dhe se popullsia e ketyre zonave eshte relativisht e vogel.Gjithashtu,Duke u bazuar ne sa me siper , ky aks rrugor do kete nje fluks me te lehte se aksi Borsh-Kuc. Duke u bazuar ne keto te dhena numri dhe struktura e mjeteve perdorues jepet ne tabelen e meposhtme.

Numri i mjeteve qe do te perdorin kete aks rrugor do te jete rreth 400 mjete për 24 orë, prej të cilave:

Vetura	Furgona	Kamiona –15ton
60%	30%	10%
1	1	2
108 mjete/njësi	54 mjete/njësi	18 mjete/njësi

E konvertuar në mjete njësi sipas koeficientëve ky numër verifikohet në:

180 mjete/njësi/ditë

Nga llogaritja rezulton se sasia e mjeteve njësi që kalojnë për një periudhë një mujore është:

$$n = 180 * 30 \text{ ditë} = 5'400 \text{ mjete/njësi/muaj}$$

Sasia e mjeteve njësi që kalojnë për një vit është:

$$N = 5'400 \text{ mjete/njësi} \times 12 = 64'800 \text{ mjete/njësi/vit}$$

Sipas të dhënave nga matjet e kryera në objekt, përqindja e rritjes është rreth 5% ndërsa periudha e llogaritjes së trafikut është e kërkuar për 20 vjet.

Sasia e mjeteve e pritshme për një periudhë 20 vjeçare llogaritet si më poshtë:

$$N = \frac{(1 + 5\%)^{20} - 1}{5\%} = X \text{ mjete/njësi}$$

Duke vendosur vlerat e rezultuara nga matjet, rezulton qe sipas formulas, numri i mjeteve per një periudhe 20 vjecare eshte si me poshtë:

$$N = 64,800 \frac{1.6289 - 1}{0.15} = 815,054 \text{ mjete/njësi}$$

Duke qene se rruga e projektuar kerkohet me dy vija kalimi numri I mjeteve njësi qe kalon ne një korsi eshte:

$$N = \frac{815,054}{2} = 407,527 \text{ mjete/njësi}$$

Llogaritia e shtresave rrugore bazohet mbi studimin gjeologjik, dhe në të dhënrat e gjendjes së bazamentit të rrugës.

Llogaritia e shtresave është bazuar në normat italiane CNR, të cilat bazohen në metodën AASHTO sipas volumit të trafikut komercial për të gjithë kohën e jetëgjatësisë së parashikuar në projekt dhe rritjes mesatare vjetore.

Llogaritjet janë bërë në përputhje me kapacitetin mbajtes të bazamentit të shprehur në modulin e kompresionit, modulin e deformacionit dhe CBR (modulin rezilient Mr). Ngarkesa aksiale është marrë 10 ton.

Sasia e trafikut të parashikuar për një periudhë 20 vjeçare prej 1'992'338 mjete njësi ose 996'169 ne një korsi, mund të grupohet për llogaritjen e shtresave në grupin nga katalogu i shtresave N. 5F per rruge ekstra urbane sekondare – Turistike me CBR te paraqitura ne tabelen e meposhtme.

Sipas AASHTO çdo shtresë karakterizohet nga një koeficient i fortësisë i cili është përcaktuar nga kapaciteti mbajtës dhe shuma e tyre për çdo shtresë jep numrin strukturor S_N .

Sipas studimit gjeologjik rezultojne 3 lloj bazamentesh gjeologjike te lokalizuar ne progresivat perkates dhe me tregues te CBR si me poshte:

Tab.6 Pershkrimi i bazamentit gjeologjik

Nr.	Progresivi	Distanca(km)	CBR
1	0+000 – 4+300	4.300	50%
2	4+300 – 7+300	3.000	60%
3	7+300 – 12+700	5.400	30%
4	12+700 – 13+950	1250	50%

Sipas te dhenave te mesiperme, rezulton qe rruga e projektuar mbeshtetet ne teresi ne formacione te forta .

Referuar sa me siper, per trajtimin e shtresave rruore dhe llogaritjen e tyre, do te mbeshtetemi ne tre grupime kryesore si me poshte :

1. Bazamente me CBR 9% K=60 Kpa/mm ($Mr = 90 \text{ N/mm}^2$) .

Ky lloj bazamenti shtrihet ne keto zona sipas progresivave:

2. Bazamente me CBR me te madhe se 25% (bazamente shume te forta shkembore).Ky lloj bazamenti shtrihet ne keto zona sipas progresivave:

Numri strukturor i shtresave te marra në katalog do të jetë:

Per $Mr = 90 \text{ N/mm}^2$ (CBR 9%) (sipas katalogut)

Asfaltobeton	$4 \times 0.45 = 1.8$
Binder	$5 \times 0.40 = 2.0$
Konglomerat bituminos	$10 \times 0.30 = 3.0$
Stabilizant	$15 \times 0.14 = 2.1$

$$S_N = 8.9$$

Per $Mr = 150 \text{ N/mm}^2$ (CBR 15%) (sipas katalogut)

Asfaltobeton	$4 \times 0.45 = 1.8$
Binder	$5 \times 0.40 = 2.0$
Konglomerat bituminos	$10 \times 0.30 = 3.0$

$$S_N = 6.8$$

Sipas projektit të paraqitur kemi këto shtresa:

Per $M_r = 90 \text{ N/mm}^2$ (CBR 9%)

Asfaltobeton	$4 \times 0.45 = 1.8$
Binder	$6 \times 0.40 = 2.4$
Stabilizant 0/20 (2x10cm)	$20 \times 0.14 = 2.8$
Cakull minash (1x20cm)	$20 \times 0.14 = 2.8$
	$S_N = 9.8$

$S_N = 9.8 > S_N = 8.9$

Per M_r mbi 250 N/mm^2 (CBR me te medha se 25%)

Binder	$6 \times 0.40 = 2.40$
Stabilizant 0/20 (2x10cm)	$20 \times 0.14 = 2.80$
	$S_N = 5.0$

Shtresat e parashikuara sipas projektit me shtrese binderi $T= 6\text{cm}$ jane te mjaftueshme per kategorinë e rrugës.

PËRFUNDIMISHT

1. Shtresat e parashikuara në projekt janë më se të mjaftueshme për rrugën që projektohet.
2. Volumet rezultuese përfshihen në preventivin e objektit.
3. Shtresat e llogaritura pasqyrohen në profilat tip të Projekt Zbatimit.
4. Detajimi i plotë i shtresave jepet ne vizatimet tip te projektit te zbatimit.

Grupi i Projektimit

Ing. Skender Çela

7.3.0 VEPRAT E ARTIT

3.1.0 LLOGARITJA E TOMBINOVE

3.1.1 Llogaritja e tombinove rrethore

3.2.0 LLOGARITJA E MUREVE MBAJTES DHE PRITES

3.3.0 LLOGARITJA E URAVE

- **Hyrje**

Segmenti Kuc-Gusmare me nje gjatesi totale prej 9513ml pershkohet nga nje numer i konsiderueshem vepra arti. Keto vepra arti perbene nga ura te medha, ura te vogla, tombino rrethore e drejtendore si dhe nga mure mbajtes e prites.

Pergjithsisht kushtet gjeologo-inxhinierike gjate traseze se rruges ne ato vende ku jane vendosur veprat e artit jane te mira. Seksioni i veprave te artit eshte llogaritur ne baze te prurjeve te ujrave dhe te nivelit maksimal me siguri 1%.

Aksi rrugor Kuc – Gusmare eshte perballur me se miri me skemen e ngarkeses se levizhshi N-18; T-80.

Projekti parashikon vendosjen e veprave te artit duke iu pershtatur gjeresis se trupit te rruges sipas kategoris C'2 me seksion terthore te llogarit sipas prurjeve faktike me siguri 1%.

Meqenese traseja ne 5Km e para te saj kalon prane Lumit te Kucit jane mare masa mbrojtese per te, duke ndertuar keshtu mure mbajtes betoni.

Themel e murit jane projektuar me nje mbrojtje elastike duke ndertuar nje kanal gjate gjithe gjatesis se mureve me gjeresi 3m, I cili mbushet me gure masiv te dimensioneve 80-100cm. Nje mbrojte e tille eshte mjaft efikase si dhe mjaft ekonomike duke mare parasysh volumin e madh te punes.

Llogaritja e veprave te artit eshte bere ne perputhje me kushtet teknike te projektimit qe jane ne fuqi.

Per llogaritjen e tyre eshte perdorur Programi Italian Aztec Informatica (prone e shoqerise), qe perbehet nga 2 paketa:

1. Max 10.0 I cili perdoret per llogaritjen e mureve mbajtes dhe prites
2. Scat 10.0 I cili perdoret per llogaritjen e strukturave me kontur te mbyllur , tombinove rrethore, katrore, e te formave te ndryshme.

3.1.0 LLOGARITJA E TOMBINOVE

3.1.1 LLOGARITJA E TOMBINOVE RRETHORE

Presioni gjeostatik

Presioni gjeostatik llogaritet si produkt i peshes volumore dhe lartesise se shtresave te siperme(te vendosura mbi tombino):

$$P_v = \gamma H$$

Nqs ne siperfaqen e tokes veprojne ngarkesa te perqendruara ose te shperndara, difuzioni I tyre ne toke behet sipas nje kendi me vlere 45.00° .

Presioni aktiv. Metoda e Kulombit

Teoria Kulombit konsideron hipotezën e një pyke goditese në anën mbajtese te murit që lëviz ne menyre rigjide përgjatë një sipërfaqe drejtvizore.

Presioni i ushtruar nga toka ne anen mbajtese te murit është fituar nga ekuilibri i pykës goditese.

Në veçanti, Kulombi pranon, në kundërshtim me teorinë Rankine, ekzistencen e fërkimit mes tokës dhe murit, dhe për këtë arsyе komponentja e presionit aktiv eshte e inklinuar sipas normales me kedin e ferkimit mes tokes dhe murit.

Shprehja e presionit per nje mbushje me peshe volumore γ dhe lartesi H , sipas teorise se Kulombit, eshte sipas relacionit te meposhtem(per dherat jokohezive):

$$S = 1/2\gamma H^2 K_a$$

K_a perfaqeson koeficentin aktiv sipas nje version te Muller-Breslau,e shprehur si:

$$K_a = \frac{\sin(\alpha + \phi)}{\sqrt{[\sin(\phi+\delta)\sin(\phi-\beta)]} \cdot \sqrt{[\sin(\alpha-\delta)\sin(\alpha+\beta)]^2}}$$

ku :

ϕ --- eshte kendi I ferkimit te brendeshem

α — perfaqeson kedin qe formon muri me horizontalen ($\alpha = 90^\circ$ per mure vertikal)

δ ---eshte kendi I ferkimit mes tokes dhe murit

β —eshte pjerresia e mbushjes krahasuar me horizontalen.

Rezultantja e presionit eshte e inklinuar sipas kendit δ , duke u krahasuar me drejtimin normal te murit.Diagrama e presionit te tokes ne mur eshte ne forme trekendore me nje maksimum.

Pika e aplikimit te presionit aktiv eshte percaktuar ne lidhje me kufirin e diagrameve se presioni($1/3 H$,marre nga baza e murit).

Shprehja e koeficentit aktiv K_a nuk ka kuptim per $\beta > \phi$ kjo per arsyen se vlera e kendit te pjerresise se mbushjes nuk mund te jetë me e madhe se vlera e kendi te te ferkimit te brendshem te dherave.

Ne rastin e dherave me kend ferkimi ϕ dhe kohezion c , vlera e sforcimit aktiv qe vepron ne mur per nje thellesi z variabel eshte:

$$\sigma_a = \gamma z K_a - 2 c \sqrt{K_a}$$

Presioni aktiv ne prani te ujrate nentokesore.

Ne rast te pranise se ujrate nentokesore diagrama e sforcimeve modifikohet per shkak te prezences se presionit qe ushtrojne ujerat nentokesore. Pesha volumore e dheut mbi nivelin e ujrate nentokesore nuk ndryshon.

Anasjelltas poshte nivelit te ujrate nentokesore pesha volumore e dheut lehtesohet dhe ky ndryshim duhet te merret parasysh.

$$\gamma_a = \gamma_{sat} - \gamma_w$$

Ku:

γ_{sat} --eshte pesha volumore e dheut te ngopur me uji (varur nga indeksi I poreve).

γ_w -- eshte pesha volumore e ujit.

Diagramet totale te presionit duhet ti shtohet dhe diagrama e presionit prej pranise se ujrate nentokesore.

Per shkak te presionit nga ujrat nentokesore, diagrama e presionit ndryshon dhe ka nje pjerresi me te vogel.

Presioni pasiv

Koeficienti i presionit pasiv shprehet sipas relacionit:

$$K_0 = 1 - \sin\phi$$

Ku ϕ eshte kendi i ferkim te brendshem te dheut baze.

Sfrcimi per nje thellesi variable z dhe vlera totale e presionit pasive jane:

$$\sigma = \gamma z K_0 + p_v K_0$$

$$S = 1/2 \gamma H^2 K_0 + p_v K_0 H$$

ku p_v eshte vlera e sforcimit vertikal sipas drejtimit kryesor.

Presioni aktiv ne prani te sizmikes – Metoda Mononobe-Okabe

Per te treguar rritjen e vleres se presionit per shkak te sizmikes, referohemi te metoda Mononobe-Okabe. Duke u referuar te pjerresia e mbushjes ε krahasuar me horizontalen, dhe te pjerresia e murit β krahasuar me vertikalen, presionit S' eshte llogaritur duke konsideruar njekohesisht te dyja pjerresite:

$$\varepsilon' = \varepsilon + \theta$$

$$\beta' = \beta + \theta$$

Ku $\theta = \arctg(C)$, C eshte koeficenti i intesitetit sizmik.

Duke u mbeshtetur te presioni S i llogaritur ne kushte statike, shtesa e presionit per shkak te veprimit te termetit shprehet:

$$\Delta S = AS' - S$$

Ku vlera e koeficentit A eshte:

$$A = \frac{\cos^2(\beta + \theta)}{\cos^2\beta \cdot \cos\theta}$$

Pika e zbatimit te shteses se presionit eshte ne 2/3 e lartesise se murit. Pervec kesaj rritje te presionit duhen marr parasysh dhe forcat inerciale horizontale qe lindin per shkak te veprimit te termetit:

$$F_i = CW$$

Metoda e zgjidhjes

Duke filluar nga lloji i dherave, gjeometria dhe mbingarkesat programi eshte ne gjendje te njohe te gjitha ngarkesat qe veprojne ne strukture per cdo lloj kombinimi ngarkese.

Struktura kuti (tombino katrore) eshte skematizuar si një rame plane dhe i eshte dhene zgjidhje me ane te metodes se elementeve te fundem, duke e shperbere ramen ne një sere elementesh te bashkuar mes tyre me ane te nyjeve(cernierave). Ndersa dheu baze ku vendoset struktura (themeli) eshte skematizuar ne një sere elemente susta qe merr zgjidhje sipas metodes Winkler.Siperfaqja e një elementi te vetem suste eshte proporcionale me konstanten e Winklerit.Duke u mbeshtetur te një element i vetem matrica e ngurtesise eshte K_e , ndersa matrica e ngurtesise e gjithe struktures eshte K (shuma e te gjitha matricave te elementeve).

Te gjitha ngarkesat qe veprojne ne strukture jane transformuar ne ngarkesa nyiore, dhe te insertuara ne ngarkese vektoriale nyiore p .Duke perdorur dhe zhvendosjen nyiore u (te panjohur),zgjidhja mund te jepet:

$$K u = p$$

Nga ky relacion vlera e panjohur e zhvendosjes eshte:

$$u = K^{-1} p$$

Duke ditur zhvendosjet nyiore mund te gjejme forcat e brendshme ne elemente te ndryshem.Zgjidhja e sistemit eshte kryer per cdo kombinim ngarkesash qe vepron ne strukturen kuti.

Llogaritia e njëpasnjëshme e armatures se elementeve të ndryshme eshte kryer duke marrë parasysh kushtet më të rënda të cilat mund të lindin në sektionet per gjate veprimit të të gjithave kombinimeve te ngarkesave.

▪ **Llogaritja e tombinove rrethore me diameter Ø1000mm**

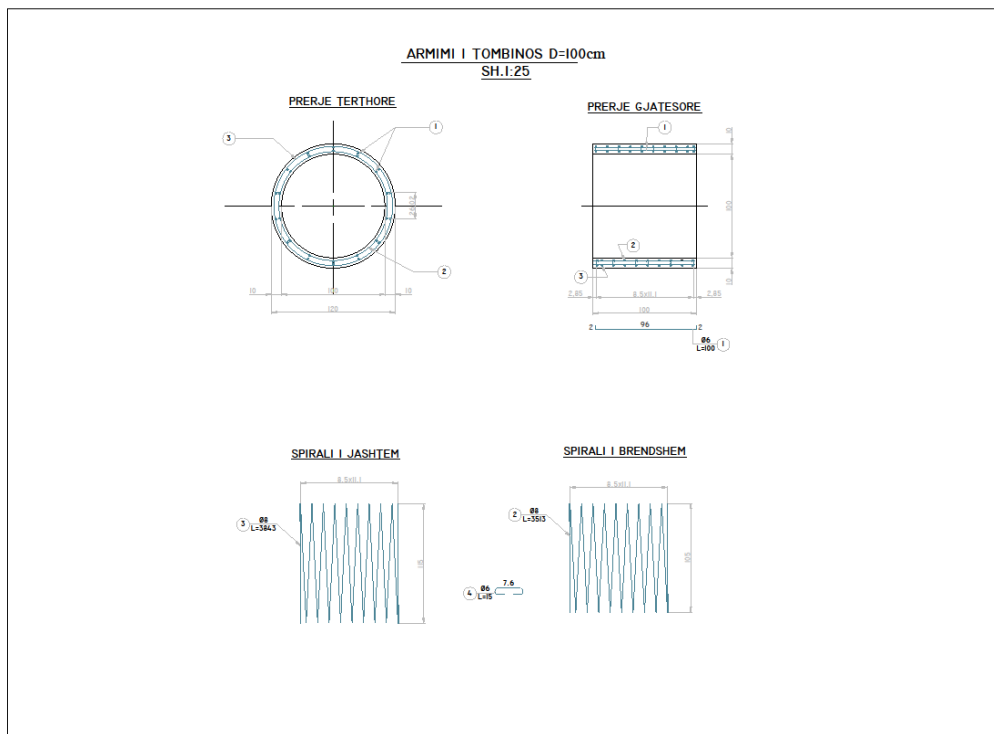
■ **Gjeometria e tubit**

Pershkrimi:

Diametri i jashtem vertikal
Diametri i jashtem horizontal
Trashesia

forme rrethore

1.30	[m]
1.30	[m]
0.15	[m]



■ **Pershkrimi I shtresave te dheut**

Shtresa mbivendosur

Pershkrimi	Shtresa e mbivendosur	
Trashesia e shtreses	2.20	[m]
Pesha volumore	2000.00	[kg/mc]
Pesha volumore specifike	2000.00	[kg/mc]
Kendi I ferkimit	30.00	[°]
Kohezioni	0.00	[kg/cmq]

Shtresa e mbushjes

Pershkrimi	shtresa e mbushjes	
Pesha volumore	1600.00	[kg/mc]
Pesha volumore specifike	2000.00	[kg/mc]
Kendi I ferkimit	30.00	[°]
Kendi I ferkimit toke-strukture	20.00	[°]
Kohesioni	0.00	[kg/cmq]
Konstantja e Winkler	0.00	[kg/cmq/cm]

Shtresa baze

Pershkrimi	shtresa baze	
Pesha volumore	1800.00	[kg/mc]
Pesha volumore specifike	2000.00	[kg/mc]
Kendi I ferkimit	20.00	[°]
Kendi I ferkimit toke-strukture	20.00	[°]
Kohesioni	0.00	[kg/cmq]
Konstantja e Winkler	5.00	[kg/cmq/cm]
Sforcimi i lejuar	2.00	[kg/cmq]

Pershkrimi I materialit

Beton

R _c ke betonit	250.00	[kg/cmq]
Pesha specifike e betonit	2500.00	[kg/mc]
Moduli i elasticitetit E	284604.99	[kg/cmq]
Sorcimi i lejuar i armatures	2600.00	[kg/cmq]
Sforcimi i lejuar i betonit (σ_{amm})	85.00	[kg/cmq]
Sforcimi tangencial i lejuar i betonit (τ_{c0})	5.33	[kg/cmq]
Sorcimi tangencial i lejuar (τ_{c1})	16.85	[kg/cmq]
Koeficenti I homogjenitetit te betonit ne njeshje(n')0.50		
Koeficenti I homogjenitetit beton/armature(n)	15.00	
Koeficenti I zgjerimit termik	0.0000120	

Kushtet e ngarkimit

Konventa te miratuara

Origjina eshte marre ne anen e majte me te ulet te struktura

Ngarkesa positive vertikale poshte

Ngarkesa positive horizontale djathtas

Momenti I perqendruar pozitiv nqs eshte ne krahun antiorar

X abshisa (e shprehur ne m) positive djathas
Y ordinate (e shprehur ne m) positive larte
Ngarkese e perqendruar ne kg
Moment i perqendruar ne kgm
Ngarkese e shperndare ne kg/m

Simbolet dhe njesite e permasave

Forcat e perqendruara

X Pika e aplikimit abshisa te forces vertikale te perqendruar
Y Pika e aplikimit ordinate te forces horizontale te perqendruar
 F_y Komponentja Y e ngarkeses se perqendruar
 F_x Komponentja X e ngarkeses se perqendruar
M Momenti

Forcat e shperndara

X_i, X_f Pika e fillimit dhe e mbarimit(abshisa) e ngarkeses vertikale te shperndare
 Y_i, Y_f Pika e fillimit dhe e mbarimit(ordinata) e ngarkeses horizontale te shperndare
 V_{ni} Komponentja normale e ngarkeses se shperndare ne piken e fillimit
 V_{nf} Komponentja normale e ngarkeses se shperndare ne piken e mbarimit
 V_{ti} Komponentja tangenciale e ngarkeses se shperndare ne piken e fillimit
 V_{tf} Komponentja tangenciale e ngarkeses se shperndare ne piken e mbarimit
 D_{te} Ndryshimi i jashtem termik i shprehur ne grade celsius
 D_{ti} Ndryshimi i brendeshem termik i shprehur ne grade Celsius

Kushi i ngarkimit n°1 (Pesha vetiake)

Kushi i ngarkimit n°2 (Sforcimi i terrenit majtas)

Kushi i ngarkimitn°3 (Sforcimi i terrenit djathas)

Kushi i ngarkimit n°4 (Sforcimi majtas-Sizmika)

Kushi i ngarkimit n°5 (Sforcimi djathas-Sizmika)

Kushti i ngarkimit n° 7 (kKushti 1)

Ng.te sherndara Dhera $X_i= 0.00$ $X_f= 1.00$ $V_{ni}= 4000$ $V_{nf}= 4000$

Pershkrimi I kombinimit te ngarkesave

Simbolet e perdonura

γ Koeficienti i pjesmarrjes se kushteve te ngarkimit
 Ψ Koeficienti i kombinimit te kushteve te ngarkimit
 C Koeficienti total i pjesmarrjes se kushteve te ngarkimit

Koeficienti i kombinimit $\Psi_0= 0.70$ $\Psi_1= 0.50$ $\Psi_2= 0.20$

Kombinimi n° 1 Sforcimet e lejuara

	γ	Ψ	C
Pesha vetiake	1.00	1.00	1.00
Sforcimi i terrenit majtas	1.00	1.00	1.00
Sforcimi i terrenit djathtas	1.00	1.00	1.00
Kushti 1	1.00	1.00	1.00

Kombinimi n° 2 Sforcime te lejuara - Sizmika

	γ	Ψ	C
Pesha vetiake	1.00	1.00	1.00
Sforcimi i terrenit majtas	1.00	1.00	1.00
Sforcimi i terrenit djathtas	1.00	1.00	1.00
Kushti 1	1.00	1.00	1.00
Sizmika majtas	1.00	1.00	1.00

Kombinimi n° 3Sforcime te lejuara - Sizmika

	γ	Ψ	C
Pesha vetiake	1.00	1.00	1.00
Sforcimi i terrenit majtas	1.00	1.00	1.00
Sforcimi i terrenit djathtas	1.00	1.00	1.00
Kushti 1	1.00	1.00	1.00
Sizmika djathtas	1.00	1.00	1.00

Analiza dhe verifikimet

Simbolet e perdorura dhe njesite

Origjina ne anen majtas me te ulet

Forcat horizontale jane positive djathtas

Forcat vertikalej ane positive poshte

X abshisa (ne m) pozitive djathtas

Y ordinate (ne m) pozitive larte

M momenti ne kgm

V forca shtypese ne kg

SN forca aksiale ne kg

ux zhvendosja ne drejtimin X ne cm

uy zhvendosja ne drejtimin Y ne cm

σ_t sforcimi ne nivelin e themelit ne kg/cm²

Tipi i analizes

Sforcimi ne solete

Presioni ne muret anesore

Sforcimi gjeostatike

Aktive [kombinim 1]

Aktive [kombinim 2]

Aktive [kombinim 3]

Sizmika

Koeficenti i intesitetit sizmik (perqind)	7.00
Forma e diagrames se shteses nga sizmika	Trekendore me nje pike te ulet
Presioni sizmik-Metoda	Mononobe-Okabe
Sforcimi ne solete (vetem pesha e dheut)	3960.0
Kendi I shperndarjes se mbingarkimit	30.00 [°]

Koeficentat te presionit

Nº kombinimi	Statik	Sizmik
1	0.297	0.000
2	0.297	0.344
3	0.297	0.344

Diskretizimi i struktures

Numri i elementeve - themeli	64
Numri i elementeve - soleta	64
Numri i sustave - themeli	65

Analiza e kombinimit n° 1

Ngarkesa vertikale ne solete

Xi	Xj	Q[kg/mq]
-10.98	12.98	3960.00

Presioni ne muret anesore

Sforcimi ne murin majtas (larte) 1106.36 [kg/mq] Sforcimi (poshte) 2112.14 [kg/mq]
Sforcimi ne murin djathtas (larte) 1106.36 [kg/mq] Sforcimi (poshte) 2112.14 [kg/mq]

Analiza e kombinimit n° 2

Ngarkesa vertikale ne solete

Xi	Xj	Q[kg/mq]
-10.98	12.98	3960.00

Presioni ne muret anesore

Sforcimi ne murin majtas (larte) 1106.36 [kg/mq] Sforcimi (poshte) 2112.14 [kg/mq]
Sforcimi ne murin djathtas (larte) 1106.36 [kg/mq] Sforcimi (poshte) 2112.14 [kg/mq]

Presioni sizmik ne muret anesore

Sforcimi ne murin majtas (larte) 501.17 [kg/mq] Sforcimi (poshte) 0.00 [kg/mq]

Analiza e kombinimit n° 3

Ngarkesa vertikale ne solete

Xi	Xj	Q[kg/mq]
-10.98	12.98	3960.00

Presioni ne muret anesore

Sforcimi ne murin majtas (larte) 1106.36 [kg/mq] Sforcimi (poshte) 2112.14 [kg/mq]
 Sforcimi ne murin djathtas (larte) 1106.36 [kg/mq] Sforcimi (poshte) 2112.14 [kg/mq]

Presioni sizmik ne muret anesore

Sforcimi ne murin djathtas (larte) 501.17 [kg/mq] Sforcimi (poshte) 0.00 [kg/mq]



Zhvendosjet ne themel (Kombinimi n° 1)

X [m]	u _x [cm]	u _y [cm]
0.15	-0.002	0.135
0.56	0.000	0.133
1.00	0.000	0.132
1.44	0.000	0.133
1.85	0.002	0.135

Zhvendosjet ne solete (Kombinimi n° 1)

X [m]	u _x [cm]	u _y [cm]
0.15	-0.002	0.135
0.56	0.000	0.133
1.00	0.000	0.132
1.44	0.000	0.133
1.85	0.002	0.135

Zhvendosjet ne themel (Kombinimi n° 2)

X [m]	u _x [cm]	u _y [cm]
0.15	0.037	0.112
0.56	0.019	0.121
1.00	0.015	0.132
1.44	0.019	0.145
1.85	0.041	0.158

Zhvendosjet ne solete (Kombinimi n° 2)

X [m]	u _x [cm]	u _y [cm]
0.15	0.037	0.112
0.56	0.059	0.125
1.00	0.062	0.137

1.44	0.059	0.148
1.85	0.041	0.158

Zhvendosjet ne themel (Kombinimi n° 3)

X [m]	u _x [cm]	u _y [cm]
0.15	-0.041	0.158
0.56	-0.019	0.145
1.00	-0.015	0.132
1.44	-0.019	0.121
1.85	-0.037	0.112

Zhvendosjet ne solete (Kombinimi n° 3)

X [m]	u _x [cm]	u _y [cm]
0.15	-0.041	0.158
0.56	-0.059	0.148
1.00	-0.062	0.137
1.44	-0.059	0.125
1.85	-0.037	0.112

Forcat e brendshme

Forcat e brendshme ne themel (Kombinimi n° 1)

X [m]	M [kgm]	V [kg]	N [kg]
0.15	-661.68	-2.81	4368.53
0.56	316.79	-1403.46	2447.71
1.00	686.12	96.39	1683.84
1.44	316.79	1482.84	2640.70
1.85	-661.68	2.81	4368.53

Forcat e brendshme ne solete (Kombinim n° 1)

0.15	-661.68	211.55	4363.40
0.56	307.81	1344.28	1836.11
1.00	637.24	26.54	1081.24
1.44	307.81	-1252.57	1899.86
1.85	-661.68	-211.55	4363.40

Forcat e brendshme ne themel (Kombinimi n° 2)

X [m]	M [kgm]	V [kg]	N [kg]

0.15	-593.78	187.39	4217.61
0.56	190.03	-1389.10	2809.76
1.00	624.04	-193.76	2029.01
1.44	397.62	1221.53	2786.55
1.85	-640.57	263.82	4517.71

Forcat e brendshme ne solete (Kombinim n° 2)

X [m]	M [kgm]	V [kg]	N [kg]
0.15	-593.78	394.11	4203.33
0.56	349.47	1155.29	1854.16
1.00	593.54	-124.36	1272.18
1.44	220.71	-1270.95	2161.57
1.85	-640.57	41.82	4525.22

Forcat e brendshme ne themel (Kombinimi n° 3)

X [m]	M [kgm]	V [kg]	N [kg]
0.15	-640.57	-263.82	4517.71
0.56	397.62	-1121.54	2613.31
1.00	624.04	369.42	2042.83
1.44	190.03	1432.91	2990.64
1.85	-593.78	-187.39	4217.61

Forcat e brendshme ne solete (Kombinim n° 3)

X [m]	M [kgm]	V [kg]	N [kg]
0.15	-640.57	-41.82	4525.22
0.56	220.71	1375.49	2096.60
1.00	593.54	186.63	1264.55
1.44	349.47	-1062.92	1908.61
1.85	-593.78	-394.11	4203.33

Sforcimet ne dhera

Sforcimi ne dherat e themelit (Kombinimi n° 1)

X [m]	σ_t [kg/cm ²]
0.15	0.67
0.56	0.66
1.00	0.66
1.44	0.66
1.85	0.67

Sforcimi ne dherat e themelit (Kombinimi n° 2)

X [m]	σ_t [kg/cm ²]
0.15	0.56
0.56	0.61
1.00	0.66
1.44	0.72

1.85 0.79

Sforcimi ne dherat e themelit (Kombinimi n° 3)

X [m]	σ_t [kg/cm ²]
0.15	0.79
0.56	0.72
1.00	0.66
1.44	0.61
1.85	0.56

Kontrolli i sektioneve

Simbolet e perdonura dhe njesite

N° Numri i sektionit

X Abshisa/ordinate e sektionit ne m

M Momenti perkules, ne kgm

V forca prerese, ne kg

N Forca aksiale, ne kg

A_{fi} Siperfaqja e armatures se poshtme, ne cm²

A_{fs} Siperfaqja e armatures se siperme, ne cm²

σ_{fs} Sforcimi ne armaturen e poshtme, ne kg/cm²

σ_{fi} Sforcimi ne armaturen e siperme, ne kg/cm²

σ_c Sforcimi ne beton, ne kg/cm²

τ_c Sforcimi tangenciale ne beton, ne kg/cm²

Kontrolli i sektionit - themeli [Kombinimi n° 1 – Sforcime te lejuara]

Baza e sektionit B = 100 cm

Lartesia e sektionit H = 30.00 cm

Kontrolli nga momenti perkules

N°	X	M	N	A _{fi}	A _{fs}	σ_{fs}	σ_{fi}	σ_c
1	0.15	662	4369	8.04	8.04	79.8	105.5	6.9
2	0.56	-317	2448	8.04	8.04	37.8	38.8	3.2
3	1.00	-686	1684	8.04	8.04	247.4	71.3	7.4
4	1.44	-317	2641	8.04	8.04	32.0	39.0	3.2
5	1.85	662	4369	8.04	8.04	79.8	105.5	6.9

Kontrolli ne prerje

N°	X	V	τ_c	A _{sw}
1	0.15	-3	0.00	0.00
2	0.56	-1403	-0.65	0.00
3	1.00	96	0.04	0.00
4	1.44	1483	0.65	0.00
5	1.85	3	0.00	0.00

Kontrolli i seksionit - soleta [Kombinimi n° 1 – Sforcime te lejuara]

Baza e seksionit B = 100 cm
Lartesia e seksionit H = 30.00 cm

Kontrolli nga momenti perkules

N°	X	M	N	A _{fi}	A _{fs}	σ _{fs}	σ _{fi}	σ _c
1	0.15	-662	4363	8.04	8.04	105.7	79.8	6.9
2	0.56	308	1836	8.04	8.04	36.7	57.0	3.2
3	1.00	637	1081	8.04	8.04	62.8	257.0	6.9
4	1.44	308	1900	8.04	8.04	36.8	54.4	3.2
5	1.85	-662	4363	8.04	8.04	105.7	79.8	6.9

Kontrolli ne prerie

N°	X	V	τ _c	A _{sw}
1	0.15	212	0.09	0.00
2	0.56	1344	0.59	0.00
3	1.00	27	0.01	0.00
4	1.44	-1253	-0.59	0.00
5	1.85	-212	-0.09	0.00
5	1.53	-139	-0.14	0.00

Kontrolli i seksionit - themeli [Kombinimi n° 2 – Sforcime te lejuara]

Baza e seksionit B = 100 cm
Lartesia e seksionit H = 30.00 cm

Kontrolli nga momenti perkules

N°	X	M	N	A _{fi}	A _{fs}	σ _{fs}	σ _{fi}	σ _c
1	0.15	594	4218	8.04	8.04	72.1	83.5	6.1
2	0.56	-190	2810	8.04	8.04	1.0	26.4	2.0
3	1.00	-624	2029	8.04	8.04	197.8	67.8	6.7
4	1.44	-398	2787	8.04	8.04	57.3	48.2	4.1
5	1.85	641	4518	8.04	8.04	77.7	91.3	6.6

Kontrolli ne prerie

N°	X	V	τ _c	A _{sw}
1	0.15	187	0.08	0.00
2	0.56	-1389	-0.62	0.00
3	1.00	-194	-0.16	0.00
4	1.44	1222	0.53	0.00
5	1.85	264	0.11	0.00

Kontrolli i seksionit - soleta [Kombinimi n° 2 – Sforcime te lejuara]

Baza e seksionit B = 100 cm

Lartesia e seksionit H = 30.00 cm

Kontrolli nga momenti perkules

N°	X	M	N	A _{fi}	A _{fs}	σ _{fs}	σ _{fi}	σ _c
1	0.15	-594	4203	8.04	8.04	84.0	72.1	6.1
2	0.56	349	1854	8.04	8.04	41.0	74.9	3.7
3	1.00	594	1272	8.04	8.04	60.4	224.4	6.4
4	1.44	221	2162	8.04	8.04	27.7	14.5	2.2
5	1.85	-641	4525	8.04	8.04	91.0	77.7	6.6

Kontrolli ne prerje

N°	X	V	τ _c	A _{sw}
1	0.15	394	0.17	0.00
2	0.56	1155	0.50	0.00
3	1.00	-124	-0.08	0.00
4	1.44	-1271	-0.60	0.00
5	1.85	42	0.02	0.00
5	1.53	20	0.02	0.00

Kontrolli i seksionit - themeli [Kombinimi n° 3 – Sforcime te lejuara]

Baza e seksionit B = 100 cm

Lartesia e seksionit H = 30.00 cm

Kontrolli nga momenti perkules

N°	X	M	N	A _{fi}	A _{fs}	σ _{fs}	σ _{fi}	σ _c
1	0.15	641	4518	8.04	8.04	77.7	91.3	6.6
2	0.56	-398	2613	8.04	8.04	63.8	47.9	4.1
3	1.00	-624	2043	8.04	8.04	197.1	67.9	6.7
4	1.44	-190	2991	8.04	8.04	0.3	27.2	2.0
5	1.85	594	4218	8.04	8.04	72.1	83.5	6.1

Kontrolli ne prerje

N°	X	V	τ _c	A _{sw}
1	0.15	-264	-0.11	0.00
2	0.56	-1122	-0.53	0.00
3	1.00	369	0.16	0.00
4	1.44	1433	0.62	0.00
5	1.85	-187	-0.08	0.00

Kontrolli i seksionit - soleta [Kombinimi n° 3 – Sforcime te lejuara]

Baza e seksionit $B = 100 \text{ cm}$
 Lartesia e seksionit $H = 30.00 \text{ cm}$

Kontrolli nga momenti perkules

N°	X	M	N	A _{fi}	A _{fs}	σ_{fs}	σ_{fi}	σ_c
1	0.15	-641	4525	8.04	8.04	91.0	77.7	6.6
2	0.56	221	2097	8.04	8.04	27.5	15.9	2.2
3	1.00	594	1265	8.04	8.04	60.4	224.8	6.4
4	1.44	349	1909	8.04	8.04	41.2	72.5	3.7
5	1.85	-594	4203	8.04	8.04	84.0	72.1	6.1

Kontrolli ne prerje

N°	X	V	τ_c	A _{sw}
1	0.15	-42	-0.02	0.00
2	0.56	1375	0.60	0.00
3	1.00	187	0.08	0.00
4	1.44	-1063	-0.50	0.00
5	1.85	-394	-0.17	0.00
5	1.53	-282	-0.28	0.00

Zhvendosjet nyjore

Zhvendosjet ne themel

X [m]	u _{xmin} [cm]	u _{xmax} [cm]	u _{ymin} [cm]	u _{ymax} [cm]
0.15	-0.0410	0.0369	0.1117	0.1579
0.56	-0.0189	0.0185	0.1213	0.1447
1.00	-0.0155	0.0155	0.1320	0.1321
1.44	-0.0185	0.0189	0.1213	0.1447
1.85	-0.0369	0.0410	0.1117	0.1579

Zhvendosjet ne solete

X [m]	u _{xmin} [cm]	u _{xmax} [cm]	u _{ymin} [cm]	u _{ymax} [cm]
0.15	-0.0410	0.0369	0.1117	0.1579
0.56	-0.0593	0.0589	0.1248	0.1483
1.00	-0.0624	0.0624	0.1374	0.1377
1.44	-0.0589	0.0593	0.1248	0.1483
1.85	-0.0369	0.0410	0.1117	0.1579

Forcat e brendshme nyjore

Forcat e brendshme ne themel

X [m]	M _{min} [kgm]	M _{max} [kgm]	V _{min} [kg]	V _{max} [kg]	N _{min} [kg]	N _{max} [kg]
0.15	-662	-594	-264	187	4218	4518
0.56	190	398	-1403	-1122	2448	2810
1.00	624	686	-194	369	1684	2043
1.44	190	398	1222	1483	2641	2991
1.85	-662	-594	-187	264	4218	4518

Forcat e brendshme ne solete

X [m]	M _{min} [kgm]	M _{max} [kgm]	V _{min} [kg]	V _{max} [kg]	N _{min} [kg]	N _{max} [kg]
0.15	-662	-594	-42	394	4203	4525
0.56	221	349	1155	1375	1836	2097
1.00	594	637	-124	187	1081	1272
1.44	221	349	-1271	-1063	1900	2162
1.85	-662	-594	-394	42	4203	4525

Sforcimet e dherave

Sforcimet ne dherat e themelit

X [m]	$\sigma_{t\min}$ [kg/cm ²]	$\sigma_{t\max}$ [kg/cm ²]
0.15	0.56	0.79
0.56	0.61	0.72
1.00	0.66	0.66
1.44	0.61	0.72
1.85	0.56	0.79

Kontrolllet

Kontrolli ne seksionin e themelit

Baza e seksionit B = 100 cm
Lartesia e seksionit H = 30.00 cm

X	A _{fi}	A _{fs}	σ_{fs}	σ_{fi}	σ_c
0.15	8.04	8.04	6.86	105.47	79.77
0.56	8.04	8.04	4.13	47.91	63.84
1.00	8.04	8.04	7.41	71.30	247.41
1.44	8.04	8.04	4.09	48.22	57.29
1.85	8.04	8.04	6.86	105.47	79.77

X	τ_c	A _{sw}
0.15	-0.1	0.00
0.56	-0.6	0.00
1.00	0.2	0.00
1.44	0.6	0.00

1.85 0.1 0.00

Kontrolli ne seksionin e soletes

Baza e seksionit B = 100 cm
Lartesia e seksionit H = 30.00 cm

X	A _{fi}	A _{fs}	σ _c	σ _{fi}	σ _{fs}
0.15	8.04	8.04	6.86	79.76	105.67
0.56	8.04	8.04	3.70	74.93	41.03
1.00	8.04	8.04	6.85	257.05	62.82
1.44	8.04	8.04	3.69	72.46	41.19
1.85	8.04	8.04	6.86	79.76	105.67

X	τ _c	A _{sw}
0.15	0.2	0.00
0.56	0.6	0.00
1.00	0.1	0.00
1.44	-0.6	0.00
1.85	-0.2	0.00

3.2.0 LLOGARITJA E MUREVE MBAJTES

HYRJE

Nga ana e konsulentit u shqyrtuan disa variante per ndertimin e trasese.

Por varianti me i mire dhe me ekonomik mbeti ai per gjate lumit te Kucit. Kjo per disa arsyet sic jane shkurtimi i gjatesis totale te rruges, ulja e kostos se ndertimit, shfrytezimi i pjerresis gjatesore te shtrati, shfrytezimi i materialit lumor per trasen e rruges etj.

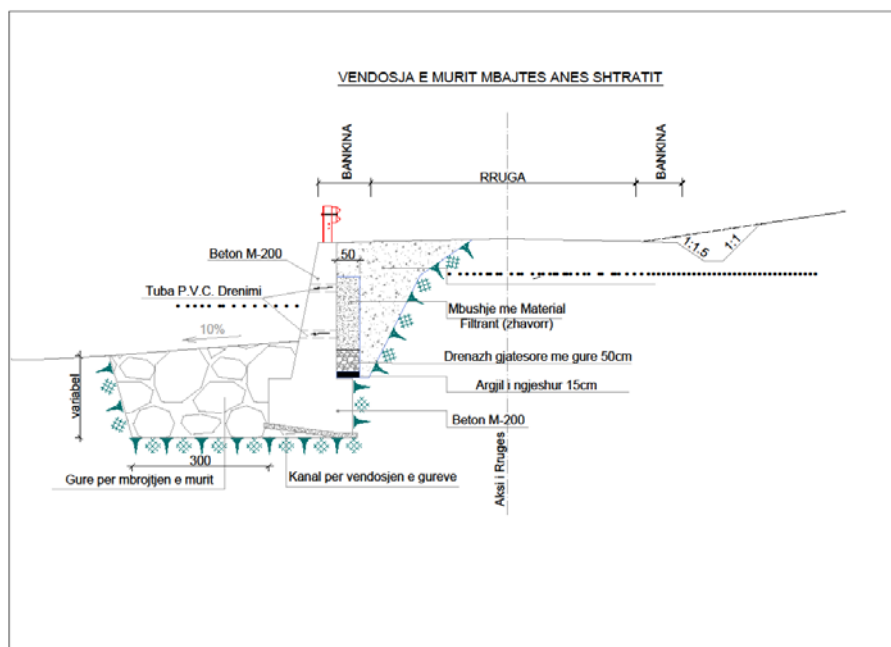
Ndertimi i ketij varianti per gjate shtrati te lumit kerkoi nevojen e projektimit te disa mureve mbajtes per te mbrojtur trasen nga prurjet e tij.

- Muret jane projektuar masiv me beton te M-200.
- Muret jane projektuar 1.7ton/m²
- Mbushja prapa murit te behet me material germimi me kend ferkimi te brendshem $\Phi > 35^\circ$
- Vrimat e kullimit te vendosen ne forme shahu cdo 2m gjatesi
- Ne cdo 10m muri nderpritet me fuge diletacioni

Lartesit e mureve u percaktuan nga studimi I detajuar hidrologjik I cili u krye nga specialisti duke dhene kuotat e niveleve maksimale te ujut.

Gjithashtu ne themellet e murit u projektua nje kanal ne te gjithe gjatesin e tij me nje gjeresi rrreth 3m i cili te mbushet me gure masive te dimensioneve 80-100cm.

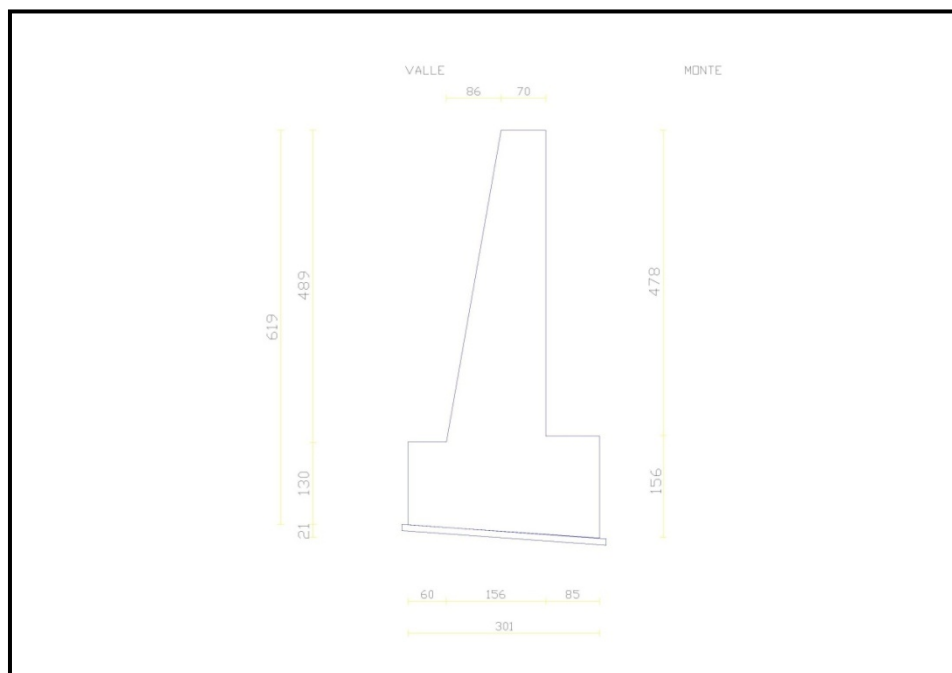
Ketu kemi te bejme me nje mbrojtje elasitke e cila eshte mjaft efikase dhe ekonomike gjithashtu. Guret e medhenj masive bejne te mundur mbrojtjen e themelit te murit nga gryerjet e shtratit i cili ne periudhat e rreshjeve behet mjaft agresive dhe i rrezikshem.



➤ Llogaritja e Murit Mbajtes H = 6.45m

1. Gjeometria e murit dhe themelit te tij

2.	Pershkrim	Mur konsol betoni
3.	Lartesia e murit	4.9 [m]
4.	Trashesia ne pjesen e siperme	0.70 [m]
5.	Trashesia ne pjesen e bashkimit te murit me themelin	1.56 [m]
6.	Pjerresia e jashtme e murit	10.00 [°]
7.	Pjerresia e brendshme e murit	0.00 [°]
8.	Gjatesia e murit	25.00 [m]
9.	<u>Themeli</u>	
10.	Gjatesia e konsolit te jashtem	0.6 [m]
11.	Gjatesia e konsolit te brendeshem	0.85 [m]
12.	Gjatesia totale e themelit	3.01 [m]
13.	Pjerresia e themelit	4.00 [°]
14.	Trashesia e pjeses se jashte te themelit	1.30 [m]
15.	Trashesia e pjeses se jashtem bashkuese me murin	1.33 [m]
16.	Trashesia e pjeses se brendshme bashkuese me murin	1.56 [m]
17.	Trashesia e pjeses se brendshme te themelit	1.60 [m]
18.	Trashesia e shtreses se betonit te varfer	0.10 [m]



■ **Materialet e perdorur per ndertim**

Betoni

Pesha volumore	2500.0 [kg/mc]
Klasa e betonit	Rck 250
Rezistenca ne shtypje R_{bk}	250.0 [kg/cm ²]
Moduli I deformimit E	284604.99 [kg/cm ²]
Sforcimi I lejuar ne shtypje σ_c	85.0 [kg/cm ²]
Sforcimi tangencial i lejuar i betonit τ_{c0}	5.3 [kg/cm ²]

Sforcimi tangencial I lejuar τ_{c1}	16.9 [kg/cm ²]
<i>Armatura</i>	
Tipi	FeB44K
Sforcimi i lejuar σ_{fa}	2600.0 [kg/cm ²]
Sforcimi i lejuar i epjes σ_{fa}	4400.0 [kg/cm ²]

Profili gjeometrik I dherave ne anen mbajtese te murit

Simbolet dhe sistemi I perdonur

(Sistemi I referuar me origjine ne majen e murit, abshisa X pozitive ne anen mbajtese te murit, Ordinata Y positive ne drejtimin lart)

N Numri I pikave

X Abshisa e shprehur ne [m]

Y Ordinata e shprehur ne [m]

A Pjerresia ne [°]

N	X	Y	A
1	10.96	0.70	3.68
2	13.00	0.70	0.00
3	22.00	4.56	23.19

Pershkrimi I dherave

Simbolet

Nr.	Indeksi
Description	pershkrimi
γ	Pesha volumore e dheut ne [kg/m ³]
γ_s	Pesha specifike e dheut ne [kg/m ³]
ϕ	Kendi I ferkimit te brendshem I dheut [°]
δ	Kendi I ferkimit dhe-mur ne [°]
c	kohesion ne [kg/cm ²]
c_a	Adezioni dhe-mur ne [kg/cm ²]

Peshkrimi	γ	γ_s	ϕ	δ	c	c_a
mbushje, zhavorr	1800	2000	30.00	0.00	0.000	0.000
gelqerore, themeli	2360	3200	30.00	20.00	45.000	0.000
materiali drenant	1800	2000	30.00	0.00	0.000	0.000

Stratigrafia

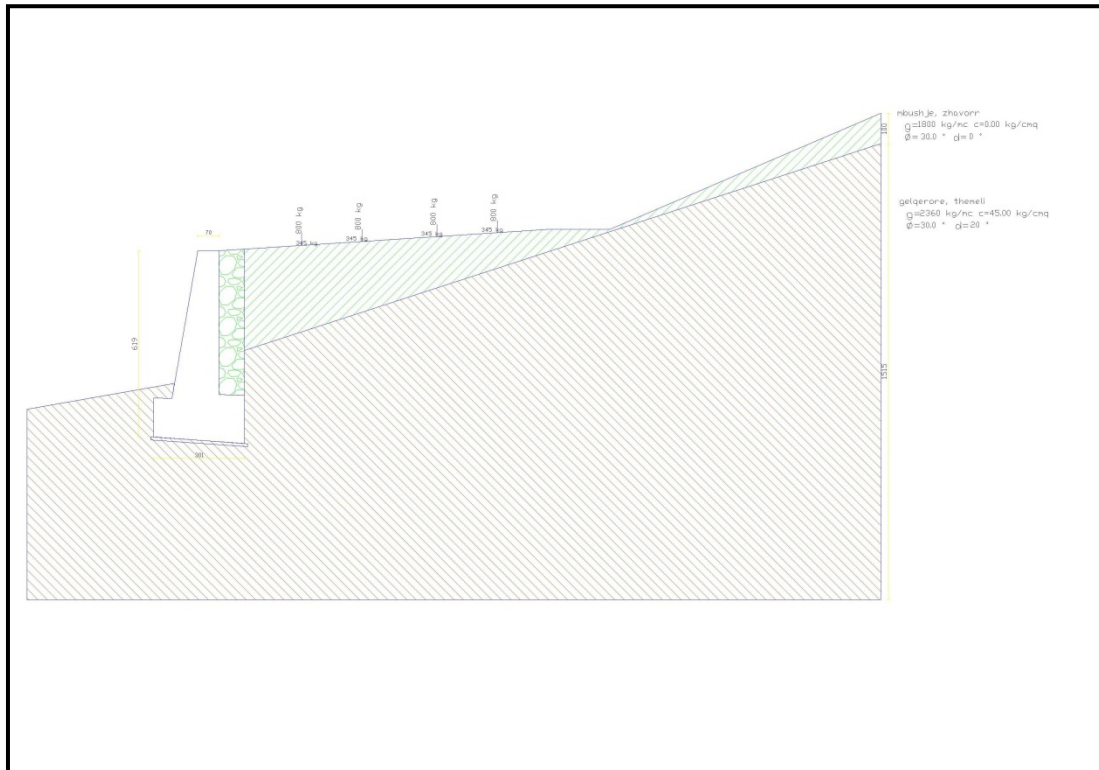
Simboli

N	Indeksi
H	Trashesia e shtreses ne [m]
a	Pjerresia ne [°]
Kw	Koeficenti I shtangesise(horizontal) ne Kg/cm ² /cm

Ks Koeficenti I goditjes
Soil Lloji I dheut

Nr.	H	a	Kw	Ks	Soil
1	3.59	18.00	0.00	0.00	mbushje, zhavorr
2	8.00	0.00	649.21	0.00	gelqerore, themeli
3	1.00	0.00	0.00	0.00	materiali drenant

Mbushje mbrapa murit (drenazh) mbushje, zhavorr



Kushtet e ngarkimit

Simbolet dhe shenjat e perdonura

Ngarkesa vertikale positive ne drejtimin poshte.

Ngarkesat horizontale positive ne drejtimin majtas.

Momenti pozitiv ne krahun orar.

X Abshisa e ngarkeses se perqendruar [m]

F_x Komponentja horizontale e ngarkeses se perqendruar ne [kg]

F_y Komponentja vertikale e ngarkeses se perqendruar ne [kg]

M Momenti [kgm]

X_i Abshisa e fillimit te ngarkeses se shperndare [m]

X_f Abshisa e mbarimit te ngarkeses se shperndare [m]

Q_i Intesiteti I ngarkeses ne $x=X_i$ [kg/m]

Q_f Intesiteti I ngarkeses ne $x=X_f$ in [kg/m]

D / C Tipi I ngarkeses : D=e shperndare C=e perqendruar

Kushti n° 1 (ngarkesa makina)

C Profile $X=2.75$ $F_x=345.00$ $F_y=800.00$

C	Profile	X=4.75	F_x=345.00	F_y=800.00
C	Profile	X=7.25	F_x=345.00	F_y=800.00
C	Profile	X=9.25	F_x=345.00	F_y=800.00

Pershkrimi I kombinimit te ngarkesave

Simbolet

C Faktori I pjesmarjes ne kombinim

Kombinimi n° 1 Sforcim i lejuar - Sizmika

	C
Pesha vetiake	1.00
Presioni I dheut	1.00
ngarkesa makina	1.00

Kombinimi n° 2 Sforcim i lejuar

	C
Pesha vetiake	1.00
Presioni I dheut	1.00

Metodat e llogaritjes dhe verifikimet

Sistemi kordinativ :

Origjina t ekoka e murit (ne anen mbajtese)

X abshisa (shprehur ne [m]) pozitive ne anen mbajtese te murit

Y ordinate (shprehur ne [m]) pozitive ne drejtimi larte

Forca horizontale jane positive nqs veprojne nga ana mbajtese ne drejtimin tjeter

Forca horizontale jane positive nqs veprojne nga larte poshte

Llogaritja eshte kryer per 1m gjeresi

Tipi I analizes

Llogaritja e presioneve
Llogaritja e ngarkeses limit
Ekilibri I pergjithshem
Llogaritja e presioneve per

Metoda e Culmann
Metoda e Meyerhof
Metoda e Fellenius
presion aktive

Sizmika

Koeficenti I inesitetit sizmik (perqindje) Diagrama e shteses nga sizmika	7.00 Trekendore me vlere me te ulet
--	--

pjesmarria e presionit pasive (perqindje) Gjatesia e murit	0.0 25.00 [m]
---	------------------

Pesha e murit 24611.13 [kg]
Kufiri I murit X=-0.60 Y=-3.99

Diagrama e presionit

Pika me e ulet (Siperfaqja)	X = 0.85	Y = -6.4
Pika me e larte (Siperfaqja)	X = 0.85	Y = 0.05
Lartesia	6.45 [m]	
Pjerresia (duke iu referuar drejtimit vertikal)	0.00 [°]	

KOMBINIMI n° 1

Vlera e presionit statik	4344.13	[kg]
Komponetja horizontale e presionit statik	4344.13	[kg]
Komponetja vertikale e presionit statik	0.00	[kg]
Pika e zbatimit te presionit	X = 0.85	[m] Y = -2.12[m]
Inklinimi	0.00	[°]
Pjerresia ne siperfaqen rreshqitese ne kushte statike	80.61	[°]
Shtesa e presionit nga sizmika	467.34	[kg]
Pika e zbatimit te shteses	X = 0.43 [m]	Y = -2.38
Inklinimi I siperfaqjes se rreshqitjes ne kushtet e sizmikes	80.61	[°]
Pesha e mbushjes mbrapa murit	7369.13	[kg]
Kufiri I mbushjes	X = 0.43 [m]	Y = -2.38
Inercia e murit	1722.78	[kg]
Inercia e mbushjes mbrapa murit	515.84	[kg]

Rezultantet

Rezultantja e forcave horizontale	7050.09	[kg]
Rezultantja e forcave vertikale	31980.26	[kg]
Momenti permbyses	25326.66	[kgm]
Momenti I ekilibrit	57695.85	[kgm]
Forca aksiale ne siperfaqjen e themelit	32394.14	[kg]
Forca tangenciale ne siperfaqjen e themelit	4802.08	[kg]
Jashteqendresia (referuar kufirit te themelit)	0.51	[m]
Rezultantja e ngarkesave ne nivelin e themelit	32748.14	[kg]
Inklinimi I rezultantes s enagrkesave	8.43	[°]
Momenti	16568.03	[kgm]
Ngarkesa limit	26752712.42	[kg]

Sforcimet ne dhera

Gjeresia efektive e themelit	3.00	[m]
Sforcimi I dheut ne piken e jashtme	2.1613	[kg/cm ²]
Sforcimi I dheut ne piken e brendshme	0.0000	[kg/cm ²]

Faktoret e rezistences ne shtypje

$N_c = 30.14$	$N'_c = 26.74$
$N_q = 18.40$	$N'_q = 14.93$
$N_\gamma = 15.67$	$N'_\gamma = 5.67$

Koeficentet e sigurise

Koeficenti I sigurise ne permbyrsje	2.28
Koeficenti I sigurise ne rreshqitje	2.46
Koeficenti I sigurise I ngarkeses limit	825.85
Koeficenti I per gjithshem I sigurise	99.99

Stabiliteti

Kombinimi n° 1

X abshisa positive ne anen mbajtese

Y ordinate positive ne drejtimin larte

Origjina ne majen e murit

W masa rreshqite ne [kg]

α kendi midis bazes se rreshqitjes dhe drejtimit horizontal [°] (positive kunder drejtimit orar)

ϕ kendi I ferkimit te dhet per gjate bazes se rreshqitjes

c kohezioni I dhet per gjate bazes se rreshqitjes ne [kg/cm²]

b gjeresia e bazes se rreshqitjes [m]

u presioni neutral per gjate bazes se rreshqitjes ne [kg/cm²]

Metoda Fellenius

Numri I rrathive te analizuar 36

Numri I blloqeve 25

Rrethi kritik

Kordinatat e qendres $X[m] = -3.46$ $Y[m] = 4.44$

Rrezja $R[m] = 11.64$

Abshisa ne pjesen e jashtme te murit $X_i[m] = -9.14$

Abshisa ne pjesen e brendshme te murit $X_s[m] = 7.53$

Gjeresia e ases rreshqite $dx[m] = 0.67$

Koeficenti I sigurise $C = 99.99$

Blloqet jane numeruar nga ana e brendeshme ne te jashtme

Karakteristikat e blloqeve

Blloku	W	$\alpha(^{\circ})$	Wsinc α	b/cos α	ϕ	c	u
1	1668.98	65.91	1523.58	1.63	30.00	0.000	0.000
2	2437.64	58.97	2088.76	1.29	30.00	27.105	0.000
3	3848.66	53.07	3076.30	1.11	30.00	45.000	0.000
4	4994.56	47.90	3705.66	0.99	30.00	45.000	0.000
5	6735.42	43.21	4611.36	0.91	30.00	45.000	0.000
6	6718.43	38.86	4215.08	0.86	30.00	45.000	0.000
7	7372.77	34.76	4203.69	0.81	30.00	45.000	0.000
8	8717.94	30.86	4471.90	0.78	30.00	45.000	0.000

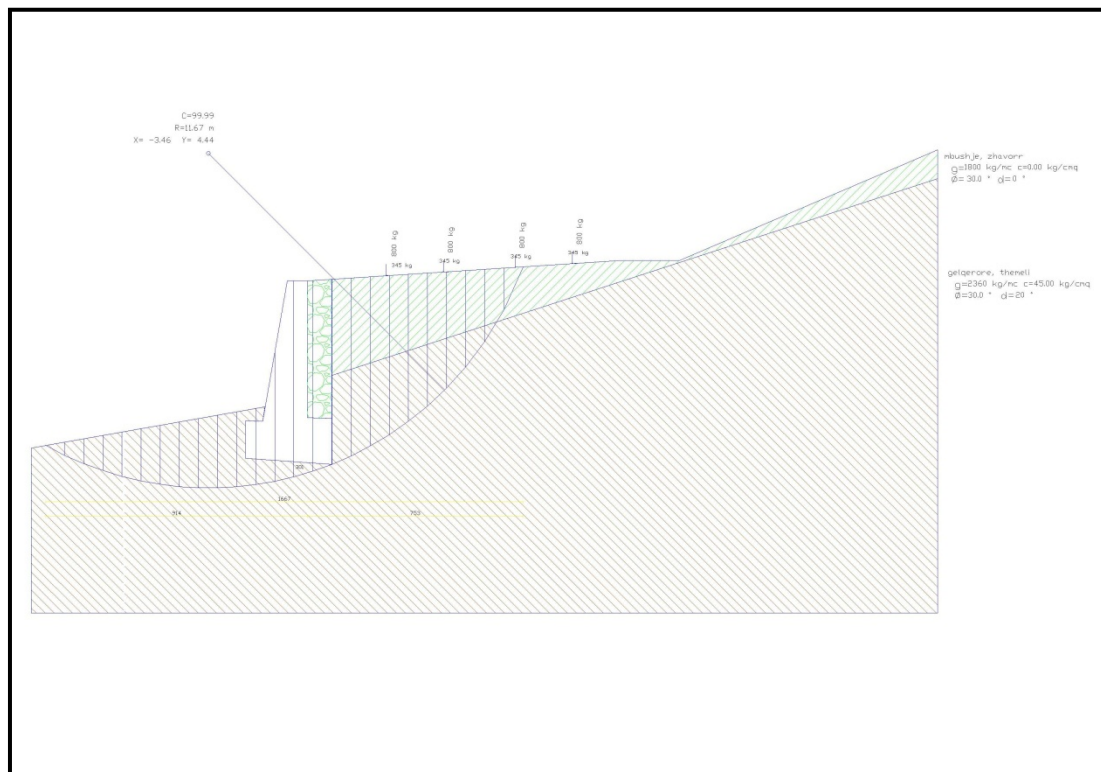
9	8367.63	27.11	3813.60	0.75	30.00	45.000	0.000
10	8731.83	23.49	3480.21	0.73	30.00	45.000	0.000
11	8630.61	19.96	2946.33	0.71	30.00	45.000	0.000
12	10471.52	16.51	2976.01	0.70	30.00	45.000	0.000
13	9960.15	13.12	2261.19	0.68	30.00	45.000	0.000
14	5047.54	9.78	857.31	0.68	30.00	45.000	0.000
15	4197.21	6.47	472.92	0.67	30.00	45.000	0.000
16	4035.84	3.18	224.00	0.67	30.00	45.000	0.000
17	3878.63	-0.10	-6.48	0.67	30.00	45.000	0.000
18	3637.77	-3.37	-214.06	0.67	30.00	45.000	0.000
19	3323.59	-6.66	-385.59	0.67	30.00	45.000	0.000
20	2948.09	-9.97	-510.58	0.68	30.00	45.000	0.000
21	2509.69	-13.32	-578.14	0.69	30.00	45.000	0.000
22	2006.03	-16.71	-576.82	0.70	30.00	45.000	0.000
23	1433.92	-20.16	-494.31	0.71	30.00	45.000	0.000
24	813.23	-23.70	-326.84	0.73	30.00	0.000	0.000
25	266.39	-27.33	-122.30	0.75	30.00	0.000	0.000

$$\Sigma W_i = 122754.07 \text{ [kg]}$$

$$\Sigma W_i \sin \alpha_i = 41712.78 \text{ [kg]}$$

$$\Sigma W_i \cos \alpha_i \tan \phi_i = 62451.47 \text{ [kg]}$$

$$\Sigma c_i b_i / \cos \alpha_i = 7468944.51 \text{ [kg]}$$



 **Forcat e brendshme ne mur**

Kombinimi n° 1

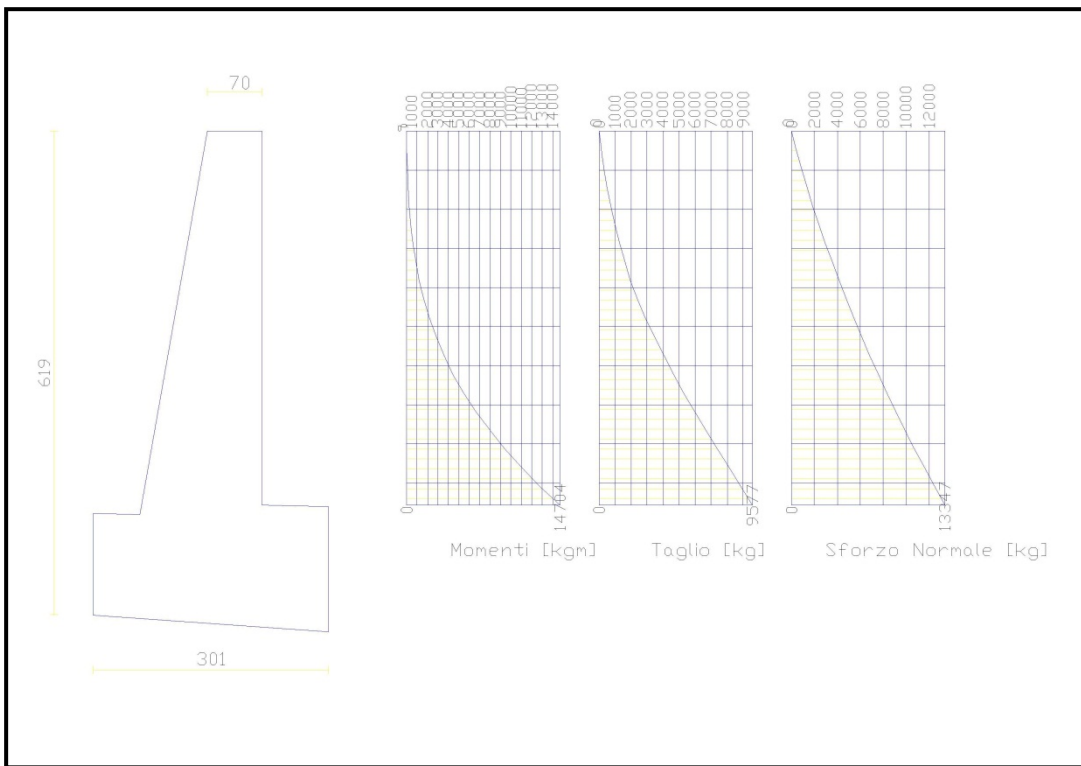
Y ordinate (ne m) pozitive ne drejtimin poshte, origjina ne majen e murit

Momenti positive nqs terhiqen fibrat e jashtme ne kgm

Forca aksiale (nqs eshte shtypese), ne kg

Forca prerezse (positive nga ana mbajtse e murit), ne kg

Nr.	Y	N	M	T
1	0.00	0.00	0.00	0.00
2	0.24	430.65	10.71	133.11
3	0.48	886.22	47.73	299.20
4	0.72	1366.71	118.41	498.29
5	0.96	1872.11	230.11	730.36
6	1.19	2402.44	390.18	995.68
7	1.43	2957.68	605.86	1291.89
8	1.67	3537.83	883.57	1616.32
9	1.91	4142.90	1230.12	1976.75
10	2.15	4772.89	1656.69	2402.40
11	2.39	5427.80	2180.68	2903.94
12	2.63	6107.63	2816.46	3452.91
13	2.87	6812.37	3572.96	4037.14
14	3.11	7542.03	4457.53	4652.67
15	3.35	8296.60	5476.76	5296.34
16	3.58	9076.09	6636.49	5965.36
17	3.82	9880.50	7941.95	6657.37
18	4.06	10709.83	9397.88	7370.70
19	4.30	11564.07	11008.65	8103.44
20	4.54	12443.24	12777.56	8845.91
21	4.78	13347.31	14703.68	9576.73



Forcat e brendeshme ne pjesen e jashtme te themelit

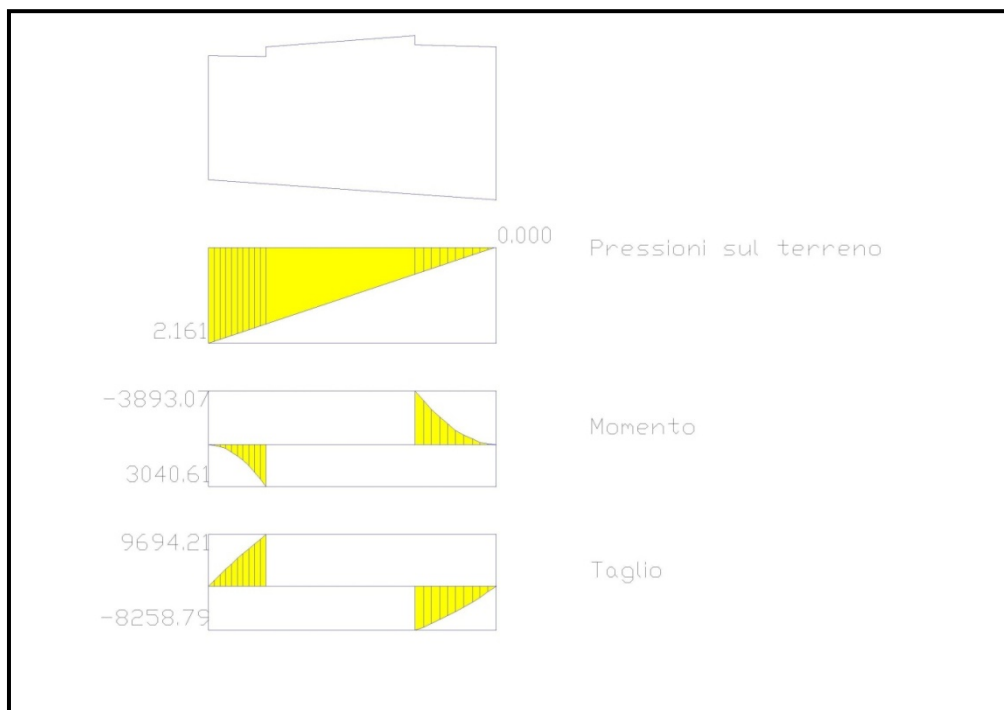
Kombinimi n° 1

X abshisa(ne m) positive ne anen mbajtese me origjine ne pjesen e jashtme te themelit

Momenti eshte positive nqs terhiqen fibrat e poshtme, ne kgm

Forca prerese (pozitive ne drejtimin larte), ne kg

Nr.	X	M	T
1	0.00	0.00	0.00
2	0.06	32.79	1088.53
3	0.12	130.09	2150.59
4	0.18	290.33	3186.19
5	0.24	511.91	4195.31
6	0.30	793.24	5177.97
7	0.36	1132.73	6134.15
8	0.42	1528.81	7063.87
9	0.48	1979.87	7967.12
10	0.54	2484.33	8843.90
11	0.60	3040.61	9694.21



Forcat e brendshme ne pjesen e brendeshmete themelit

Kombinimi n° 1

X abshisa(ne m) positive ne anen mbajtese me origjine ne pjesen e jashtme te themelit
 Momenti eshte positive nqs terhiqen fibrat e poshtme, ne kgm
 Forca prerese (pozitive ne drejtimin larte), ne kg

Nr.	X	M	T
1	0.00	0.00	0.00
2	0.09	-45.70	-1067.97
3	0.17	-180.04	-2083.76
4	0.26	-398.41	-3045.35
5	0.34	-696.21	-3952.73
6	0.43	-1068.83	-4805.91
7	0.51	-1511.68	-5604.89
8	0.59	-2020.13	-6349.67
9	0.68	-2589.59	-7040.24
10	0.77	-3215.44	-7676.62
11	0.85	-3893.07	-8258.79

Stabiliteti

Kombinimi n° 2

X abshisa positive ne anen mbajtese
 Y ordinate positive ne drejtimin larte
 Origjina ne majen e murit

- W** masa rreshqite ne [kg]
 α kendi midis bazes se rreshqitjes dhe drejtimit horizontal [$^{\circ}$] (positive kunder drejtimit orar)
 ϕ kendi I ferkimit te dhet per gjate bazes se rreshqitjes
c kohezioni I dhet per gjate bazes se rreshqitjes ne [kg/cm 2]
b gjeresia e bazes se rreshqitjes [m]
u presioni neutral per gjate bazes se rreshqitjes ne [kg/cm 2]

Metoda Fellenius

Numri I rrathive te analizuar 36

Numri I blloqeve 25

Rrethi kritik

Kordinatat e qendres X[m]= -4.3 Y[m]= 2.45

Rrezja R[m]= 11.74

Abshisa ne pjesen e jashtme te murit Xi[m]= -11.29

Abshisa ne pjesen e brendshme te murit Xs[m]= 7.29

Gjeresia e ases rreshqite ne dx[m]= 0.74

Koeficenti I sigurise C= 99.99

Blloqet jane numeruar nga ana e brendeshme ne te jashtme

Karakteristikat e blloqeve

Bllok	W	$\alpha(^{\circ})$	Wsinaα	b/cosα	ϕ	c	u
1	1654.61	73.63	1587.52	2.63	30.00	0.000	0.000
2	4294.13	63.35	3837.95	1.65	30.00	15.716	0.000
3	6257.01	56.06	5191.19	1.33	30.00	45.000	0.000
4	7801.98	50.00	5976.63	1.15	30.00	45.000	0.000
5	9022.94	44.64	6339.44	1.04	30.00	45.000	0.000
6	10009.70	39.73	6398.42	0.96	30.00	45.000	0.000
7	10812.68	35.16	6226.99	0.91	30.00	45.000	0.000
8	11463.50	30.84	5876.17	0.86	30.00	45.000	0.000
9	11959.89	26.70	5373.78	0.83	30.00	45.000	0.000
10	12935.04	22.71	4993.52	0.80	30.00	45.000	0.000
11	15518.75	18.83	5009.20	0.78	30.00	45.000	0.000
12	10323.16	15.04	2679.14	0.77	30.00	45.000	0.000
13	6458.99	11.32	1267.74	0.76	30.00	45.000	0.000
14	6145.22	7.64	817.47	0.75	30.00	45.000	0.000
15	5744.69	4.00	400.84	0.74	30.00	45.000	0.000
16	5488.78	0.37	35.84	0.74	30.00	45.000	0.000
17	5150.53	-3.25	-292.13	0.74	30.00	45.000	0.000
18	4729.53	-6.89	-567.39	0.75	30.00	45.000	0.000
19	4224.38	-10.56	-773.97	0.75	30.00	45.000	0.000
20	3632.51	-14.27	-895.30	0.77	30.00	45.000	0.000
21	3057.07	-18.04	-946.85	0.78	30.00	0.000	0.000
22	2521.60	-21.90	-940.52	0.80	30.00	0.000	0.000
23	1907.49	-25.87	-832.15	0.82	30.00	0.000	0.000
24	1206.84	-29.97	-602.86	0.86	30.00	0.000	0.000
25	409.04	-34.25	-230.22	0.90	30.00	0.000	0.000

$$\begin{aligned}\Sigma W_i &= 162730.08 \text{ [kg]} \\ \Sigma W_i \sin \alpha_i &= 55930.45 \text{ [kg]} \\ \Sigma W_i \cos \alpha_i \tan \phi_i &= 81104.17 \text{ [kg]} \\ \Sigma c_i b_i / \cos \alpha_i &= 7213188.74 \text{ [kg]}\end{aligned}$$

Forcat e brendshme ne mur

Kombinimi n° 2

Y ordinate (ne m) pozitive ne drejtimin poshte, origjina ne majen e murit

Momenti positive nqs terhiqen fibrat e jashtme ne kgm

Forca aksiale (nqs eshte shtypese), ne kg

Forca prerez (positive nga ana mbajtse e murit), ne kg

Nr.	Y	N	M	T
1	0.00	0.00	0.00	0.00
2	0.24	430.65	-3.12	17.81
3	0.48	886.22	-7.17	71.22
4	0.72	1366.71	-4.17	160.25
5	0.96	1872.11	13.86	284.90
6	1.19	2402.44	54.91	445.40
7	1.43	2957.68	126.82	639.43
8	1.67	3537.83	236.66	864.26
9	1.91	4142.90	391.55	1122.92
10	2.15	4772.89	599.33	1417.26
11	2.39	5427.80	867.99	1747.29
12	2.63	6107.63	1205.51	2112.96
13	2.87	6812.37	1619.89	2514.27
14	3.11	7542.03	2119.09	2951.21
15	3.35	8296.60	2711.11	3423.77
16	3.58	9076.09	3403.91	3931.96
17	3.82	9880.50	4205.46	4475.76
18	4.06	10709.83	5123.76	5055.18
19	4.30	11564.07	6166.76	5670.15
20	4.54	12443.24	7342.17	6315.89
21	4.78	13347.31	8654.24	6969.67

Forcat e brendeshme ne pjesen e jashtme te themelit

Kombinimi n° 2

X abshisa(ne m) positive ne anen mbajtse me origjine ne pjesen e jashtme te themelit

Momenti eshte positive nqs terhiqen fibrat e poshtme, ne kgm

Forca prerez (pozitive ne drejtimin larte), ne kg

Nr.	X	M	T
1	0.00	0.00	0.00
2	0.06	19.08	634.72
3	0.12	76.00	1261.22
4	0.18	170.26	1879.48

5	0.24	301.38	2489.52
6	0.30	468.84	3091.32
7	0.36	672.17	3684.89
8	0.42	910.86	4270.23
9	0.48	1184.43	4847.35
10	0.54	1492.38	5416.23
11	0.60	1834.22	5976.88

Forcat e brendshme ne pjesen e brendshme te themelit

Kombinimi n° 1

X abshisa(ne m) positive ne anen mbajtese me origjine ne pjesen e jashtme te themelit
 Momenti eshte positive nqs terhiqen fibrat e poshtme, ne kgm
 Forca prerese (pozitive ne drejtimin larte), ne kg

Nr.	X	M	T
1	0.00	0.00	0.00
2	0.09	-19.09	-446.20
3	0.17	-75.35	-874.79
4	0.26	-167.30	-1285.79
5	0.34	-293.44	-1679.19
6	0.43	-452.27	-2055.00
7	0.51	-642.29	-2413.20
8	0.59	-862.01	-2753.80
9	0.68	-1109.94	-3076.81
10	0.77	-1384.57	-3382.21
11	0.85	-1684.42	-3670.02

3.3.0 LLOGARITJA E URAVE

TE PERGJITHSHME

- Standartet***

Projekti eshte hartuar sipas kodit European dhe ne perputhje me standartin Italian
si me poshte:

D.M. 9 Janar 1996

“Standartet Teknike per llogaritjen, ekzekutimin dhe provat laboratorike ne strukturat me beton arme te zakonshme, beton arme te paranderur per strukturat metalike”

D.M. 4 Maj 1990

“Azhornimi i Standartit Teknik per projektimin, ekzekutimin dhe provat laboratorike ne urat rrugore”.

D.M. 14 Shkurt 1992

“Standartet Teknike per ekzekutimin e punimeve ne beton arme te zakonshme dhe te paranderur per strukturat metalike”

D.M. 16 Janar 1996

“Standartet Teknike ne lidhje me kriteret per verifikimin e sigurise te punimeve dhe ngarkesat e mbingarkesat”

- Ngarkesat qe veprojne***

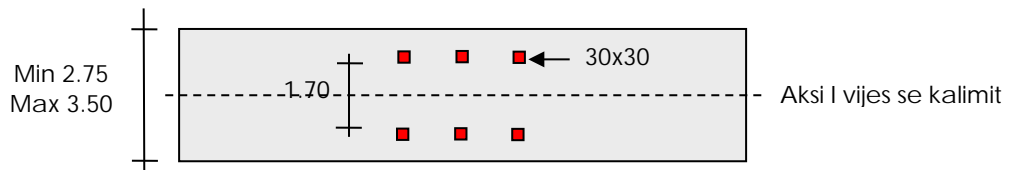
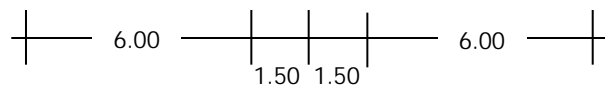
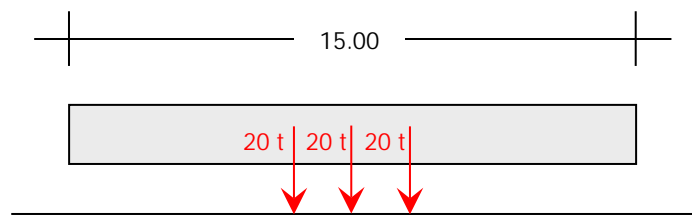
Standartet

Ngarkesa e levizshme (standarti Italian 1990 per kategorine e pare te rrugeve)
q1,a – Ngarkesa e perqendruar

100% vija e pare e kalimit 60 ton (kur jane me shume se 4 vija kalimi, dy mjete 60 ton por jo afer)

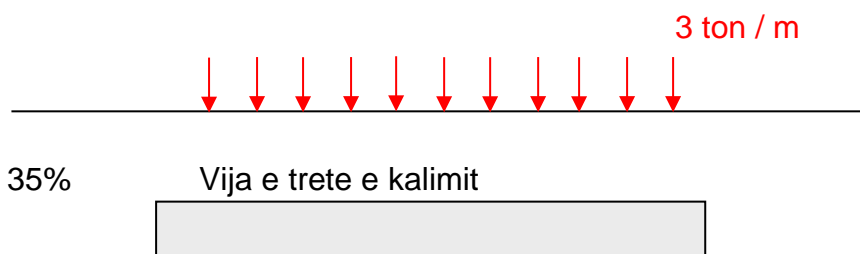
50% vija e dyte e kalimit 30 ton

35% vija e trete e kalimit 21 ton



q1,b – Ngarkesa e levizhme (Jashte ngarkeses se perperqendruar, ne te njejten
vije kalimi)

100 %	Vija e pare e kalimit
50%	Vija e dyte e kalimi



q1,c – Ngarkesa e rrotes (Ne elementet dytesore te verifikimit)
q1,c = max 10 ton / 30x30 cm

q1,d – Ngarkesa uniformisht e shperndare per elementet e vecante ose
elemente
dytesore

$q1,d = 1\text{ton} / 70x70 \text{ cm}$ (ekuivalente me $2 \text{ ton} / \text{m}^2$)

Gjithashtu perdoret per elementet e perafert, mbushjet, muret etj.

q1,e – Turma

$q1,e = \text{ngarkesa maksimale } 0.400 \text{ ton} / \text{m}^2$

Ngarkesa dinamike

Koeficienti dinamik $\varnothing = 1.4 - (L - 10) / 150$

$L = \text{hapesira e drites}$
Per soletone dhe elemente dytesore $\varnothing 1.4$

Forca e frenimit

$q_3 > 1 / 10$ e ngarkeses vertikale maksimale ne secilen vije kalimi
 $q_3 = > 20 \text{ ton}$

Forca centrifugale

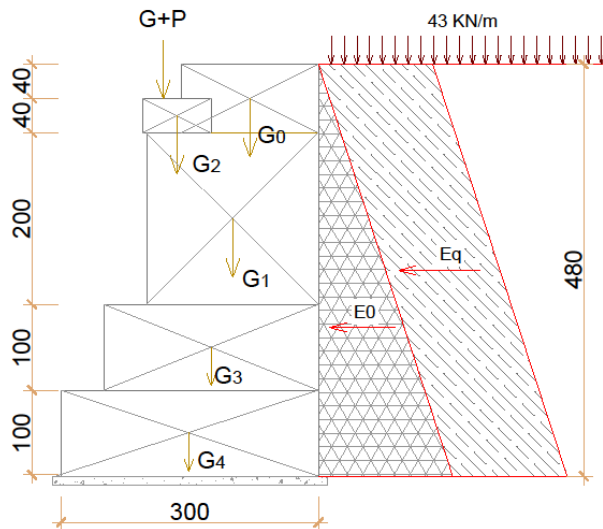
$q_4 = 30 / R (\text{t} / \text{m})$
 $R = \text{rrezja e kurbes}$
(kjo force aplikohet 1.0 m mbi shtresen kaluese)

- Per te gjitha veprat e artit jane pregetitur projekte zbatimi te vecanta te shoqeruara edhe me preventivat perkates, si edhe me llogaritjet statike.
- Programet e perdonura jane:
 - a) SAP2000 V14 per llogaritjen e urave
 - b) SAFE V8 per llogaritjen e soletave te urave
 - c) Max 10 (Aztec informatica) per llogaritjen e ballnave
- Per te gjitha objektet betonet e armuar jane pranuar M-300. Per te gjitha stukturat betonarme eshte pranuar armature celiku e markes FeB-44k ose ekuivalente me te.

3.3.1 URE HD-6m Km 7+200

➤ LLOGARITJA E BALLIT TE URES

 **Llogaritja do te behet per 1 ml te ballit :**



Llogaritjet e metejshme jane realizuar nepermjet nje mini-programi , qe ben llogaritjen e ballnave per gjatesine njesi .

Per llogaritjen e ballit kemi keto lloj kombinimesh te ngarkesave :

- 1) Kombinimin baze qe perfshin nje ose disa nga keto ngarkesa : ngarkesa te perhershme , ngarkesen verticale te levizhshme te perkoshme , shtytjen e dheut (prej veprimit te ngarkeses se levizhshme ne prizmin rreshqites)
- 2) Kombinimin shtese , perfshin nje ose disa ngarkesa te kombinimit baze , si dhe nye ose disa nga ngarkesat e tjera qe mbeten , me perjashtim te ngarkesave sizmike dhe te ndertimit.
- 3) Kombinim i vecante , perfshin ngarkesat sizmike ose ngarkesat gjate ndertimit se bashku me ngarkesat e tjera .

Per llogaritjen e ballnes do realizohet :

- 1) Llogaritje ne soliditet te murit dhe themelit
- 2) Ne kontrollin e sforcimeve ne tabanin e ballnes

Per llogaritje eshte e nevojshme te merren parasysh keto ngarkesa :

- ngarkesa nga pesha vetiake
- ngarkesa verticale nga ngarkesat e perkoshme (e levizhshme) nga mjetet levizese dhe turmes
- ngarkesa vertikale nga pesha e mbistrukturies
- ngarkesa horizontale nga pressioni i dheut

- ngarkesa horizontale nga pressioni i dheut nga mjetet levizese
- forca e frenimit (sipas dy shenjave).

Per llogaritje do marrim :

Pesha volumore e ballit $\gamma_b = 25\text{kN/m}^3$

Pesha volumore e dheut $\gamma_{dh} = 18\text{kN/m}^2$

Kendi i ferkimit te brendshem 30°

Llogaritja e ngarkesave vertikale .

a) Pesha vetjake e ballit (/1ml) :

	$G = V * \gamma$	N
G_0	$(0.8 * 1.6 * 1) * 2.5$	3.2 t
G_1	$(2.0 * 2.0 * 1) * 2.5$	10.0 t
G_2	$(0.40 * 0.8 * 1) * 2.5$	0.8 t
G_3	$(1.0 * 2.5 * 1) * 2.5$	6.25 t
G_4	$(1.0 * 3.0 * 1) * 2.5$	7.50 t

(programi i merr parasysh ngarkesat e mesiperme nga vete geometria e ballnes)

b) Pesha e mbistrukture :

$$G = 7.6t$$

$$P = 27.67t$$

$$N = G + P = 27.67 + 7.6 = 35.27t$$

Llogaritja nga forcat horizontale .

$$b = 1ml$$

$$K_a = tg^2 \left(45 - \frac{\varphi}{2} \right)$$

$$\varphi = 30^\circ$$

$$\gamma = 1.8t / m^3$$

$$h = 5.0m$$

a) Ngarkesat nga dheu :

$$\begin{aligned} E_0 &= \frac{\gamma * h^2}{2} * \operatorname{tg}^2\left(45 - \frac{\varphi}{2}\right) \\ &= \frac{1.8 * 5.0^2}{2} * \operatorname{tg}^2\left(45 - \frac{30}{2}\right) \\ &= 7.5t / ml \end{aligned}$$

b) Ngarkesat nga mjetet e levizshme :

Kendi qe formon plani me i rrezikshem

$$\theta = \left(45 + \frac{\varphi}{2}\right) = 60^\circ$$

Gjejme gjatesine e prizmit te ndikimit pas ballnes

$c = H / \operatorname{tg} \theta = 5 / \operatorname{tg} 60 = 2.88m$, sic shikohet, brenda prizmit mund te futen vetem dy akse nga tre akset me te renduar

Gjejme ngarkesen ekuivalente per S-N e pranuar per nje ml gjatesi muri

$$q_{ek} = \sum P_i / (S) = 4.3 \text{ t/ml}$$

$$E_q = q_{ek} * h * \operatorname{tg}^2\left(45 - \frac{\varphi}{2}\right)$$

(Rezultatet do i marrim nga programmi)

c) Ngarkesat nga forcat e frenimit (per nje korsi kalimi) :

$$F_f = 0.2 * (3 * 10) * 1.4 = 8.4 \text{ ton}$$

 **Momentet nga forcat horizontale .**

Ne trajte parametrike do jepeshin :

- Nga dheu :

$$M_0 = E_0 * \frac{1}{3} * l$$

- Nga mjetet levizese :

$$M_q = E_q * \frac{1}{2} * l$$

- Nga frenimi :

$$M_f = F_f * a$$

Ne vijim jane paraqitur dimensionet e murit (te modeluar), duke marre nje perafrim te seksionit real me ate vijues . Shmangia nga gjemmetria reale (dmth shkallezimi ne anen e pasme) do sillte nje shmangje te paperfillshme e cila eshte ne favor te sigurise.

LLOGARITJA E BALLNES SE URES

Altezza paraghiaia	h1	0,8	Angolo attrito interno	ϕ^o	30	Impalcato
Spessore paraghiaia	s1	0,4	Ang. attrito terra-muro	δ^o	0	
Inclinazione parete [%]	i	0	Ang. attrito fondazione	ϕ_f^o	30	
Altezza parete	h2	3,5	Peso spec. terre [kN/m³]	γ_t	18	
Spessore in testa	s2	1	Peso spec. muro [kN/m³]	γ_m	25	
Spessore alla base	s3	1	Grado di sismicità	S	0	
Altezza fondazione	h3	1,2	N° lati terreno	Lungh.	Calcolo	
Sbalzo fond. contro terra L1	L1	1,5		Dislivello	q	
Larghezza totale fond.	L2	3,5	Lato 1	20	43	

Parete

St	55,47	kN
Sq	61,63	kN
Ss	0	kN
Si	0	kN
M	307,6	kNm
N	447,5	kN
V	145,1	kN

Fondazione

St	90,75	
Sq	78,83	
Ss	0	
Si	0	
M	508,1	
N	668,6	
V	197,6	

Visualizza

Sbalzi Fondazione

M valle	184,9
M monte	97,77

➤ Kontrolli ne permbyse

Nga rezultatet e nxjerra nga programmi shihet :

Fondazione

Mr	514,8	kNm
Ms/Mr	2,286	
c. scorr.	1,954	

$$M_{permbyse} = 514,8 \text{ kN} \cdot \text{m}$$

$$M_{mbajte} = 1173,7 \text{ kN} \cdot \text{m}$$

Verifikimi rezulton pozitiv , pasi koefic i sig > 1,5 .

Kontrolli ne rreshqitje

Sic shihet dhe nga resultatet koeficienti i sigurise ne rreshqitje C.scorr =1,954 > 1,3

Verifikimi rezulton pozitiv .

Ne vijim jane paraqitur llogaritjet e armatures per seksione cdo 50cm ne paret ashtu dhe ne themel.

Distanza fra le sezioni	0,5	m	s,adm	255	N/mm ²
Copriferro	3	cm	Es/Ec	15	
<input type="button" value="Ricalcola"/>					
PARETE (d=distanza sezione da base paraghiaia)					
d [m]	M [kNm]	N [kN]	V [kN]	As [cm ²]	sig c [MPa]
3,5	307,6	447,5	145,1	5,15	5,14
3	240,0	435,0	125,8	2,31	4,70
2,5	181,6	422,5	108,0	0,00	4,01
2	131,7	410,0	91,65	0,00	1,53
1,5	89,68	397,5	76,84	0,00	0,97
1	54,65	385,0	63,52	0,00	0,71
0,5	25,91	372,5	51,70	0,00	0,53
PARAGHIAIA (d=distanza sezione da sommità)					
d [m]	M [kNm]	N [kN]	V [kN]	As [cm ²]	sig c [MPa]
0,8	5,099	8,000	13,39	0,39	1,33
0,3	0,6720	3,000	4,570	0,01	0,55
SUOLA A VALLE (d=distanza sezione da filo parete. As positiva per armatura inferiore)					
d [m]	M [kNm]	V [kN]	As [cm ²]	sig c [MPa]	tau c [MPa]
0	184,9	344,4	6,46	2,33	0,33
0,5	49,37	191,2	1,69	1,16	0,18

Grupi i Projektimit

Ing. Skender Cela

 Digitally signed
by Skender Cela
Date: 2020.08.07
12:52:31 +02'00'



PROJEKT ZBATIM

STUDIMI GJEOTEKNIK I SEGMENTIT RRUGOR SALARI NIVIC

Tirane 2016

Permbajtja

Hyrje
Qellimi i studimit
Gjeomorfologjia e zones
Ndertimi Gjeologjik i zones
Tektonika
Kushtet Hidrogjeologjike
Litologjia e shtresave
Konkluzione dhe Rekomandime
Referencia dhe Literature e Perdorur

Hyrje

Me fonde e buxhetit te shtetit per vitin 2020 eshte planifikuar “**Studim Projektim Aksi Salari Nivice**”. Ky aks rrugor ne studim, ne pjesen me te madhe te gjatesise kalon per gjate lugines se quajtur prroi salarise dhe kalon ne qafen e Kreshtes dhe lidhet me rrugen ekzistuese te Fshatit Nivic duke bere te mundure te lidhet me te gjitha fshatrat e krhines se Kurveleshit te Siperm dhe duke krijuar akses te lidhet me Borshin .

Kjo rruge ka potenciale te medha si kulturore por edhe ekonomike. Me ane te kesaj rruge mund te dalesh ne bregdetet si ne Himare, Borsh, Piqeras, Lukove, Sarande, Ksamil etj. Rruga ekzistuese ka nje gjeresi te trupit te rruges qe varion 3-5 m. Zona ku kalon rruga eshte ne terrene malor edhe kodrinore. Duke qene se si gjurme kjo rruge eshte hapur rreth 100 vjet me pare nderhyrjet ne kete rruge kane qene minimale duke lene kete aks jo pak te rendesishem deri ne degradim te plote, duke lene zhvillimin e kesaj zone ne meshire te fatit. Ky aks rrugor ka nje aspekt tjeter teper te rendesishem per lidhjet qe ka me bregdetin. Nje tjeter arsy e pse kjo rruge ka perparesti eshte edhe lidhja me zonen e Qeparoit qe kalon nepermjet lugines se lumi Kudhes.

Qellimi

Destinacioni i ketij studimi eshte percaktimi i karakteristikave fiziko-mekanike te dherave dhe shkembinjeve qe takohen ne zonen e studjuar per objektin e rruges **Salari Nivice**. Jane rishikuar te gjitha punimet e rruges te meparshme gjeologjike te kryera nga autoret dhe nga autore te tjere vendas te cilat jane kryer per qellime te tjera por kane vlera njohese. Jane pare te gjitha studimet e botuara dhe te pa botuara per zonen ne fjale.

Gjeomorfologjia e Zones

Gjithe traseja kalon ne nje relief malor e kodrinore (lugina e Salarise), ku fillimi eshte ne dalje te fshatit salar e vazhdon ne lugine (Aksi ekzistues i rruges) dhe perfundon ne fshatin Nivice.

Nga pikepamja gjeomorfologjike zona e studimit bene pjesa ne Ky sektor dallohet per relief shume te çregullt per arsyet te ndryshimeve litologjike te shkembinjeve qe marrin pjesa ne zone, levizjeve tektonike, proceseve gjeodinamike, etj

Brenda kesaj hapesire perrenjte nderpresin nje sere shkembinjsh, te cilet kushtezojne formen e luginave dhe gjeomorfologjine e tyre. Pra varianti i paraqitur eshte me vendvendosje te trasese ne segmente te lugines ku ndertimi gjeologjik, morfologjik e problemet gjeologo-inxhinierike, kushtezojne zgjidhen e trasese. Jane kryer investigime te rendesishtme per shtresat e rruges, veprat e artit, sistemit te drenazhimit, gjeologjine e zones, etj dhe sidomos ne pikat me kritike ku jane paraqitur te nevojshme jane, hapur gropat dhe jane marre kampione per analiza. Jane kryer matje “in situ” me penetrometer CPT, per cdo shtrese, per matjen e Rsh, Kohezionit”C”, kendi ferkimit te brendeshem” ” Modul elasticiteti”E”, Pesha Volumore” ”, kollonen stratigrafike si dhe pershkrimi litologjik te shtresave. Metoda kryesore e studimit mbetet rilevimi gjeologjik i shkallev te ndryshme, duke evidentuar dhe differencuar ne shkallen e duhur vendet karakteristike dhe me probleme si per sa i perket qendrushmerise se shpateve ashtu dhe dukurive te tjera gjeodinamike qe takohen ne kete zone.

Ne kete drejtim ne studim me vemendje u trajtuan zonat dhe shpatet e lugines te ndertuara nga shkembinje me ndertim te karakterit flishor e terrigen, pranise se mbulesave eluvialo e deluviale, sidomos mbi keto depozitime, tjetersimit te shkembit ne shpate ku do te jete traseja e vepres, renies se shtresave ne raport me luginen, etj. Per formacionet shkembore ranore e konglomeratike, vemendja u perqendrua ne gjendjen e shkembit ne masiv, çarshmerise se imet e thyerjeve tektonike, zonave me copetim e thermim te shkembit, prekjes se tyre nga dukurite karstike, pranise se ujrale siperfaquesore, qe mund te ndikojne ne dobesimin e vetic fiziko - mekanike te tyre, etj.

Raporti studimor shoqerohet me harten gjeologjike dhe topografike ne shkalle 1:25000,. Profileve gjeologo litologjik

Hidrogjeologja e Zones

Mbeshtetur ne ujepershkueshmerine e formacioneve qe ndertojne zonen e studimit veçohen komplekset e meposhtme ujembajtese:

-) Kompleksi ujembajtes karbonatik,
-) Kompleksi ujembajtes flishor e flishoidal argilo - alevrolito – ranor,
-) Kompleksi ujembajtes i kuaternarit,

Litogjikisht rajoni në studim përbëhet nga:

- a. **Shkëmbinjtë karbonatik** të strukturave antiklinale, që paraqiten pakot organogjeno-coprizore, pelitamorf neritik pjesa e poshtme me moshë triasike($T_{2,3}$) jurasike($J_{1,2,3}$) Cretake($Cr_{1,2}$) paleocen (Pg_1) e eocen (Pg_2).
- b. **Shkëmbinjtë terrigen** që paraqiten depozitimet e fllshit e fllshoidet argilo-ranor me moshë Oligoen i poshtëm e i mesëm ($Pg_3^1-N_1^{2s}$).
- c. **Shkëmbinjtë aluvional**, deluvional e proluvional që mbivendosen transgresivisht mbi gëlqeror e fllsh me moshë Quaternare (Q_{4dl} e Q_{4prl}).

Kompleksi ujembajtes karbonatik te zones Lopsit dhe Kurveleshit tw Siperm nderton burimet e shumta te zones. Në kontakt te gelqeroreve te kesaj zone me depozitimet fllshore qe vendosen normal mbi to dalin burime uji. Ato dalin edhe ne fundin e luginave karbonatike si burime karstike. Ne siperfaqe të ketij kompleksi në zonen e studimit dallohen te gjitha format karstike duke filluar nga fusha në shpella karstike.

Ndërtimi gjeostrukturor, tektonika e litologjia.

Zona e Lugines se Lopsit me drejtim te krahines se Kurveleshit te Siperm qe perfaqeson brezin sinklinal te zones Tektonike Jonike, ku ndodhet rruga Tepelene Vlore, në aksin qenderor të tij që përkon me krahun lindor të brezit antiklinal Cikes dhe krahun perendifor te brezit antiklinal te Kurveleshit, është strukturë tepër e zhvilluar me shkëputje tektonike, e zhvillim hidrogjeologjik. Në kontaktin e gelqeroreve me fllshin dalin burimet e shumta ujore natyrore që formojnë lumin e Salarise e me tej ate te Kanioneve te Nivices. Burimet e shumta të tipit karstik me prurje të mëdha ujrash dallohen në zonën e kontaktit të fllshit me gëlqerorin. Ky kontakt siç e thamë më sipër është tektonik e litologjik. Në këtë kapitull do të

trajtojmë gjithë shratimin me elemente të tij si kolektorin, kurthin, zonën e ushqimit me rrugët e furnizimit, përbërjen fizike-kimike e bakteriologjike të ujit, prurjen e burimit dhe shfrytëzimin e tij.

Objekti Ujor Karbonatik (T₃ –J₃)

Ne kete objekt ujembajtes, perfshihen ujrat gelqerore te kretakut te siperm, Trias - Jure (T₃-J₃). Depozitimet e ketij objekti ndertojne pjesen e poshtme te kompleksit karbonatik dhe ekspozohen ne siperfaqe ne gjitha strukturat antiklinale te rajonit.

Depozitimet e ketij objekti fillojne me gelqeroret dolomitik dhe vazhdojne me gelqeroret pllakore, mikritike, pelitomorf. Prania e shisteve te Kretakut te poshtem qe sherbejne si izoluese dhe veçon kete objekt nga objekti i me siperm. Keto formacione pershkohen nga sisteme carjesh, meridional dhe normal shtresezimit, me hapsira boshe. Carjet ne siperfaqe jane te eroduara, te shpelara dhe te karstifikuara. Veprimitaria eroduese e karstit, ne siperfaqe eshte shume e avancuar, duke krijuar forma te ndryshme reliivi: gishtezime, vrima, brinje dhe gropezime te gjera te veprimitarise karstike te shplara dhe te gerryera. Sistemet e çarjeve (me teper gjate shtresezimit dhe renies se formacioneve) zgjerohen dhe futen ne thellesi ne formen korridoreve, kavernave karstike, me çfaqje tipike te tyre ne zonen e ushqimit. Zona e ushqimit dhe furnizimi me uji i burimeve te fuqishme karstike, qe lidhen me keto korridore apo kolektor te medhenj ujembajtes, behet per llogari te rreshjeve atmosferike, ne rruge te gjata dhe te thella qarkullimi, nepermjet fushave karstike me siperfaqe ujembledhese relativisht te medha.

Objekti Ujor Karbonatik (Cr₂-Pg 2)

Ne kete objekt ujembajtes, perfshihen ujrat gelqerore te kretakut te siperm, Paleocenit-Eocenit (Cr₂-Pg₂). Depozitimet e ketij objekti ndertojne pjesen e siperme te kompleksit karbonatik dhe ekspozohen ne siperfaqe ne te gjitha strukturat antiklinale te rajonit.

Depozitimet e ketij objekti fillojne me gelqeroret fosfatike dhe vazhdojne me gelqeroret coprizor, mikritike, pelitomorf, mergelor si dhe pakon kalimtare. Prania e shisteve te Kretakut te poshtem qe sherbejne si izoluese dhe veçon kete objekt nga objekti i me poshtem.

Keto formacione pershkohen nga dy sisteme carjesh, sistemi meridional dhe normal shtresezimit, me hapsire boshe 2-22 mm. Carjet ne siperfaqe jane te eroduara, te shpelara dhe te karstifikuara. Veprimitaria eroduese e karstit, ne siperfaqe eshte shume e avancuar, duke krijuar forma te ndryshme reliivi: gishtezime, vrima, brinje dhe gropezime te gjera te veprimitarise karstike te shplara dhe te gerryera. Sistemet e çarjeve (me teper gjate shtresezimit dhe renies se formacioneve) zgjerohen dhe futen ne thellesi ne formen korridoreve, kavernave karstike me çfaqje tipike te tyre ne zonen e ushqimit.

Zona e ushqimit dhe furnizimi me uji i burimeve te fuqishem karstik, qe lidhen me keto korridore, apo kolektor te medhenj ujembajtes, behet per llogari te rreshjeve atmosferike, ne rruge te gjata dhe te thella qarkullimi, nepermjet fushave dhe rrafshnaltave karstike me siperfaqe ujembledhese relativisht te medha. Keto ujra me ane te rrjetit te dendur te çarjeve, percillen per ne thellesi, duke u grumbulluar keshtu ne kolektoret dhe rezervuarin ujembajtes nentokesore.

Nga studimet hidrokimike rezulton se ne per gjithesi ujerat e burimeve te ketij kompleksi karbonatik sipas klasifikimit te Sulinit, jane te tipit bikarbonat kalciumi ose kloro kalcitik me mineralizim te per gjitheshem 0.250-0.420 g/l.

Kurthi

Siq e thamë kompleksi karbonatik vendoset nen fllishin oligocenit me perputhje stratigrafike e nga ana strukturore me tektonike. Në kontaktin e tyre ndodhen burimet e shumta, ku si kurth në rastin konkret shërbejnë ndërthyrijet argjilo-ranore të fllshit dhe kurthi është i tipit litologjik.

Zona e furnizimit dhe rrugët e tij

Si zonë furnizimi shërben vet kontakti i kompleksit karbonatik me atmosferën atje ku është i zhveshur dhe furnizohet nga reshjet atmosferike, si dhe burimet karstike. Si rrugë furnizimi shërbejnë kontakti me gëlqerorët, rruget karstike dhe carjet. Në kontaktin e fllshit me gëlqerorët shfaqen dhe burimet te Qfes se Kreshthes të Buronjat, Kucit, Borsh, Kalases etj. Si përfundim themi se burimet vijnë nga shtratimi masiv karbonatik me kurth litologjik fllhor.

Kompleksi ujembajtes argjilo-alevrolito-ranor mbulon brezin fllhor te lugines ze një siperfaqe relativisht te madhe në zonen e studimit. Nga pikepamja hidrogeologjike ky kompleks konsiderohet me ujembajtje te vogel. Ato karakterizohen nga burime me prurje te vogel 0.3 l/s. Burime të rendit mbi 1 l/s takohen në kontakt te fllshit me gelqeroret. Nga pikepamja e perberjes ato kane mineralizim te per gjithshem 0.3 – 0.8 g/l, fortesi 10-20° gjermane, pH = 7.5-8 dhe janë të tipit HCO₃ - Ca dhe me rralle HCO₃-Ca-Mg.

Kompleksi ujembajtes i kuatamarit përmbledh ujrat qe lidhen kryesisht me depozitimet aluvionale e eluvialo-deluviale te vendosura mbi depozitimet fllshore. Burimet e vogla të ketyre depozitimeve janë te perkohshem.

Procese Gjeodinamike

Proceset gjeodinamike ne zonen e studimit lidhen ngushte me energjine e brendshme dhe energjine e jashtme. Me energjine e brendshme lidhet tektonika dhe neotektonika ndersa, me energjine e jashtme lidhet tjetersimi, rreshqitjet dhe erozioni.

Tektonika dhe neotektonika. Prishjet neotektonike shprehen me sismicitetin e zones. Sismiciteti lidhet me vijat sismogjene me drejtim VP - JL, qe i japin zones se studimit termet me intensitet mesatar VI dhe VII ball MKS-64, ne baze të rajonizimit sismik te Republikes se Shqiperise.

Tjetersimi eshte fizik dhe kimik. Tjetersimi fizik eshte shprehur ne shkembinje ranorike, trashesia e tyre arrin deri ne 1.0 m. Ndersa tjetersimi kimik shprehet me dukurine e karstit te zhvilluar ne gelqeroret.

Karsti eshte i zhvilluar në forme të ndryshme ne struktura te ndryshme. Burimet karstike dalin edhe ne bazen e sotme erozionale brenda masivit gelqeror ose në kontakt të gelqeroreve me fllshin.

Erozioni eshte i lidhur me kushtet klimaterike dhe perberjen litologjike te shkembinjeve qe ndertojne zonen e studimit. Erozioni ne zonen e studimit eshte siperfaqesor dhe linear.

Erozioni siperfaqesor kap sipërfaqe te medha te fllshit e mollaseve qe karakterizohet nga mungesa e bimesise, nga zona te çveshura dhe intensitet te larte erozioni. Kjo ben te mundur qe te krijohen në keto zona rrjedhje apo rrjedhje-rreshqitje sidomos ne paketat argjilore.

Erozioni linear shprehet me vepnimtarine gryese te rrjedhjeve dhe pkia kulminante ne periudhe rreshjesh dhe deget e tij ne kete zone. Si pjese te siperme te lumit ato karakterizohet me erozion fundor dhe perpunim te shpatit paralelist gryerjes. Ne shkembinje e forte sic janë gelqeroret ka vetem erozion fundor duke formuar kanione e gryka te thella vertikale sic eshte grykaderdhje e lugines se Salarise dhe nje pjese e renieve te pjese se siperme te malit te Kendervices dhe atij te Gribes etj. Po keshtu ka forma

edhe në shkembinjt flishor (ranoret e trashe) me gjeresi 10-30 m në shtrat dhe vjen e rritet në drejtim të kuotave te larta duke u zgjeruar ne formen e germes V, transformohen nga shkembinj te bute ne dhera. Trashesia e kores se perajrimit eshte relativisht e trashe 1.5-2 m. Ky fenomen takohet me teper ne pjesen kodrinore te zones ku jane shkembinje flishore. Ne zonat ku jane prezente shkembinje karbonatike fenomeni i perajrimit eshte me pak i dallueshem. Keto shkembinj jane rezistent karshi ketij fenomeni. Ky fenomen eshte i dukshem ne formacionet e perajruara te formacionit rrenjesor dhe ne mbulesen deluvialo eluviale. Rrymat e ujit ne momentin e reshjeve masive gerryejne mbulesen deluvialo eluviale dhe pjesen e perajruar te formacionit rrenjesor.

Fenomeni i levizjes se mbulesave deluvialo-eluviale ne drejtim te renies se reliefit.

Reshqitjet jane karakteristike per zonen e përhapjes se flishit qe perhapet pothuajse kudo ne njesine antiklinale te shpateve te pjeseve te thepisura qe krijojne edhe lugina me aluvione e deluvione , etj. Ato jane te karakterit rrjedhje-rreshqitje. Keto depozitime perbehen nga shtresa suargjilash dhe argjilash me permajtje lendesh organike dhe copa nga shkembi rrenjesor. Mbulesa deluvialo-eluviale eshte vendosur mbi formacionin rrenjesor. Meqenese vendi ku do te kryet studimi eshte kodrinor me shpate te pjerreta mbulesa deluvialo eluviale leviz nga pikat me kuota me te larta ne pikat me kuota me te ulta. Nga ana jone eshte treguar vemendje e veçante per te vleresuar qendrueshmerine natyrore te shpatit dhe mbasi te nderyhet me punimet e ndertimit. Nga vrojtimet ne terren nuk konstatohet ndonje shenje rreshqitje aktive e cila te kercenoje qendrueshmerine e objekteve qe do te ndertohe.

Ndertimi Gjeologjik

Jurasiku i poshtem (J_1)

Ne siperfaqe keto depozitime zhvishen ne pjeset kulmore të strukturave antiklinale te nenzonave të Beratit, Kurveleshit dhe Çikës. Kalimi nga Triasiku i siperm ne Jurasikun e poshtem ne shumicen e rasteve eshte i padallueshem ne terren, vetem ne raste te veçanta, kur verehet prania e stralleve dhe shisteve bituminoze, ky kufi fiksohet dhe ndiqet ne shtrirje.

Ne harten gjeologjike depozitimet e Jurasikut te poshtem paraqiten te pandara, kurse nga punimet tematike rilevuese etj, jane veçuar ato te Liasit poshtem-mesem dhe Liasit te siperm –Toariani. Në pjesën e poshtme, që përfaqeson Liasin e poshtëm-mesëm, në këto depozitime dallohen qarte dy litofacie:

1. "Litofacia e dolomiteve dhe gelqeroreve me stralle"
2. "Litofacia e dolomiteve dhe gelqeroreve me alge"

Perhapja e dy litofaciieve eshte e kushtezuar nga ndertimi bllokor i tipit horst – graben te strukturave te zones Jonike.

Litofacia e pare eshte tipike per prerjen e malit te Gjere. Ajo perfaqesohet nga gelqerore, gelqerore dolomitike dhe dolomite me shtresezim te qarte. Me keta shkembinj nderthuren shtresa silicoresh te cilat shtohen gradualisht nga poshte lart.

Litofacia e dyte "e dolomiteve dhe gelqeroreve me alge" eshte analoge me litofacien e pare dhe takohet ne pjeset me te ngritura te strukturave. Keto depozitime perfaqesohen kryesisht nga dolomite e gelqerore dolomitike pa shtresezim te qarte.

Jurasiku i mesem (J_2)

Keto depozitime takohen pothuajse ne te gjitha strukturat antiklinale të nenzonave te Kurveleshit dhe Çikes si dhe pjesërisht në atë të Beratit (Bureto, Golik). Ato përgjithësisht vendosen normalisht mbi depozitimet e Toarianit dhe dallohen nga prania e silicoreve te shumte. Ne mjaft raste, ne shtrirje te strukturave ato vendosen me pushim stratigrafik mbi facien e "dolomiteve dhe gelqeroreve me alge" te Liasit te poshtem – te mesem.

Ne keto depozitime jane dalluar litofacia e "pakos strallore te poshtme" dhe "gelqeroreve gri kristaline".

Litofacia e pakos së poshtëme strallore takohet kryesisht ne pjesen qendrore te zones Jonike (nenzona e Kurveleshit), e perfaqsuar kryesisht nga gelqerore argilore, argjila te nderthurura me shtresa silicoresh te shumte, te cilet gradualisht predominojnë ne prerje.

Litofacia e gëlqerorëve gri kristalin, krahas përhapies së saj në vijushmeri mbi pakon e poshteme strallore te strukturave të nenzones të Kurveleshit zhvishet edhe në strukturat antiklinale te nenzones se Beratit (Bureto e Golik). Kurse ne strukturat e nenzones antiklinale se Çikes mbi gelqeroret me ammonite te kuq vendosen gelqerore mikritike e biomikritike, te nderthurur me dolomite kristalore.

Jurasiku i siperm (J₃)

Keto depozitime perhapen pothuajse ne te gjitha strukturat karbonatike te zones Jonike te nenzonave te Kurveleshit dhe Beratit. Ne to dallohen qarte dy litofacie:

1. Litofacia e pakos strallore te siperme qe ne pikpamje litologjike eshte e perafert me pakon strallore te poshtme. Kjo litofacie në gjithë strukturat e mësipërme vijon nomalisht mbi gëlqerorët gri, me përjashtim të rajoneve ku zhvillohen rifet, ku ajo vendoset me mospërputhje mbi gëlqerorët algore të Liasit te poshtëm – te mesëm (Bënçë, Lefterohor, Bureto, etj.).
2. Litofacia e gelqeroreve mikritike porcelanike, e cila eshte karakteristike per gjithe strukturat e zones Jonike dhe ka pothuajse te njejtat tipare kudo, gelqerore shtresore te bardhe qe jane quajtur dhe gelqerore porcelanike. Keto depozitime i takojne Titonianit te siperm - Valanzhinian.

Kretaku i poshtem (Cr₁)

Keto depozitime jane dalluar pothuajse ne te gjitha strukturat karbonatike te Shqiperise jugperendimore, duke marre pjese ne ndertimin e berthamave dhe kraheve te tyre. Ne pjesen e poshtme ato perfaqesohen nga gelqeroret mikritike porcelanike te cilet pjeserisht i perkasin Jurasikut te siperm.

Sikurse e theksuan keto depozitime perfaqesohen nga gelqerore shtrese holle-mesem rralle shtrese trashe me nderthurje shtresash e thjerrza silicore si dhe gelqeroresh turbidike.

Mbi gelqeroret porcelanike vijojne normalisht gelqeroret argilore.

Kretaku i siperm (Cr₂)

Ne zonen Jonike depozitimet e Kretakut te siperm perhapen ne te gjitha strukturat karbonatike, duke marre pjese ne ndertimin e kraheve dhe pjeserisht kulmeve te strukturave antiklinale.

Ne malin e Gjere, Progonat, Vranisht, Tepelene, Kremenare, etj, ne pjesen me te siperme te Kretakut te poshtem dhe ne pjesen e poshtme te Kretakut siperm, midis gelqeroreve argilore ndeshen shiste bituminoze te cilat formojne një horizont deri 10 m.

Me larte keto depozitime perfaqesohen nga gelqerore mikritike e bitomikritike dhe me rralle bioklastike te nderthurur me stralle.

Paleoceni (Pg₁)

Ne zonen Jonike depozitimet e Paleocenit vijojne normalisht mbi ato te Kretakut te siperm dhe perhapen ne siperfaqe ne te gjitha strukturat karbonatike. Litologjikisht perfaqesohen nga gelqerore turbiditike, masive te nderthurur me gelqerore pllakore mikritike e mikroshpatike, me ngjyre te bardhe. Midis tyre takohen thjerza e konkrecione silicoresh te rralle. Nga ana litologjike keto depozitime jane te ngashme me ato te Maastrichtianit ndaj dhe eshte veshtire ndjekja ne teren e ketij kufiri.

Eoceni (Pg₂)

Keto depozitime perhapen ne siperfaqe ne te gjitha strukturat karbonatike te zones Jonike duke marre pjese ne ndertimin e kraheve dhe zhytjeve periklnale te tyre. Depozitimet e Eocenit vijojne normalisht mbi ato te Paleocenit, duke ruajtur ne pjesen e poshtme te tyre karakteristika te njëjtë litologjike. Keshtu, ne fillim te prerjes vazhdojnë gelqerore turbiditike, që gradualisht ja lene vendin gelqeroreve shtresore biomikritike e mikritike, me permajtje argjilash mergelore te cilat ne pjesen me te siperme predominojne duke kaluar ne mergelet e “pakos kalimtare”.

Oligoceni i poshtem (Pg₃¹)

Depozitimet e Oligocenit te poshtem ne siperfaqe perhapen pothuajse ne gjithe zonen Jonike, duke marre pjese ne ndertimin e kraheve dhe periklinaleve te strukturave brenda vargjeve antiklinale e sinklinale. Kalimi per ne depozitimet flishore behet nepermjet pakos mergelore kalimtare. Kjo pako perfaqesohet nga dy paketa: e poshtmja e karakterizuar nga mergele me shtresa gelqeroresh biomikritik (5-10cm.), ndersa e sipermja perfaqesohet nga argjila mergelore dhe argjila ngjyre te kaltër rralle me ndonje shtrese gelqerori.

Ne nenzonen e Kurveleshit e më ne perendim, mbi depozitimet e fllishit te holle argjilo-ranor vijon normalisht fllishi argjilo-ranore, me shtresa gelqeroresh ritem holle-mesem (prerjet e Kremenares, Sopikut, Sarandes etj.). Ne pjesen veriore te nenzones se Çikes (prerja e Lapardhase) kjo trashesi kryesisht perfaqesohet nga nderthurje argjilash me shtresa gelqerori.

Oligoceni i mesem (Pg₃²)

Depozitimet e Oligocenit te mesem takohen ne te tre nenzonat tektonike (Beratit, Kurveleshit dhe Çikes), duke marre pjese ne ndertimin e kraheve te strukturave antiklinale dhe sinklinale.

Ne rajonet e pjeses qendrore te zones Jonike keto depozitime perfaqesohen nga fllish argjilo-ranor kryesisht ritem mesem me shtresa gelqerori mikritik, biomikritik e turbiditik. Karakteristike dalluese eshte rritja e shtresave gelqerore nga lindja ne perendim jo vetem si numer por edhe si trashesi dhe zvogelimi i komponentit ranor, deri ne zhdukje te tij perja e Lapardhase (antiklinali i Tragjasit). Ndersa ne nenzonen lindore te zones Jonike keto depozitime perfaqesohen nga fllish ranoro-argjilar me vithisje nenujore e me shtresa te rralla gelqeroresh.

Oligoceni i siperm (Pg₃³)

Depozitimet e Oligocenit te siperm kane perhapje me te kufizuar ne krahasim me ato te Oligocenit te poshtem dhe te mesem. Ato marrin pjese ne ndertimin e vargjeve sinklinale dhe vazhdimeve veriore te nenzonave te Beratit dhe Kurveleshit. Nga lindja ne perendim verehet dhe rritja e numurit te horizonteve vithises.

Ne per gjithesi ne pjesen e siperme te Oligocenit te siperme predominojne ranoret te cilet hera-heres kalojne ne ranore masive. Pra, siç shihet depozitimet e Oligocenit te siperme pesojne ndryshime te theksuara nga lindja ne perendim dhe nga jugu ne veri.

Akuitaniani (N_1^1 a)

Depozitimet e Akuitanianit perhapen nga lugina e Drinosit ne Memaliaj, Allambrez, Cacabez e me ne veriperendim, si dhe nga Saranda deri ne Vlore, duke mbushur kryesisht vargjet sinklinale. Keto depozitime ne pjesen e poshtme perfaqesohen nga nderthurje ranoresh te trashe deri masive me shtresa te holla argjilash e alevrolite. Ne vargun e Shushices takohen dhe shtresa gelqeroresh detritike me material terrigen e mergele. Karakteristike per depozitimet e pjeses se siperme eshte prania e argjilave mergelore, te cilat gradualisht shtohen ne prerje dhe qe perkojne me formacionin "Levani", i cili vazhdon edhe ne Burdigalian). Ne teresi keto depozitime vendosen ne vijushmeri normale mbi ato te Oligocenit te siperme.

Burdigaliani (N_1^1 b)

Ne zonen Jonike depozitimet e Burdigalianit takohen ne vargjet sinklinale te Memaliajt, Shushices dhe te Dukatit si dhe ne vazhdimin verior te vargjeve antiklinale. Depozitimet e Burdigalianit perfaqesohen nga nderthurje paketash mergelore, argjila mergelore, ranoresh dhe shtresa gelqeroresh lithothamnike. Ne pjesen e poshtme prerja karakterizohet nga nderthurje te paketave ranorike me ato argjilo-alevrolitore dhe horizonteve vithises. Mbi kete prerje vazhdojnë nderthurje me predominim te mergeleve te cilet ndertojne pako te fuqishme.

Mergelet qe perbejne dhe komponentin kryesor ne prerje, jane me ngjyre gri te zbardhur, me thyerje guackore, kompakte dhe me trashesi te paketave qe arrijne nga 0.5-1m deri 3-8m dhe rralle 15-20m. Argjilat jane me ngjyre gri te kaltert, shpesh paraqiten alevrolitore ne trajten e paketave me trashesi 1-3 deri 5m. Ranoret jane relativisht kompakt here-here me pamje konkrecionale k/madh dhe k/mesem, teksture masive dhe granoklasim te qarte vertikal. Trashesite e shtresave te tyre luhaten nga 10-15 cm deri ne 0.5-1 m dhe rralle arrin deri 10m.

Langiani (N_1^2 l)

Ne zonen Jonike keto depozitime takohen ne vargjet sinklinale te Memaliajt, Shushices njekohesisht dhe ne vazhdimin verior te vargjeve antiklinale te Kurveleshit dhe te Beratit, ne veri te diapirit te Dumrese. Ato marrin pjesë ne ndertimin e kraheve dhe mbylljeve centriklinale e periklinale te rrudhosjeve terrigjene.

Litologjikisht depozitimet e Langianit perfaqesohen nga nderthurje paketash mergelore, argjilave-mergelore dhe shtresave te ranoreve e gelqeroreve bioklastike. Mergelet takohen, kryesisht ne pjesen e poshtme te prerjes. Ne nivelet me te reja ato zevendesohen gradualisht prej argjilave-mergelore deri ne argjila.

Argjilat kane ngjyre gri deri gri te erret me nuanca jeshile dhe ndertim guaskor. Ranoret paraqiten me ngjyre gri te zverdhur deri kafe, k/imet deri k/mesem me trashesi 0.3 deri 0.7m.

Gelqeroret jane me ngjyre gri ne bezhe me copriza ose gravelite deri zaje ne baze dhe gradualisht drejt tavanit kalojne ne mikritike e mergele.

Serravaliani (N₁² s)

Ne zonen Jonike depozitimet e Serravalianit, perhapen ne vargjet sinklinale, kryesisht ne ate te Memaliajt dhe Shushices.

Prerja litologjike e depozitimeve te katit Serravalian perfaqesohet kryesisht nga alternime ndermjet pakove te argjilave dhe ranoreve me linza e shtresa gelqeroresh lithotamnike.

Argjilat kane ngjyre gri te zbardhur ne siperfaqe, ndersa ne thyerje te fresket ngjyra e tyre eshte e kalter deri ne nuanca jeshile. Paraqiten ne formen e paketave me trashesi 2-5-15 m dhe rralle i takon si pako masive deri 30-50 m.

Ranoret paraqiten me ngjyre gri te zverdhur deri kafe te çelur, kokerrimet deri kokerrimesem me trashesi 0.4 deri 0.7 m. Ata ne mjaft rajone takohen ne formen e paketave disa metroshe, ne te cilat here here takohet makrofaune, bivalvoreve e gastropodeve.

Gelqeroret lithotamnike kane ngjyre gri ne bezhe, permbajne lithotamnie te shumta, dhe drejt tavanit kalojne ne gelqerore mergelore. Trashesite e gelqeroreve lithotamnike luhaten nga 2-3m deri 10-15 m.

Plioceni (N₂)

Depozitimet Pliocenike perhapen gjerisht ne Ultesiren Adriatike, duke zene siperfaqe te medha te saj. Ato takohen ne Vlore e Selenice ne jug dhe ndiqen ne drejtim te verilindjes ne Patos, Rroskovec, Kuçove, Peqin, Kavaje, Durres e mandej me ne veri ne zonen detare.

Nga ana litologjike keto depozitime perfaqesohen nga dy pako me karakteristika te ndryshme litologjike te ndareshme ne siperfaqe dhe thellesi, qe vendosen me njepasnjeshmeri normale dhe shoqerohena me treguesit zonal biostratigrafik te tyre.

Plioceni i poshtem (N₂¹ h)

Depozitimet e formacionit "Helmasi" fillojne me shfaqjen ne prerje te shtresave ranore dhe konglomerateve te pangopur, qe percaktojne dyshemene e tij dhe njekohesishet shenojne pranine e transgresionit pliocenik. Vihet re qe ne shtrirjen jug-veri nga rajoni i Frakulles ne ate te Durresit trashesia e konglomerateve te bazes rritet. Mbi shtresat ranore dhe konglomeratike prerja vijon me shtresa argjilore dhe paketa argjilo-ranore shtrese holle e mesem deri ne pranine e argjilave masive ne rajonet e Radhimes, Kavajes, Rrogozhines, Semanit, etj. Argjilat predominojne ne prerje, jane gri hiri deri ne te kalerta, te buta deri ne kompakte, here-here shume mikore.

Pliocen i mesem (N₂²r)

Takohet ne rajonin e Kavajes, Rrogozhines, Frakulles, Divjakes, Kryevidhit, Patosit, Kuçoves, Rroskovecit, etj. dhe ne teresi ne te gjithe Ultesiren Adriatike. Ne thellesi ato jane faktuar nga shume puse te shpuar.

Ne prerjet e plota ne Pliocenin e mesem perfshihet, pjesa me e siperme e formacionit Helmasi dhe teresisht formacioni "Rrogozhina".

Depozitimet e formacionit "Rrogozhina" vendosen mbi pakon argjilore te formaciomit "Helmasi" dhe kane maredhenie normale me te. Ato kane perhapje ne te gjithe shtrirjen e Ultesires Adriatike dhe depresionin Tirane-Ishem. Keto depozitime kane karakter trashaman, ranore, gravelite, konglomerate me

zaje me ndershtresa te holla argjilash. Ne prerjen e Rrogozhines suita fillon me shtresa ranore e alevrolite shtrese holle, mbi to vijojne paketa konglomeratike e zaje qe nderthuren me paketa ranori, shtrese mesem, trashe dhe masive me trashesi shtrese deri ne 4-6m. Ranoret jane

kokervegjel deri trashe, shpesh gravelitike, poliminerale, te tipit kuarcoro- feldshpatik me permbajtje serpentinash.

Depozitimet e Kuaternarit (Q₄)

Perfaqesohen nga prodhimet eluvialo-deluviale dhe aluviale. Prodhimet *eluvialo-deluviale* perfaqesohen nga suargjila me perzierje cakelli. Ato takohen ne shkembinj karbonatik me trashesi deri 1.0 m dhe me shume mbi depozitimet e fllishit të holle me karakter rrreshqites me trashesi qe arrin deri 5 m. Depozitimet *aluviale* perfaqesohen kryesisht nga zhavore, zaje dhe popla me trashesi deri 2.0 – 3.0 m, sidomos ne pjeset ku lumi kalon në depozitimet fllshore oligocenike dhe në zonen e mergeleve.

Tektonika. Nenzona Perendimore (Cikes)

Kjo nenzone perfshin strukturat me perendimore te zones Jonike qe zbulohen ne siperfaqe. Ashtu sikurse dhe nenzonat e tjera ruan shtrirjen e pergjitheshme te zones juglindje - veriperendim me azimut 320°. Karakteristike dalluese e saj eshte prania ne pothuajse te gjitha strukturat e litofacies se "dolomiteve dhe gelqeroreve me alge" te Liasit te poshtem - te mesem, si dhe e litofacies "ammonitiko rosso" te Liasit te siperm (Toarian), ne vend te shisteve me possidonia qe takohet ne pjeset e tjera te zones Jonike. Gjithashtu ne strukturat e kesaj nenzone, sidomos ne ate me perendimore (Çike), takohen pushime, duke u vendosur me mosperputhje stratigrafike, mbi gelqeroret algore te Liasit te poshtem-te mesem, depozitimet nga Toariani deri ne Oligocen te poshtem. Ne pergjithesi depozitimet karbonatike jane me trashesi me te reduktuara ne krahasim me ato te nenzonave te tjera te zones Jonike. Ketu mungon dhe pako e poshtme strallore.

Ne pjesen jugperendimore kontakton tektonikisht me zonen tektonike te Sazanit, duke u mbihedhur drejt perendimit e duke maskuar plotesisht zonen e Adriatikut Jugor. Ne kete rajon dallohet shume qarte shtrirja e zones Jonike deri ne perendim te Korfuzit, duke u evidentuar mbihypja me e madhe ne plan e strukturave te zones Jonike drejt perendimit e duke maskuar shpatin lindor te platformes Apuljane.

Antiklinali i Qeparoit me drejtim gati veri-jug i cili zhytet gradualisht ne sinklinalin e Shushices. Krahu lindor i tij komplikohet me prishje tektonike, duke bere qe depozitimet e ketij krahu te bien me kende te medhenj deri ne "koke". Ne perendim nepermjet sinklinalit te ceket te Kudhesit ndahet me antiklinalin e Çikes.

Antiklinali i Çikes perfaqeson nje strukture me permasa te medha (30 x 6 km), me amplitudo rrudhosje 4-5 km dhe mbihypje drejt perendimit mbi 10 km, duke maskuar krejtesisht sinklinalin e Dukatit dhe nje pjesa te zones platformike. Ne kete strukture gjigande e cila sherben si "laborator" per gjeologjine e zones Jonike, takohen pushime stratigrafike qe jane nga me te bukurat, duke u vendosur, mbi gelqeroret algore te Liasit te poshtem - te mesem, me radhe depozitime nga Toariani deri tek pakua mergelore kalimtare. Ne veri nepermjet nje qafe ndarese te komplikuar dhe me shkeputje tektonike (Qafa e Shengjergjit), ky varg antiklinal vazhdon me antiklinalin e Tragjasit me dimensione 24 x 8km. Edhe ne kete antiklinal spikatin shume bukur pushimet stratigrafike brenda prerjes karbonatike. Ne Qafen e Shengjergjit, ne periklinalin jugor te Tragjasit, verehen reduktime nga me te theksuarat ne depozitimet karbonatike, duke filluar nga Toariani deri ne gelqeroret argjilore (perfshire) te Kretes se poshtme, te cilat interpretohen si ndikim i terthores se vjeter ne kete strukture. Krahu lindor, sipas depozitimeve karbonatike, relativisht eshte i qete, me renie nga lindja. Ne perendim te fshatit Lapardha dhe ne jug te Bratajt deri ne Terbaç ato behen me renie vertikale. Nga te dhenat e punimeve seizmike depozitimet e ketij krahu ne thellesi,

kalojne nga renje e qete lindore ne renie me kende 90° deri te permbysur duke i dhene struktura pamjen e nje kerpuhde. Ne krahun perendimor vazhdon e njejtë shkeputje, e cila me ne veri ben nje harkim drejt veri-lindjes, duke vazhduar me strukturen antiklinale te Selisht-Buzmadhit. Kjo strukture zhytet dhe devijon drejt verilindjes deri sa maskohet plotesisht nga nenzona e Kurveleshit.

Pershkrimi gjeologjik i rruges

Litologja e Shtresave

Per pershkrimin gjeologjik te rruges po e ndajme:

Segmenti fillon ne dalje te Fshatit Salari

Segmenti Salari Nivic

Shtresa e I^{re} perbehet nga formacione perzierje suargjila e surera me ngjyre ne kafe me nuance gri, jane te perajuara dhe ne per gjithese formacione te forta.

Shtresa e II^{-te} perbehet nga formacione suargjilash te renda e argjila, rera te cilat jane mesatarisht te ngjeshur, plastike me ngjyre kafe me nuance gri e erret. Keto formacione shpesht i shikojme edhe te zhveshur ne disa zona. Jane formacione te dobeta deri mesatarisht te ngjeshura. Jane depozitime deluvionale, dhe ndertojne fushat e lugines se lumi te Vjosës qe nuk ka ndonje ndikim ne formacionin e kesaj rruge. Ne shume raste keto vendosen mbi depozitime konglomeratike te teracave lumore. Trashesia e shtreses shiko profilin Gjelogo-Litologjik.

Parametrat fiziko-mekanik jane:

Kufiri siperm i plasticitetit	WI = 48.5	%
Kufiri poshtem i plasticitetit	WP = 25.5	%
Indeksi i plasticitetit	Ip = 23.0	
Pesha specifike	= 2.56	gr/cm ³
Pesha volumore ne gjendje natyrale	$\gamma_n = 1.99$	gr/cm ³
Lageshtia e natyrale	w = 25.08	%
Pesha e skeletit	= 1.60	gr/cm ³
Koeficienti i porozitetit	= 0.601	
Poroziteti	n = 41.0	%
Grada e lageshtise	G = 97.8	%
Moduli i Jungut	E = 40-50	kg/cm ²
Kendi i ferkimit te brendshem	$\varphi = 16-18$	°
Kohezioni	c = 0.15-0.20	kg/cm ²
Ngarkesa e lejuar	= 1.3-1.5	kg/cm ²
CBR	= 2.10-4.0	%

Shtresa III

Perbehet nga formacione rrenjesore te perbere nga nderthurja ranoresha shtrese mesem shtrese trashe me paketa argjilo-alevrolitore me cimentim te dobet, pjesa e siperme e tyre eshte e perajruar. Thellesia e shtreses eshte e ndryshueshme. Shiko profilin gjeologjik.

Parametrat fiziko-mekanik jane:

Pesha specifike	= 2.68	gr/cm ³
Pesha volumore ne gjendje natyrale	$\uparrow_n = 2.02$	gr/cm ³
Moduli i Jungut	$E = 200-250$	kg/cm ²
Kendi i ferkimit te brendshem	$\leftrightarrow 34$	°
Kohezioni	$c = 1.5$	kg/cm ²
Ngarkesa e lejuar	$= 2.0 - 2.5$	kg/cm ²

Shtresa III

Perbehet nga formacione rrenjesore here ranor kompakt e here mergele e argjila mergelore, me cimentim te dobet, pjesa e siperme e tyre eshte e perajruar. Thellesia e shtreses eshte e ndryshueshme. Shiko profilin gjeologjik.

Parametrat fiziko-mekanik jane:

Pesha specifike	= 2.65	gr/cm ³
Pesha volumore ne gjendje natyrale	$\uparrow_n = 2.03$	gr/cm ³
Moduli i Jungut	$E = 150-200$	kg/cm ²
Kendi i ferkimit te brendshem	$\leftrightarrow 34$	°
Kohezioni	$c = 1.65$	kg/cm ²
Ngarkesa e lejuar	$= 2.0-2.5$	kg/cm ²

Shtresa IV

Perbehet nga formacione rrenjesore te perbere nga nderthurje ranoresha shtrese mesem shtrese trashe me paketa argjilo-alevrolitore me cimentim te dobet, pjesa e siperme e tyre eshte e perajruar. Thellesia e shtreses eshte e ndryshueshme. Shiko profilin gjeologjik.

Parametrat fiziko-mekanik jane:

Pesha specifike	= 2.68	gr/cm ³
Pesha volumore ne gjendje natyrale	$\uparrow_n = 2.02$	gr/cm ³
Moduli i Jungut	$E = 200-250$	kg/cm ²
Kendi i ferkimit te brendshem	$\leftrightarrow 33$	°
Kohezioni	$c = 1.5$	kg/cm ²
Ngarkesa e lejuar	$= 2.0 - 2.5$	kg/cm ²

PERFUNDIME DHE REKOMANDIME

Duke vleresuar teresine e faktoreve gjeologjik, gjeomorfologjik, hidrogjeologjik, gjeologo - inxhinierik, etj., per rrugen Salari Nivic nenvizojme:

- Ne drejtim te tipareve gjeomorfologjike zona e lugines se lumenit te Vjosës se bashku me perrenjte formues te tyre karakterizohet nga ndryshime te theksuara te morforelievit per shkak te ndryshimeve litologjike, levizjeve tektonike, e proceseve gjeodinamike.
- Ne drejtim te ndertimit gjeologjik zona karakterizohet nga një larmi formacionesh shkembore e gjysem shkembore me ndryshime te theksuara litologjike dhe te prekur nga prishjet e thyerjet tektonike.
- Proseset e dukurite gjeodinamike shprehen nepermjet erozionit, tjetersimit te shkembinjeve dhe zvarritjeve e rreshqitjeve te mases se shperbere ne formacionin terrigen dhe bllaqeve gelqerore nga formacioni shkembor.
- Sipas te dhenave hidrogjeologjike zona karakterizohet nga prania e disa komplekseve ujembajtes ku me i rendesishmi eshte ai karbonatik, ne te cilin dalin burime me debit deri 10-75 l/sek.
- Ne drejtim te vendvendosjes se trasese se rruges dhe veprave te artit (ura, tumbino) theksojme se per gjithesisht ato duhet te vendosen ne shkembinje rrenjsore, pra ne kushte relativisht te mira gjeologo-inxhinierike.
- Urat ne teresi vendosen mbi shtreterit e luginave ku shpatet ndertohen nga formacione shkembore te qendrueshem dhe karakterizohet nga trashesi aluvionesh.
- Gjate hapjes se trases, duhet germuar ne fillim per te hequr token vegjetele dhe pastaj te filloj permisimi i bazamentit.
- Traseja e rruges do te pershkoje ne per gjithesi shpate te ndertuar nga shkembinje te facies terrigjene flishore e flishoidale mbi te cilet zhvillohen mbulesa eluvialo – deluviale te cilat duhet te merren ne konsiderate per projektim.
- Rezultatet e provave laboratorike dhe atyre fushore jane ne unitet dhe flasin per te njejten gjendje te dherave te bazamentit, ne per gjithesi te dobeta deri mesatarisht te ngjeshura. Ndertimi ne keto formacione me masa inxhinierike behet me sukses.
- Duhet te mbrohen shtresat rrugore nga efekti i ujerave nentokesore, per kete duhet te vendoset gjeotekstil, filtrante zhavori etj.

- Kanalet e kullimit duhet te jene nen kuoten e paketes se shtresave rrugore ne menyre qe ato te mos jene ne kontakt me ujin.
- Llogaritjet e rruges te behen per rruge me bazamente te dobeta (te ndertuara nga dherat me njeshmeri te dobet, plasticitet te larte).

REFERENCA DHE LITERATURE E PERDORUR

1. Geotechnical Engineering. Author Renato Lancellotta Department of structural Engineering, technical University of Turin 2006.
2. Handbook of Geotechnical Investigation and Design Tables Author Burt Look Consulting Geotechnical Engineer Teulor & Francis 2006
3. Geological Hazards Author Fred G. Bell Consulting Geotechnical Engineer Teulor & Francis 2006
4. British Standard (BS1377) 1990.
5. Code of Practice For Site Investigations (BS 5930:1999)
6. ASTM Standard 2010.
7. AASHTO Standard 2006.
8. Kushtet Teknike te projektimit KTP-78 libri I KTP-5-78

Foto te punimeve ne terren



PUNOI: **“ HE & SK 11” shpk**

Skender Cela

Digitally signed
by Skender Cela
Date: 2020.08.07
12:37:54 +02'00'

PUNIMET TOPOGRAFIKE

Hyrje

Punimet gjeodezike dhe topografike për rrugën Salari - Nivicë, u kryen mbi bazën e kërkesave teknike te përgjithshme dhe specifike te parashikuara nga Investitori. Kompania e projektimit organizoi punën dhe zhvilloi punimet ne baze te përvojës se përfituar ne punimet e mëparshme te kësaj natyre. Para fillimit te punimeve topografike u siguruan materialet e nevojshme hartografike, gjeodezike si dhe pajisjet përkatëse.

Per te siguruar lidhjen gjeodezike unike te te gjithë projekteve nga firma u shfrytëzuan te dhënat gjeodezike te Rrjetit Shtetëror te Triangulacionit dhe nivelimit. Sistemi qe përdor Republika e Shqipërisë është projekzioni Gauss Kryger-it me elipsoid Krasovsky-n.

Rilevimi është bere ne sistemin ndërkombëtar me projeksionin UTM me elipsoid WGS84. Duke patur parasysh zonën dhe ritmin e zhvillimit qe ajo ka, do te ishte me frytdhënëse nëse do te përdorej dhe ky sistem .Me këtë sistem mund te përcaktohet lehtësisht koordinatat gjeodezike për çdo pike mbi sipërfaqen tokësore nëpërmjet përdorimit te GNSS.

Gjate rikonicionit ne terren u vendosen pikat e triangulacionit dhe markat e nivelimit ne pikat e fiksuara ne teren. Pikat e fiksuara ne teren u pajisen me koordinata ne projeksionin UTM elipsoid WGS84 dhe kuota .Para fillimit te rilevimit u krye rikonjicioni i detajuar i terrenit, e cila shërbeu për përcaktimin e sakte te metodikes se punës, mënyrën e ndërtimit te rrjetit gjeodezik, poligonometrise se rilevimit, nivelimit teknik si dhe organizimit te punës.

Fiksimi ne terren i pikave te rilevimit u krye me kunja hekuri me gjatësi 40 - 50 cm te futur toke. Ato janë vendosur ne vende te dukshme dhe te pa lëvizeshe. Identiteti i tyre është fiksuar me boje te kuqe te shkruar ne afërsi te pikës fikse ne vende te dukshme nga rruga ekzistuese ose tereni. Ato janë vendosur ne vende te qëndrueshme, ne ane te rrugës ose afër saj, kane pamje te ndërsjellët, duke siguruar ne këtë mënyrë lidhjen dhe vazhdimësinë e pune nga faza e projektimit te rrugës Salari - Nivicë ne atë te zbatimit te tij.

Çdo pike e fiksuar ne terren ka numrin, koordinatat e saj, si dhe lartësinë te përfshuar nëpërmjet nivelimit gjeometrik e gjeodezik (shih planimetritë e objekteve ku gjenden koordinatat tre dimension ale te pikave mbështetëse). Këto te dhëna sigurojnë gjetjen e tyre me lehtësi ne terren.

Pikat fikse te terrenit janë te përcaktuara ne planimetrinë e veçante te projektit te Rrugës Salari - Nivicë.

Matjet u kryen me GNSS Leica GS14, Stacion Total te tipit Leica TRCP1203+ Robotik, si dhe me nivele, te cilët teknikisht sigurojnë matjet e këndeve e largësive me saktësinë e nevojshme për projektimin e rrugëve.

GNSS Leica GS14



Stacion Total Leica TRCP 1203+



Zhvillimi i Nivelimit Gjeometrik

Per te siguruar kërkesat e larta teknike ne punimet rilevuese, u përcaktua qe saktësia altimetrike e punimeve topografike te jete e larte dhe për këtë qellim u zhvillua nivelim gjeometrik për pikat e poligonometrise ne te gjithë sektorët e rrugës.

Nivelimi gjeometrik u krye me nivelet dixhitale Leica Sprinter 250, me metodën e nivelim teknik te dyfishte, duke matur çdo disnivell dy here, me dy vendoje instrumenti. Diferenca midis dy disniveleve te përfshuar ne çdo stacion nuk u lejua me tepër se 3 mm.

Rilevimi i rrugës Salari - Nivicë

Duke u mbështetur ne pikat e poligonometrise dhe te nivelim gjeometrik u zhvillua rrjeti i matjeve topografike te Rrugës Salari – Nivicë.

Është rilevuar rruga ekzistues, kanale, puseta, platforme betoni, shtylla elektrike, bunkerë, tombino, ure, ndërtesa, mure, gardhe, objekte te ndryshëm, rruge dytësore etj. Objektet e pare ne teren janë hedhur ne relief te gjithë. Punimet topogjeodezike te kryera janë mbështetur ne shkallen e plete te përgatitjes profesionale, ne përdorimin e teknologjive bashkëkohore për matjet fushore dhe përpunimin kompjuterik te te dhënavë, për te plotësuar kërkesat teknike te parashtruara nga projektuesi. Çdo pike e marre ne teren ka koordinata tre dimensionale, te paraqitura ne projekt.

Përpunimi i materialit topografik ne zyre është bere me programin LGO (Leica Geo Office), Autodesk Civil 3D, Autodesk Land Development nga ku është përfshuar rilevimi i plete i Rrugës Salari – Nivicë. Ky relief shërbeu për hartimin e projektit te zbatimit me saktësinë dhe cilësinë e kërkuar ne termat e referencës nga investitori.

Ne materialin grafik te projektit jepet planimetria e stacioneve te vendosura dhe tabela e koordinatave te pikave te vendosura ne terren.

 *Pershkrimi i punës ne terren.*

Per mbështetjen e punimeve fillimisht u krijuan 2 pika te forta te cilat janë te mjaftueshme për kryerjen e pikave detaje te rilevimit. Matja e këtyre pikave u krye me metodën statike duke qëndruar ne pike rreth 40 min. ne intervalin matjeve çdo 1 sek duke siguruar saktësi milimetrike te koordinatave te pikave.

Prania e marrësit baze ne largësi te kufizuar siguron saktësi me te larte te matjeve ne interval kohe me te shkurtër. Kështu për pikat deri ne 1km nga marrësi baze u përdor intervali 10 sek me matje për çdo sekonde ndërsa për largësi me te madhe deri ne 2 km intervali 15 sek. Element kryesor ne matjet “Stop & Go” është mos humbja e lidhjes se fazës bartëse gjë e cila prish zgjidhjen përfundimtare. Kjo mund te realizohet duke shmangur futjen ne zona hije te sinjalit ose zona me reflektim te madh sinjali. Ne këtë rast marrësit Leica GS14 jepin një sinjal i cili lajmëron matësin se duhet te rifilloje matjen nga një pike matur paraprakisht, duke siguruar saktësinë e kërkuar. Në zonat me dendësi bimësie u përdor Stacioni Total pasi kishte peme dhe shpate te larta te cilat nuk lejojnë matjen e pikave detaje me marres GNSS.

 *Pershkrimi fizik i zonës.*

Zona qe u rilevua është një zone me terren malor me shpate te pjerrëta dhe pjesërisht te veshura me bimësi te dendur dhe shkurre. Rruga ishte e aksidental gjate gjithë aksit te saj. Kanalet anësore ne pjesën me te madhe te rrugës janë te mbushur me dhera te rene nga skarpatet, mungonin tombinot dhe urat te cilat janë te domosdoshme gjate gjithë segmentit qe është rilevuar, në këtë aks.

Punoi

Skender Cela
Digitally signed
by Skender Cela
Date:
2020.08.12
10:09:52 +02'00'



STUDIMI HIDROLOGJIK DHE HIDROTEKNIK

PROJEKTI: **STUDIM-PROJEKTIM "AKSI SALARI NIVICE"**

FAZA : PROJEKT ZBATIM

TABELA E PERMBAJTJES:

1 HYRJE.....	5
2 VEÇORITË KLIMATIKE	5
2.2 Faktoret Meterologjike.....	5
2.3 Rrezatimi Diellor	5
2.4 Temperatura.....	6
2.5 Lageshtia e ajrit.....	8
2.6 Reshjet atmosferike	9
2.6.1 Reshjet ne Forme shiu	9
2.6.2 Reshjet ne forme Bresheri	12
2.6.3 Reshjet ne forme debore	12
2.6.4 Era	12
3 HIDROLOGJIA.....	14
3.2 Te pergjithshme	14
3.3 Rregjimi Hidrologjik	15
3.3.1 Rrjedhja vjetore	15
3.3.2 Rrjedhja Maksimale.....	17
3.3.3 Rrjedhja e ngurte	22
4 Hidroteknika	23
4.2 Te pergjithshme	23
4.3 Drenazhet gjatesore	25
4.3.1 Percaktimi i prurjes llogaritese	26
4.3.2 Dimensionimi i Kunetes.....	28
4.4 Drenazhet terthore	30
4.4.1 Kapaciteti i prurjes se tombinove	30
4.5 Tombinot	31

4.5.1 TABELA E TOMBINOVE	32
.....	35

LISTA E FIGURAVE

Figura: 2-1 Shperndarja e diteve me diell gjate vitit.....	6
Figura: 2-2 Shperndarja e temperatureve mesatare vjetore.....	7
Figura: 2-3 Mesatarja mujore e lageshtise se ajrit ne %	9
Figura: 2-4 Ecuria brenda vjetore e reshjeve	10
Figura: 2-5 Intensiteti i reshjeve me kohezgjatje te ndryshme perr siguri te ndryshme.....	11
Figura: 2-6 Shperndarja vjetore e reshjeve mm.....	12
Figura: 2-7 Trandafili i Ererave.Vendmatja kreshtes.....	14
Figura: 3-1 Shperndarja brenda vjetore e rrjedhjes ujore prroi Salari	17
Figura: 3-2 Lakorja e varesise se prurjeve per siguri 1% dhe 2% nga Sperfaqja pellgut Vjose	21
Figura: 4-1 Skema e drenazhimit te siperfaqes se trupit te rruges	26

LISTA E TABELAVE

Tabela: 2-2 Shperndarja vjetore e temperatures se ajrit	7
Tabela: 2-3 Shperndarja vjeote e lageshtise se ajrit ne perqindje	9
Tabela: 2-4 Sasia mujore shumevjeçare e reshjeve.....	10
Tabela: 2-5 Ditet me bresher gjate vitit	12
Tabela: 2-6 Rastisja shumevjeqare e shpejtesise se eres sipas drejtimeve ne Tepelene Vlore	13
Tabela: 3-2 Shtresa mesatare e reshjeve per periudhen me te laget te vitit Vjosa.....	18
Tabela: 3-3 Prurjet gjate periudhes me te laget te vitit dhe prurjet me siguri te ndryshme Vjosa	18
Tabela: 3-4 Prurjet gjate periudhes me te laget te vitit Vjosa	19
Tabela: 3-5 Prurjet me te medha te plotave me siguri te ndryshme Vjosa	20
Tabela: 4-1 Koeficientët e Rrjedhjes	24

Tabela: 4-2 Koeficienti i Nderprerjes.....	27
Tabela: 4-3 Llogaritja e tubave te tombinove rrethore	30
Tabela: 4-4 Kapaciteti l tombinove box me priza kontrolli	31

1 HYRJE

Ky studim shërben për të vlerësuar kushtet hidrologjike të zonës ku dotë kalojë rruga, përfshirë këtu dhe çështjet që lidhen me drenazhimin e ujrale të rrugës, të cilat janë trajtuar më gjerësisht më poshtë ne kapitullin hidroteknik.

2 VEÇORITË KLIMATIKE

2.2 Faktoret Meterologjike

Karakteristikat hidrologjike te një rajoni percaktohen ne një shkalle te madhe prej topografise, gjeologjise dhe kryesisht prej klimes se tij. Topografia eshte e rendesishme per shkak te ndikimit te saj mbi reshjet, mbi zhvillimin e ligureve dhe zonave kenetore dhe mbi intensitetin e rrjedhjes. Gjeologjia ndikon gjithashtu mbi topografine dhe gjithashtu jep informacion mbi zonen e ujrale nentokesore ku uji leviz ngadale mbi akuiferin drejt lumenit apo detit. Klima e një zone, që shpjegon kushtet e motit ne kete zone si mesatare gjate një periudhe te gjate kohe, varet nga pozicioni gjeografik i saj ne siperfaqen e tokes. Faktoret meterologjik janë rrezatimi diellor, temperatura, presioni atmasforik, lageshtia dhe era. Rendesa e ketyre qendron ne faktin qe ato ndikojne drejtepersedrejti mbi perseritjen dhe ndryshueshmerise se reshjeve, avullimit dhe traspirimit.

2.3 Rrezatimi Diellor

Rrezatimi diellor eshte burimi kryesor i energjisë, percakton motin dhe klimen. Transmetimi i energjisë drejt tokes ndodh nepermjet rrezatimit, percjellshmerise dhe konveksionit.

Për të dhënat e këtij treguesi përmungesë stacionesh të tjera i jemi referuar vetëm stacionit ne Tirane dhe Durres dhe janë analizuar të dhënat e Atlasit Klimatik të Republikës së Shqipërisë (Tiranë 1988). Në vlerat e këtij treguesi rol të rëndësishëm luan pozicioni topografik, të hapur në drejtim të perëndimit, si dhe konfiguracioni i reliefit. (Referuar Atlasit Klimatik të R. Shqipërisë 1988, për periudhën 1956-1980).

Ne zonen ne studim ditet me te gjata me diell verehen ne korrik dhe jo ne Qershori kur eshte koha me e gjate astronomike.

Oret me diell ne gjate muajve te vitit jane paraqitur ne tabelen e meposhteme.

Stacion.	I	II	III	IV	V	VI	VII	VIII	IX	X	XI	XII	Vjetore
Vlora	131	138	179	220	281	324	370	344	270	218	140	119	2734
Saranda	123	138	164	206	271	308	357	331	246	199	130	110	2583

Tabela: 2-1 Oret me diell gjate muajve te vitit.

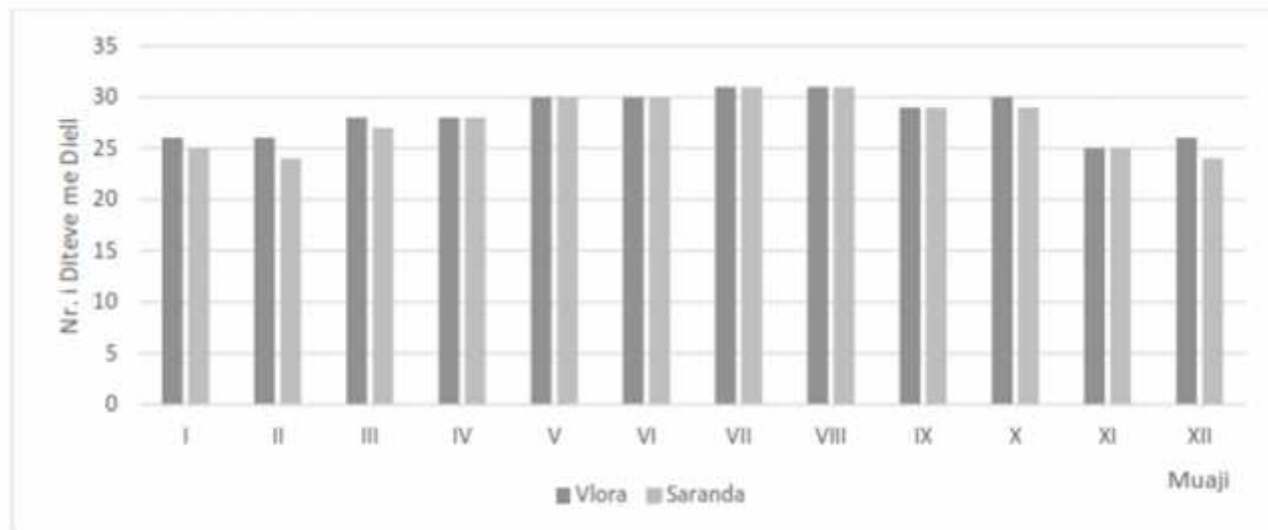


Figura: 2-1 Shperndarja e diteve me diell gjate vitit

2.4 Temperatura

Temperatura percaktohet si mase e nxentesise se ndjeshshme, dhe dhe eshte shume e rendesishme sepse ndikon ne madhesine intesitetin e avullimit, transpirimit, ne borteshkrijen si dhe mbi formen e reshjeve. Vrojtimi i temperatures behet me ane te termometrave normal, maksimal dhe minimal. Temperatura minimale gjate dites ndodh zakonisht para lindjes se diellit ndersa ajo maksimale $\frac{1}{2}$ deri ne 3 ore pasi dielli te kete arritur lartesine maksimale. Termat qe lidhen me temperature dhe qe perdoren shpesh ne hidrologji jane: temperature mesatare ditore, temperature mesatere mujore si dhe temperature mesatare vjetore.

Temperatura peson ndryshime ne hapsire edhe me lartesine, megjithate kushtet mesatare duhet te percaktohen ne nje kohe dhe ne nje vend te caktuar.

Siç e përmendëm dhe më sipër, pozicioni gjeografik dhe format e ndrysheme te reliefit reflektohen ndjeshëm në kushtet klimatike të zonës, dhe sidomos në vlerat e temperaturave të ajrit. Nje perfytyrim te per gjithshem te regjimit termik te nje zone jep shqyrtimi i vlerave mesatare vjetore te temperatures.

Keto jane vlera mesatare te nxjerra nga nje seri e gjate vrojtimesh (30, 40vjet) te pranuara nga Organizata Boterore e Meteorologjise referuar literatures (Remenieras.R, Hidrology de l'Engineur, Erolles, Paris).

Temperatura e ajrit regjistrohet nga termometra te futur ne kuti te pajisur me grila. Ndryshimi i temperaturave gjate dites varion nga minimum i cili matet rreth kohes kur lind dielli ne maximum ne $\frac{1}{2}$ deri ne 3 ore pas zentit kohe pas se ciles aftron mbremja.

Teperatura e dites eshte mesatarja ndermjet temperatures minimale dhe maksimale, dhe zakonisht ne shkalle te vertete te mesatares se matur.

Temperature matet ne grade celsius, Regjimi teorik i zones eshte uniform dhe i bute. Temperatura mesatare vjetore eshte ndermjet 8.5°C dhe 17.5°C grade celsius.

Regjimi termik i zones nuk eshte vetem ne funksion te lertesise mbi nivelin e detit por eshte edhe ne funksion te masve te ajrit qe levizin nga deti ne drejtim te tokes.

Ne tabele jane pasqyruar temperatuart mesatare mujore dhe vjetore te marra nga stacionet meteorologjike te Vlores, dhe te Gusmarit.

Stacion.	I	II	III	IV	V	VI	VII	VIII	IX	X	XI	XII	Vjetore
Vlore	9,2	10,0	11,4	14,4	18,3	22	24,1	24,2	21,6	17,9	14,1	10,8	16,5
Gusmar	8,2	7,5	7,8	9,6	13,2	16,4	20,2	20,4	20,5	13,4	9,8	6,2	12,5

Tabela: 2-2 Shpernarja vjetore e temperatures se ajrit

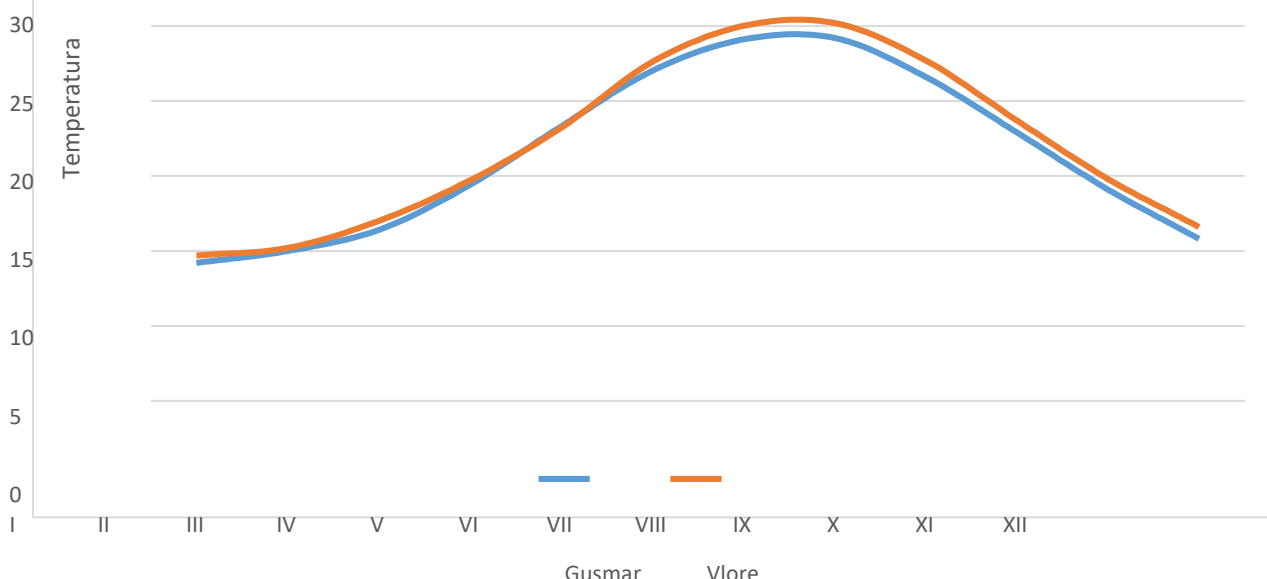


Figura: 2-2 Shperndarja e temperatureve mesatare vjetore.

Sic shihet nga tabela dhe figura me lart muaji me i ftohte eshte Janari ndersa muaji me i ngrohte jane Korriku dhe Gushti te cilet jane me diferenca te vogla ndermjet tyre.

Luhatjet ditore te tempartuarave variojne nga koha e lindjes se diellit deri ne oren 2 30°C . Kur dielli eshte ne zenit (Pika me e larte pas kesaj dielli drejtohet drejt perendimit te tije per te lindu pereseri.

Temperature ditore mesatarje eshte mesatarje e temp. maksimale dhe minimale e cila regjistrohet vazhdimesht.

Maximalia e temperatures se regjistruar eshte 42.2 grade celsius e regjistruar ne satcionin e Vlores me 31 Korrik 1945 37.1°C .

Temperatura minimale e cila ndonjehere bie nen zero vrehet gjate periudhes Tetor- Mars.

Temperatura minimale e cila ndonjehere bie ne zero eshte regjistruar ne Gusmar ne -17.2°C me 01 Janar 1942.

Shperndarja e teperatures per shtresat e siperme te kores setokes (0 deri ne 20 cm thellesi) ne perpjithesi ndjek shperndarjen e e temperaturave te ajrit. Temperaturat e larta verehen gjate periudhes se veres ndersa ato me te ulta gjate periudhes se dimrit.

Sic shihet nga tabela dhe figura me lart muaji me i ftohte eshte Janari ndersa muaji me i ngrrohte jane Korriku dhe Gushti te cilet jane me diferenca te vogla ndermjet tyre.

Luhatjet ditore te tempartuarave variojne nga koha e lindjes se diellit deri ne oren 2 30 Kur dielli eshte ne zenit (Pika me e larte pas kesaj dielli drejtohet drejt perendimit te tije per te lindu pereseri.

Temperature ditore mesatarje eshte mesatarje e temp. maksimale dhe minimale e cila regjistrohet vazhdimesht.

Maximalia e temperatures se regjistruar eshte 42.2 grade celsius e regjistruar ne satcionin e Vlores me 31 Korrik 1945 37.1°C .

Temperatura minimale e cila ndonjehere bie nen zero vrehet gjate periudhes Tetor- Mars.

Temperatura minimale e cila ndonjehere bie ne zero eshte regjistruar ne Gusmar ne -17.2°C me 01 Janar 1942.

Shperndarja e teperatures per shtresat e siperme te kores setokes (0 deri ne 20 cm thellesi) ne perpjithesi ndjek shperndarjen e e temperaturave te ajrit. Temperaturat e larta verehen gjate periudhes se veres ndersa ato me te ulta gjate periudhes se dimrit.

2.5 Lageshtia e ajrit

Avujt e ujit ndodhen ne atmosfere deri ne lartesine 6000m mbi toke. Lageshtia percakton pikerisht sasine

e ketyre avujve ne ajer. Ne nje perzierje gazesh, secili gaz ushtron nje presion te pjesshem te pavarur prej atij te gazeve te tjere. Presioni i ushtruar prej avujve te ujit quhet presion i avujve. Presioni qe ushtrohet

nga avujt e ujit ne nje hapsire te ngopur quhet presion i avujve te ngopur ne nje temperature te dhene. Diferenca ndermjet presionit te avujve te ngopur dhe presionit aktual nje nje temperature te caktuar quhet deficit i ngopjes dhe tregon sasine e avujve te ujit per ta sjelle masen e ajrit ne kushtet e ngopjes.

Raporti mes tensionit te avujve te ujit faktit ne atmosphere dhe tensioni i avujve te ngopur ne te njejten temperature quhet lageshti relative e shprehur ne perqindje.

Per matjen e klageshtise se ajrit perdoret nje instrument qe quhet psikometer i cili perbehet prej 2 termometrash: nje termometer i mbeshtjelle me nje pece te laget, i cili mat temperature e ajrit te lagur dhe nje temometer i zakonshem qe mat temperature e ajrit te thate domethene temperature e zakoshme.

Nisur nga keto te dhena per percaktimin e presionit actual perdoret formula:

$$e = es \cdot 0.00066P(ta-tw)(1 + \frac{tu}{873})$$

- e - presioni aktual i avujve ne mb
- es - presioni i avujve te ngopur ne qe i korrespondon temperatures se ajrit te laget tu
- P - presioni atmosferik ne mb
- ta - temperature e termometrit te thate ne °C
- tw - temperature e termometrit te lagur ne °C

Muajli	I	II	III	IV	V	VI	VII	VIII	IX	X	XI	XII	Mes.
Vlore	67	65	66	67	67	64	62	62	67	68	69	68	66
Radhime	66	66	64	64	67	66	64	62	64	63	64	64	65

Tabela: 2-3 Shperndarja vjeote e lageshtise se ajrit ne perqindje

2.6 Reshjet atmosferike

2.6.1 Reshjet ne Forme shiu

Burimi reshjeve te shiut eshte gjithmone deti. Avullimi behet nga oqeanet dhe avujt e ujit thithen nga rrymat e ajrit qe levizin mbi siperfaqen e detit. Ajri i ngarkuar me lageshti mban avujt e ujit te thithur deri

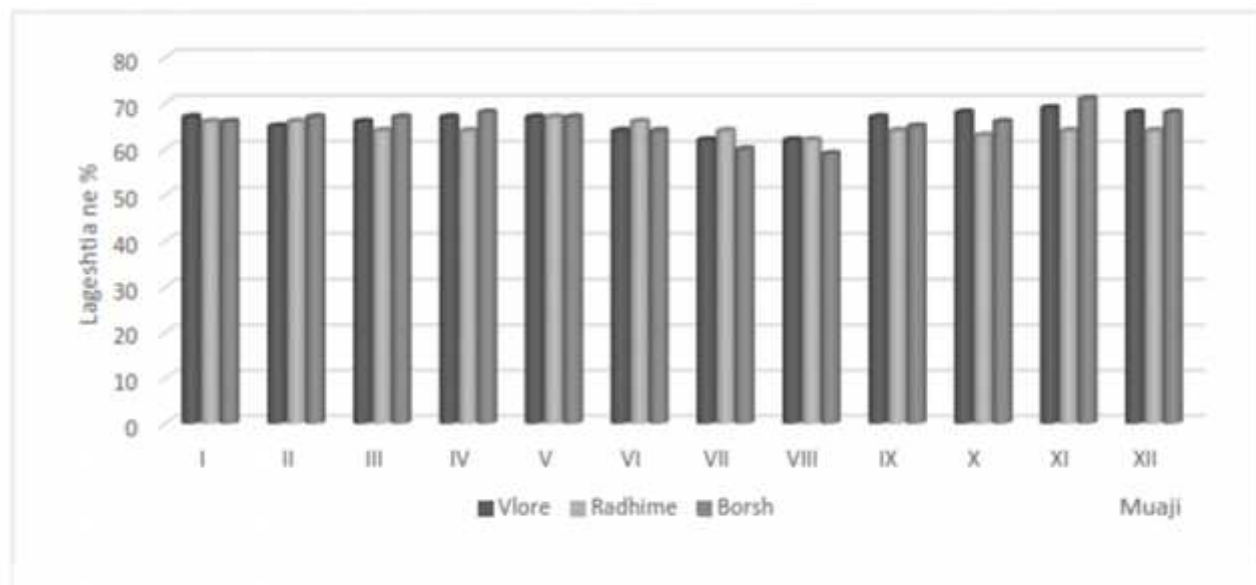


Figura: 2-3 Mesatarja mujore e lageshtise se ajrit ne %

ne piken e veses. Kur keta avuj ndeshen ne tepratura te me te ula kemi reshjet e shiut. E kur keto temperature jane mjaftueshmerisht te ulta reshjet jane ne formen e bores. Reshjet kryesisht jane ne formen e shiut, por kemi edhe ne forme bresheri, bore me shi dhe vetem bore. Ne Shqiperi te dhenat e reshjeve rejstrihen dhe ruhen nga Instituti Meteorologjik i Ujit, energjise dhe Mjedisit.

Reshjet jane parameter i permbytjeve, ne Shqiperi, ne menyre te vecante reshjet e shiut, pasi ato te bores nuk ka ndonje ndikim ne fenomenin e permbytjeve, por ndikojen ne perurejt e lumejve ne zona te caktuara

Ne pellgje te medha sasia, intensiteti dhe shperndarja e reshjeve eshte faktor i rendesishem dhe determinues ne fenomenine permbytjeve por intensiteti i tyre eshte faktor determinues.

Relievi i ndryshueshem dhe distance nga deti ndikojne ne sasine e reshjeve ne nje zone nga nje tjeter. Rrjedhat e siperme te lumejve ne Shqiperi karakterizohet nga reshje me te pakta.

Konkretilisht sasia mesatare e reshjeve ne rajonin e i Vlores eshte 961mm, Kuc dhe Kurvelesh i siper 2413 mm,

Muaji	I	II	III	IV	V	VI	VII	VIII	IX	X	XI	XII	Mes.
Vlora	142	110	75	56	47	27	13	24	55	111	161	140	961

Tabela: 2-4 Sasia mujore shumevjeçare e reshjeve

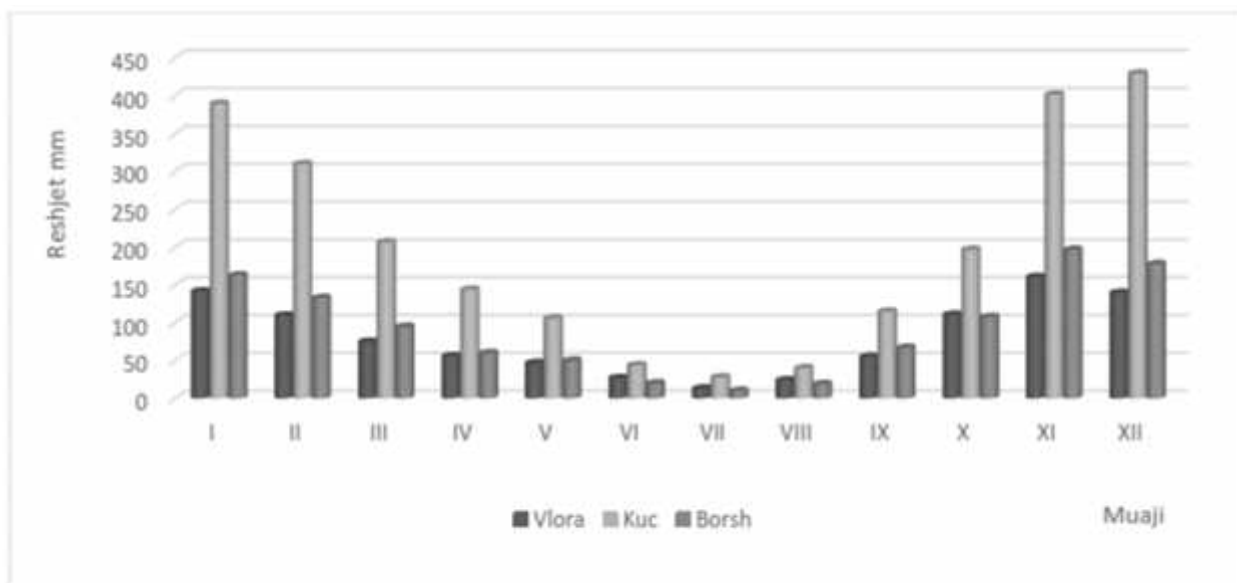


Figura: 2-4 Ecuria brenda vjetore e reshjeve

Sic shihet nga figura shperndarje e reshjeve gjate vitit eshte ne formene "U" qe i perket regjimit medhetar te reshjeve. Sasia me e madhe e tyre eshte gjate stines se ftohte Nentor – Dhjetor, ndersa sasia me e vogel ne stinen e ngrohte, Korrik.

Ne kete zone dallohet nje peruidhe e dyte me reshje maximale gjate muajit Prill dhe Maj Kjo dukuri tregon fillimin e ndikimite te influences se terguesve te kilmes kontinentale ne kete zone.

Po te studiojme shperndarjen brendavjetore te reshjeve ne kete zone verejme qe kjo shperndarje eshte e pabarabarte ne periudha te ndryshme te viti. Ne tabelen e meposhteme jepen sasite per çdo muaj te reshjeve qe bien ne kete zone. Keto vlera jane rezultat i perpunimit te serive shumevjeçare te reshjeve (30,40 vjet), seri vrojtimesh e pranuar nga Organizata Boterore e Meteorologjise per kryerjen e studimeve klimatike te nje rajoni te dhene.

Një tregues i rëndeshishëm dhe i dobishëm për qëllime hidroteknike dhe urbanistike është sasia e reshjeve maksimale 24 orëshe dhe reshjet maksimale per intervale te tjere kohor per periudha te ndryshme perseritje.

Keto vlera jane marre nga: **Fletorja Zyrtare E Republikës Së Shqipërisë Viti: 2015 – Numri: 135**

“Vendim i Këshillit të Ministrave nr. 628, datë 15.7.2015:

Për miratimin e Rregullave Teknike të Projektimit dhe Ndërtimit të Rrugëve”

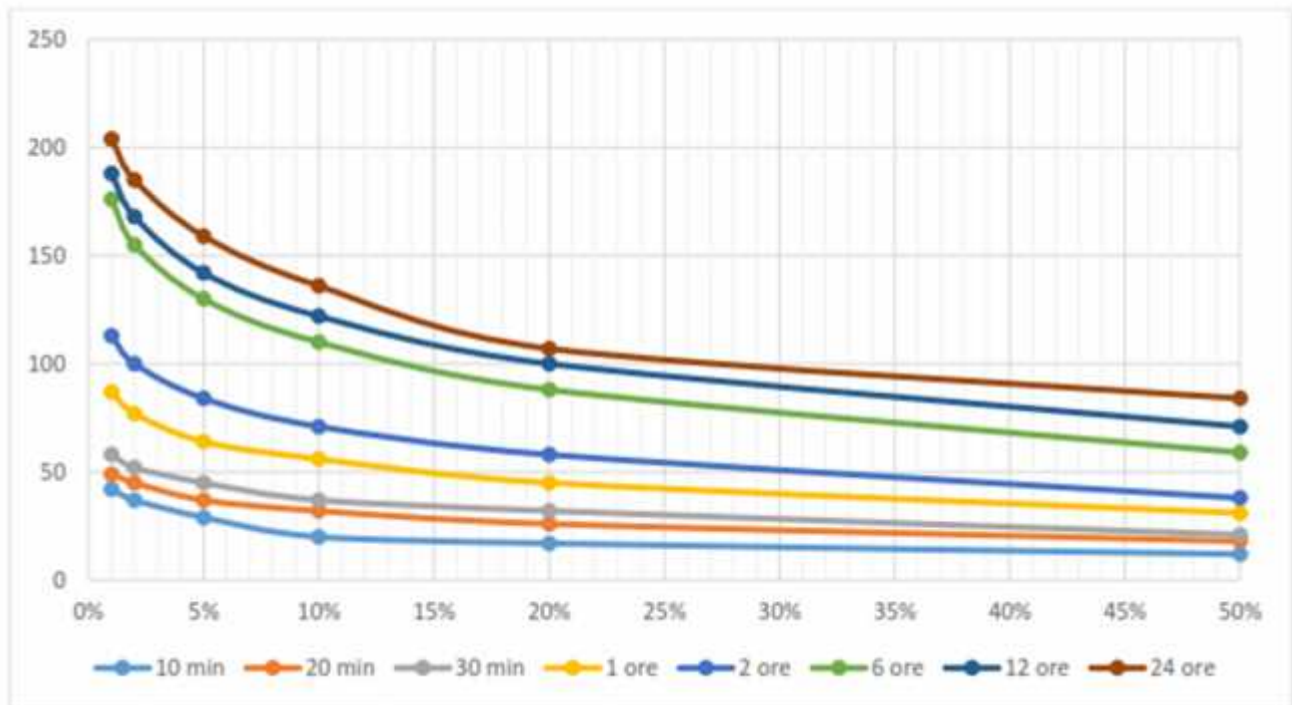


Figura: 2-5 Intensiteti i reshjeve me kohezgjatje te ndryshme perr siguri te ndryshme. VLORA A

Konkretisht (per stacionin ne Vlora Aeroport), brenda 24 oreve pritet te bien 204 mm shi per sigurine 1% (periudha e perseritjes 1 here ne 100 vjet), ndersa per sigurine 10% (periudha e perseritjes 1 here ne 10 vjet) pritet te bien 136 mm.

Reshjet intensive në sasi të mëdha për intervalle të ndryshme kohëzgjatje dhe sidomos për kohëzgjatjet e mëdha, vrojtohen situata të caktuara sinoptike dhe sidomos ku ciklonet dhe frontet atmosferike janë stacionar. Ato gjithashtu janë të lidhura me llojin ereve dhe të ndikimeve lokale.

2.6.2 Reshjet ne forme Bresheri

Ditet me bresher te regjistruara ne satcionin e Vlores paraqiten ne tabelen me poshte.

Muaji	I	II	III	IV	V	VI		VII	VII	IX	X	XI	XII	Viti
Vlora	1,3	1,23	0,8	0,5	0,3	0,1		-	0,1	0,1	0,2	0,06	1.0	6,2

Tabela: 2-5 Ditet me bresher gjate vitit.

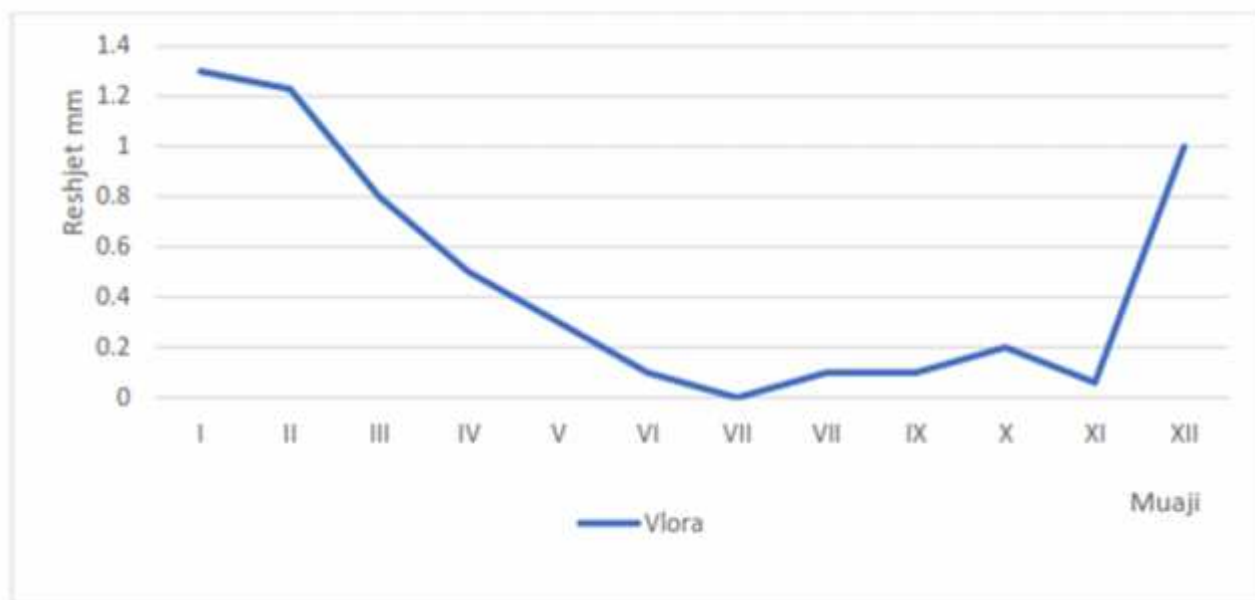


Figura: 2-6 Shperndarja vjetore e reshjeve mm

2.6.3 Reshjet ne forme debore

Per shkak te kuotes shume te larte rreth 1000ml mbi nivelin e detit ka kushte per krijimine shtresave te bores. Periudhe me e mundeshme per reshje bore eshte periudha Janar – Shkurt - Mars.

Shtresa e bores e vrejtur ne Salari dhe Kurveleshin e siperm ka qene 119cm.

2.6.4 Era

Era percaktohet si levizje horizontale e ajrit, ndersa levizja vertikale quhet rryme ajri. Karakteristikat kryesore te eres jane drejtimi dhe shpejtesia.

Shpejtesia e eres matet me anemometer ne lartesi te ndryshme dhe mund te shprehet ne m/s, m/ore, km/s etj.

Shpejtesia e eres matet me anemometer ne lartesi te ndryshme dhe mund te shprehet ne m/s, m/ore, km/s etj. Per shkak te ferkimit me siperfaqen e tokes mbi te cilen fryshtohet shpejtesia e saj peson nje zvogelim ne lidhje me lartesine.

Duke u bazuar ne ne matje te shpejteise se eres ne lartesi te ndryshme eshte percaktuar nje lidhje empirike qe jep lidhjen ndermjet shpejtesise se eres dhe lartesise:

$$(u/u_0) = (z/z_0)^{0.15}$$

u (0) e s h t e shpejtesia e eres ne anemometer ne lartesine z0

u eshte shpejtesia e eres ne lartesine z

Nisur nga te dhenat e Institutit Hidrometeorologjik konkretisht ne Literaturen (Klima e Shqiperise Era tab.3) marrim keto te dhena sa i perket rastisjeve shumevjeqare te shpejtesise se eres sipas ketyre se eres sipas ketyre drejtimeve:

Drejtimi i eres		V	VL	L	JL	J	JP	P	VP
V Mesatare Eres m/s	BORSHI	2.6	3.7	3.5	3.9	3.1	2.8	2.1	3.4
Rastesia		5.9	4.6	4.2	4.5	5.9	5.1	4.6	9.5
V Mesatare Eres m/s	VLORA	3.3	2.9	2.9	3.7	5.8	5.4	3.8	4.7
Rastesia		3.1	5.9	15.9	3.4	7.2	5.2	6.6	10.2

Tabela: 2-6 Rastisja shumevjeqare e shpejtesise se eres sipas drejtimeve ne Borsh dhe Vlore

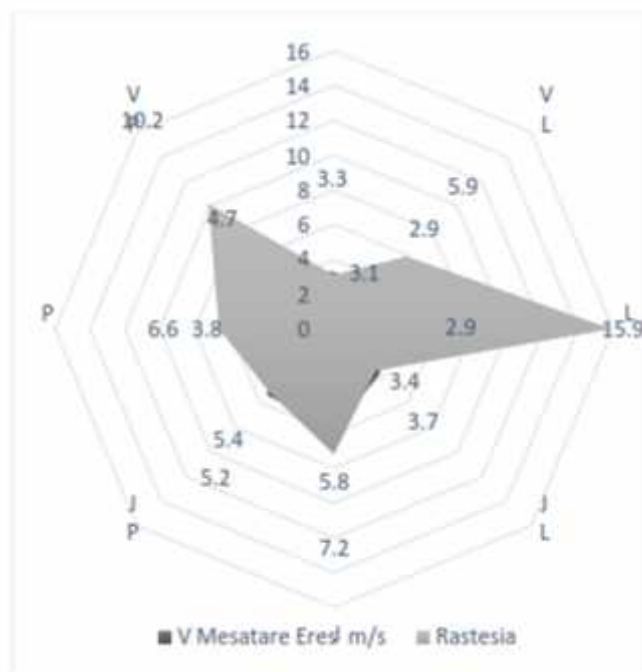


Figura: 2-7 Trandafili i Ererave.Vendmatja Vlore

3 HIDROLOGJIA

3.2 Te per gjithshme

Projekti ne studim kalon permes disa baseneve te lumenjve dhe perrenjve. Kryesisht aksi ne studim shtrihet per gjat lugines lumi Vjosa. Ne kete studim do trajtojme rrjedhen dhe plotat ne lumenjt Vjosa dhe Shushica.

Per qellimin e ketije studimi me poshte do trajtojme Rrjedhjen Vjetore, Rrjedhjen Maksimale (plotat me siguri 1% dhe 2% siguri) dhe Rrjedhjen e ngurte per secilen rrjedhe.

Lumi Vjosa

Lumi Vjosa, siç dihet është lumi më i madh i jugut të Shqipërisë dhe i dyti (pas lumit Drin) në territorin administrative të Republikës së Shqipërisë. Sipërfaqja e pellgut ujëmbledhës të lumi Vjosë është 6,700 km², nga të cilat 2120 km² ndodhen në territorin e Greqisë.

Vjosa shkarkon në detin Adriatik një mesatare uji prej 204 m³/s

3.3 Rregjimi Hidrologjik

3.3.1 Rrjedhja vjetore

Rrjedhja vjetore e ujit eshte një nga elementet me te rendesishem te regjimit hidrologjik dhe paraqet ne vetvete ujshmerine e lumi. Vlerimi i saj dhe degeve kryesore te tij eshte kryer duke u mbeshtetur ne prurjet ditore qe jane nxjerre nga lakoret e prurjeve te formes $q=f(H)$. Regjimi i Lumin percaktohet nga shkalle e bashkveprimit te faktoreve klimaterik me veqorite e tjera fiziko-gjeografike te territorit, shfaqet kryesish ne shkallen e veprimit te tyre, ne regjimin e reshjeve dhe te avullimit.

Moduli i rrjedhjes vjetore

Moduli i rrjedhjes vjetore eshte një element shume i rendesishem qe tregon ujshmerine e rrjetit hidrografik te lumi. Nga studimi i varesise se modulit te rrjedhjes dhe siperfaqes se pellgut eshte konkluduar se moduli i rrjedhjes ujore zvogelohet me rritjen e siperfaqes se pellgut.

Ndryshueshmeria e rrjedhjes ujore

. Ndryshueshmeria e rrjedhes ujore eshte studiuar nepermjet serise se prurjeve mesatare vjetore per te gjithe periudhen me disa te dhena hodrometrike. Per serine e prurjeve mesatare te venmatjeve hidrometrike jane vleresuar edhe parametrat statistikor te saj, prurja mesatare e serise (Qo), keoficenti i ndryshueshmerise (Cv) dhe keoficenti i asimtrise (Cs).

Shperndarja brenda vitit e rrjedhjes ujore.

Shperndarja brenda vtitit e rrjedhjes ujore karakterizohet kryesisht nga shperndarja e reshjeve si dhe nga faktoret e siperfaqes se tokes.

3.3.1.1 Lumi Vjosë

Ne pellgun e Vjosës pjesa me e madhe e reshjeve bie ne forme shirash. Ne pjese te larta mund te bjere bore duke ndikuar keshtu ne shtimin e rezervave nentokesore qe ushqejne rrjedhen siperfaquesore, sidomos ne periudhen pa reshje.

Ndryshueshmeria e rrjedhjes ujore

Raporti i akseve te lumit te vjosës mes keoficenteve Cs/Cv eshte 4 por nuk ndikon ne aksin Salari Nivice pasi pika e fillimit do te jete ne Fshatin Salari qe eshte ne kuote mbi 600 m nga shtrati I Vjosës

Shperndarja brenda vtitit e rrjedhjes ujore.

Si muaj me te thate ne aksin kryesor te Vjosës paraqitet gushti dhe shtatori perkatesisht nga 2 deri ne 2.7

% e rrjedhjes ujore vjetore ne akset kryesore te vjosës dhe nga 1.3 deri ne 2% ne deget e saj, ndersa muajte me te laget te vtitit jane Janari, Shkurti dhe Marsi me 10.7 deri ne 18.5 % e rrjedhjes vjetore. Ndersa ne periudhen me te laget te vtitit (Tetor-Maj) kalon 86 deri ne 93% e rrjedhjes ujore, ne periudhen e thate (Korrik-Shtator) eshte 4 deri ne 8% te saj.

Ndryshueshmeria e rrjedhjes ujore

Raporti i akseve te lumit te Shushices mes keoficenteve Cs/Cv eshte 4.

Shperndarja brenda vtitit e rrjedhjes ujore.

Eshte dhene shperndarja e rrjedhjes ujore brenda vtitit (periudha faktike)

Nga tabela vihet re qe stinet me me shume uje jane dimri dhe vjeshta nga ku pellgu furnizon me shume lumenjte.

Vendmatja	I	II	III	IV	V	VI	VII	VIII	IX	X	XI	XII	M.M
Prroi Salari Vjose	25.3	28.7	22	15.7	11.5	8.7	0.1	0.1	8.48	20.2	22.4	23.8	14.34

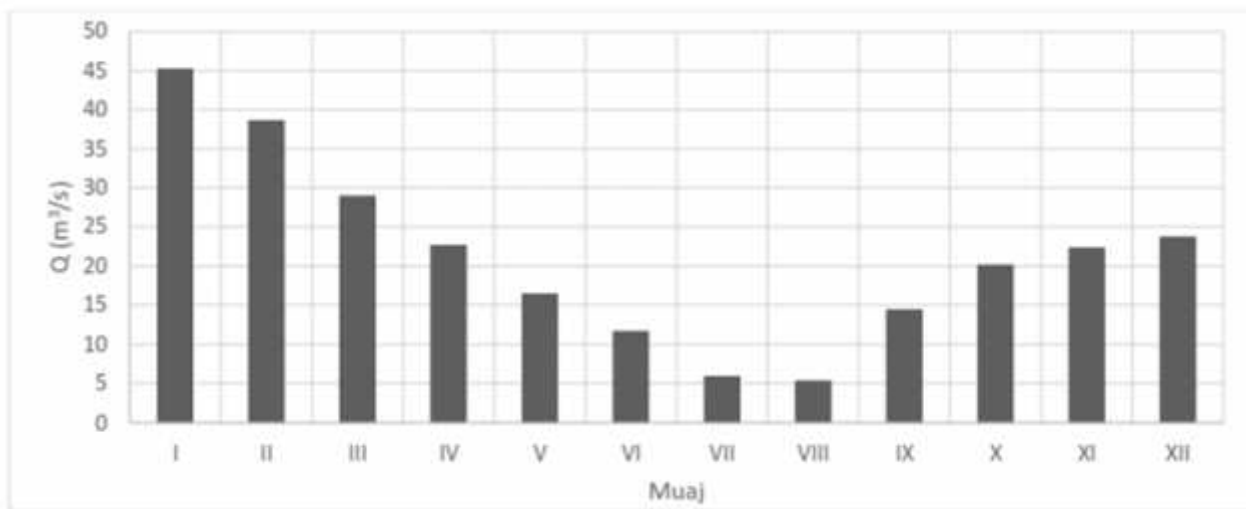


Figura: 3-1 Shperndarja brenda vjetore e rrjedhjes ujore Lugina e Prroit te Salarise

3.3.2 Rrjedhja Maksimale

Regjimi i rrjedhjes maksimale vleresohet ne periudhen e lagesht te vitit dhe ne rastin e prurjes se plotave. Prurja e plotave me siguri 1% ose periudhe perserite 1 here ne 100 vjet eshte elementi kryesor ne llogaritjen e lartesise se ures.

Prurjet gjate periudhes me te laget te vitit:

Ne per gjithesi kjo periudhe perfshin muajt nga tetori deri ne maj duke u karakterizuar nga sasira te medha uji dhe qe e pasurojne rrjetin hidrografik. Perveç kesaj kemi edhe një periudhe te thatë me karakteristikat e veta hidrologjike e konkretizuar me sasira me te vogla uji.

Regjimi i rrjedhjes se periudhes me te laget te vitit ne rrjetin hidrologjik te kesaj zone eshte percaktuar nepermjet vleresimit te karakteristikave te tij, te cilat jane: reshjet mesatare shumevjeçare dhe ndryshueshmeria e saj gjate periudhes shumevjeçare, nepermjet vleresimit te koeficenteve te ndryshueshmerise dhe asimetrise.

Prurjet me te medha te plotave:

Plotat zakonisht shkaktohen nga renia e shirave, prandaj ata verehen nga muajt nentor deri ne mars, ku takohen edhe shirat me te shumte. Shkrirja e bores ndikon pak ne rritjen e plotave.

3.3.2.1 Lumi Vjosa

Prurjet gjate periudhes me te laget te vitit:

Vendmatje	F(km ²)	H(metra)	Xo,L (mm)	% Ndaj Shtr. Vjet
VJOSA-Mifol	6680	858	1340	88.1

Tabela: 3-2 Shtresa mesatare e reshjeve per periudhen me te laget te vitit Vjosa.

Per percaktimin e prurjes mesatare te periudhes me te laget te vitit u shfrytezuan te dhenat hidrometrike te shfrytezuara gjate viteve 1948-1975.

Ne kete pellg qe kemi marre ne studim prurja mesatare shumevjeçare e periudhes ne te laget te vitit ndryshon nga 120 m³/sek ne Dragot deri ne 226 m³/sek ne Pocem. Keoficenti i ndryshueshmerise se prurjeve se periudhes se laget ndryshon nga 0.28 ne Dragoti deri ne 0.35 ne Pocem ndersa keoficenti i asimetrisë, i percaktuar sipas peputhjes me te mire te pikave empirike me ato teorike, u mor Cs=4Cv me vlera 1.12 deri ne 1.14.

Sipas ketyre u percaktuan edhe prurjet me perseritjet kryesore te periudhes se laget te vitit, te cilat jane paraqitur ne tabele.

Vendmatja	F km ²)	Qo,L (m ³ /s)	Cv	Cs/Cv	Cs	1	2	5	10	20	50
VJOSA-Pocem	5570	226	0.35	4	1.4	483	441	380	332	282	208
VJOSA-Ura e Leklit	1300	59.1	0.42	4	1.68	141	127	108	92.2	76.2	53.2

Tabela: 3-3 Prurjet gjate periudhes me te laget te vitit dhe prurjet me siguri te ndryshme Vjosa

Ku:

- F: eshte siperfaqja e Pelliut ujembledhes
- Qo, L: Prurja mesatare shumevjeçare per periudhen me te laget te vitit
- Cv: Keoficenti i ndryshueshmerise
- Cs:Keoficenti i asimtrise

Ne shperndarjen e prurjeve gjate periudhes me te laget te vitiit gjate pellgut te Vjosës vihet re nje lidhe e mire e tyre ne siperfaqene e pellgut. Kam marre vendmatje me shume ne menyre qe korroli i tejet me i sakte.

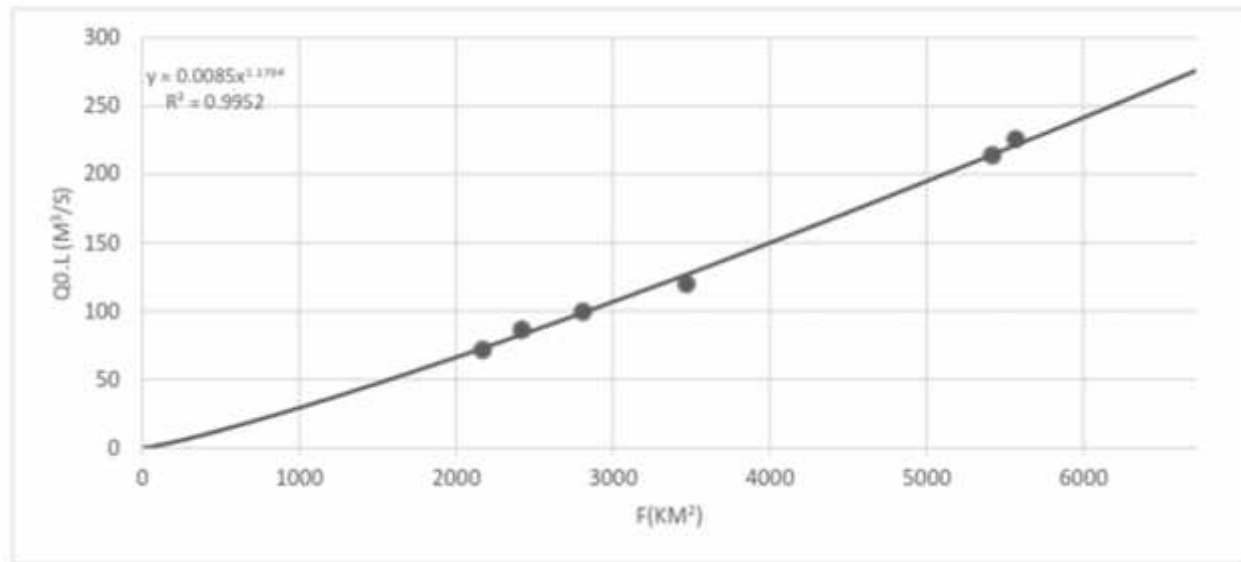
Vendmatje	Biovishte	Petran	Permet	Dragot	Dorze	Pocem
F(km ²)	2170	2420	2810	3470	5420	5570
Q _{0,L}	71.6	86.4	99.6	120	214	226

Tabela: 3-4 Prurjet gjate periudhes me te laget te vitiit Vjosë

Kjo varesi pasi jane hedhur pikat ne grafik eshte shprehur me ane te barazimit

$$Q_0, L = 0.0085 \cdot F^{1.1794}$$

Kjo varesi mund te perdoret per llogaritjen e prurjeve te periudhes me te laget per akse te ndryshme te trungut te Vjosës me siperfaqe nga 2000km² deri ne 6720km²



Prurjet me te medha te plotave:

Gjate trajtimin 24 ore te shtreses me te madhe te reshjeve per 34 vendmatje meteorologjike ne pellgun e Vjosës dhe ne zonat perreth, rezulton se kjo shtrese, per perseritjen 1%, lekundet nga 94.8mm ne Fratar deri ne 392mm, ne Gjirokaster. Per sa i perket shtreses maksimale orare te shirave ajo ndryshon nga 50.3mm ne Permet deri ne 89.1mm ne Gjirokaster.

Per vleresimin e prurjeve me te medha te plotave jane shfrytezuar serite me te medha te vrojtuara gjate periudhes 1948-1975

VENDMATJA	F(Km ²)	Qm(m ³ /sek)	Qp (m ³ /sek) SIPAS SIGURIVE NE PERQINDJE						
			0.1	1	2	5	10	20	50
Biovishte	2170	564	2277	1658	1465	1215	1022	764	556
Petran	2420	680	2745	1999	1766	1464	1232	921	671
Permet	2810	734	2963	2157	1906	1581	1330	994	724
Kelcyre	3060	736	2971	2163	1912	1585	1333	997	726
Dragot	3470	900	3634	2645	2338	1938	1630	1219	888
Tepelene	4812	1521	6140	4470	3950	3275	2755	2060	1500
Dorze	5420	1800	7267	5290	4675	3876	3261	2438	1775
Pocem	5570	1820	7348	5349	4727	3919	3297	2465	1795
Mifol	6680	2530	10214	7436	6571	5448	4583	3427	2495

Tabela: 3-5 Prurjet me te medha te plotave me siguri te ndryshme. Vjosa

Plotat me te medha ne Vjose jane vene re ne vitet 1937,1962-1963, dhe 1970-1971 ku kjo e fundit ka qene plota me e larte ne Vjose. Ne rrjetin e degeve te Vjosës plotat formohen nga shirat me karakter rrebeshi.

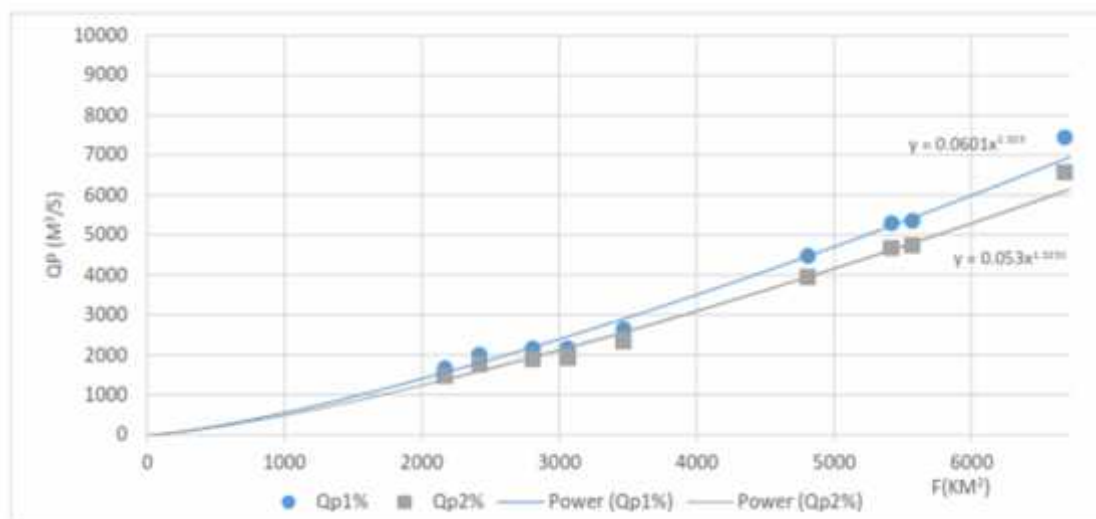


Figura: 3-2 Lakorja e varesise se prurjeve per siguri 1% dhe 2% nga Sperfaqja pellgut Vjose

Vihet re nje lidhe e mire e plotave ne siperfaqene e pellgut. Kam marre vendmatje me shume ne menyre qe korrolimi te jete me i sakte.

Keto varesi pasi jane hedhur pikat ne grafik eshte shprehur me ane te barazimit

- Per P1% $Q_p=0.0601 \times 1.3$
- Per P2% $Q_p=0.053 \times 1.32$

Kjo varesi mund te perdoret per llogaritjen e plotave per akse te ndryshme te trungut te Vjoses me siperfaqe nga 2000km^2 deri ne 6720km^2

3.3.3 Rrjedhja e ngurte

Per vleresimin e rrjedhjes ujore te ngurte ne pellgun e Vjoses jane shfrytezuar te dhenat e turbullires dhe pjeseve te ngurta te vrojtuara ne vendmatjet hidrometrike qe kane funksionuar gjate periudhes 1953-1975.

3.3.3.1 Rrjedhja e ngurte vjetore

Prurjet e ngurta e aluvioneve pezull ne pellgun e Vjoses ndryshojne nga 36.4 kg/sek ne Vjosa-Peten deri ne 190 kg/sek ne Vjosa-Pocem, ndersa ne Drino-Ura e Leklit eshte 20.2kg/sek.

Nje tregues Shume i mire eshte gjithashtu edhe turbullira e Lumit.Ne per gjithesi Lumi i Vjoses ne krahasim me lumenjte e tjere nuk eshte nje lume shume i turbullt.ne Permet turbullira me e madhe e vrojtuar me 20.09.1975 rezulton 47600 gr/m^3 , ndersa ne Dorze vlera me e larte e vrojtuar ne daten 16.05.1968 arrin 58400 gr/m^3 .Turbullira me e vogel eshte 10 gr/m^3 .

3.3.3.2 Shpernarja brenda vitit e rrjedhjes se ngurte

Karakteristika e shperndarjes brenda vitit te rrjedhjes se ngurte eshte se kushtezohet nga ndiki i faktoreve te ndryshem fiziko-gjeografike, sidomos nga intensiteti i rrjedhjes siperfaquesore si dhe nga perberja e shtreses siperfaquesore dhe veshja bimore e pellgut ujembledhes. Si rezultat i shirave qe bien muajte e pare te vjeshtes (tetor-nentor) rrjedhja e ngurte fillon edhe rritet dhe kjo rritje vazhdon edhe ne dhjetor duke ndjekur rritjene e prurjes se ujit. Pastaj ne muajte e tjere te dimrit rrjedhja e ngurte nuk ndjek rrjedhjen e ujit. Kjoper faktin se kur shirat e vjeshtes bin qe i bie fill pas nje periudhe te thatet atehere te cilat bien me rrembim, gerryejne dhe shpelajne token ne shtrese me te madhe te tokes kjo ben qe ne muajt me vone kjo rrjedhje te jete me e vogel pasi pjesa me e madhe e tokes eshte e shperlare edhe pse rrjedhja ujore mund te te jete me e madhe.

4 Hidroteknika

4.2 Te per gjithshme

Per tombino box te medha eshte zgjedhur nje periudhe projektimi prej 50 vjetesh. Jane llogaritur ura te reja duke perdonur projektin 100 vjecar te largimit te ujrate te shiut Elementet qe do te trajtohen ne kete kapitull jane si me poshte:

1. Drenazhimet gjatesore
 - 1.1. Llogaritja hidraulike e kanaleve te hapur anesore
 - 1.2. Llogaritja hidraulike e kunetave dhe tubacioneve drenazhues te trupit te rruges
2. Drenaxhimi terthor
 - 2.1. Llogaritja hidraulike e Tombinove
 - 2.2. Llogaritja hidraulike e Urave

Percaktimi i prurjes llogaritese te tombinove, kanaleve, kunetave dhe tubacioneve do te behet me Metoden Racionale. Metoda Racionale llogarit, në çfarëdo lloj vendndodhjeje të një baseni ujëmbledhës, vlerën maksimale të prurjes, koeficentin dhe intensitetin mesatar të rreshjeve të shiut për një kohëzgjatje të barabartë me kohën e përqëndrimit (koha që i duhet ujit për të rrjedhur nga pika më e largët e basenit në vendndodhjen që po analizojmë), si funksion të zonës së kullimit.

Formula racionale është e shprehur si më poshtë:

$$Q = \frac{C \cdot C_f \cdot I \cdot A}{k}$$

- Q = vlera maksimale e prurjes, m^3/s ;
- C = koeficenti i rrjedhjes që përfaqëson një raport të rrjedhjes e të rreshjeve të shiut;
- C_f = Faktori i frekuences (Rajti-Meklaflini, 1969).
- I = intensiteti mesatar i rreshjeve të shiut për një kohëzgjatje të barabartë me kohën e përqëndrimit, për një periudhë të përzgjedhur kthimi, mm/h ;
- A = sipërfaqja e kullimit që kontribuon në vendndodhjen e projektuar, ha .
- k = Koeficienti i konvertimit te njesive. $k=360$ per sistemin SI (metrik)

LLOJI I ZONËS SË KULLIMIT	KOEFICIENTI I RRJDHJES, C	LLOJI I ZONËS SË KULLIMIT	KOEFICIENTI I RRJDHJES, C	LLOJI I ZONËS SË KULLIMIT	KOEFICIENTI I RRJDHJES, C
BIZNES		INDUSTRIALE		LËNDINA	
Zona në qendër	0.70 - 0.95	Zona të lehta	0.50 - 0.80	Tokë ranore, e sheshtë, 2%	0.05 - 0.10
Zona fqinje	0.50 - 0.70	Zona të rënda	0.60 - 0.90	Tokë ranore, mes, 2 - 7%	0.10 - 0.15
REZIDENCIALE		Parqe, varreza	0.10 - 0.25	Tokë ranore, rrëpirtë, 7%	0.15 - 0.20
Zona me familje teke	0.30 - 0.50	Parqe lojtrash	0.20 - 0.40	Tokë e rëndë, e sheshtë, 2%	0.13 - 0.17
Multi-njësi, të veçuara	0.40 - 0.60	Zona hekurudhore	0.20 - 0.40	Tokë e rëndë, mesatare 2 - 7%	0.18 - 0.22
Multi-njësi, të ngjitura	0.60 - 0.75	Zona të parregulluara	0.10 - 0.30	Tokë e rëndë, e rrëpirtë, 7%	0.25 - 0.35
Periferike	0.25 - 0.40	RRUGË			
Zona me apartamente banimi	0.50 - 0.70	Të asfaltuara	0.70 - 0.95	Tulle	0.70 - 0.85
		Beton	0.80 - 0.95	Rrugë mak, dhe këmbës.	0.75 - 0.85
				Shtresë e sipërme	0.75 - 0.95
Vlerat më të larta zakonisht janë të përshtatshme për zona më të rrëpirta dhe të pjerrëta dhe me periudha kthimi më të gjata, sepse filtrimi dhe të tjera humbje kanë një efekt proporcionalisht më të vogël mbi rrjedhjen në këto raste.					

Tabela: 4-1 Koeficientët e Rrjedhjes

Intervali i Përsëritjes (vjet)	<25	25	50	100
Cf - Faktori i frekuences	1.0	1.1	1.2	1.25

Intesitetet e reshjeve brenda metodes racionale (**Rational Method**) meren direkt nga kurba IDF te pasqyruara ne figura 2.5 dhe 2.6

$$I = \frac{P \cdot 60}{T_c}$$

- I eshte intensiteti I shiut ne mm / ore,
- Tc –kohezgjatja ne min
- P – Thellesia e rreshjeve per kohezgjatjen Tc dhe sigurine e paracaktuar.

Koha e Perqendrimit' per cdo kapje mund te llogaritet nga një numer formulash. Ne kete studim eshte perdonur formula e Kirpich per drenazhimet terthore dhe ekuacionin e Maningut per drenazhime gjatesore.

Koha e perqendrimit (Tc) ne min e llogaritur duke perdonur ekuacionin e Kirpich :

$$T_c = K \cdot \frac{L^{0.77}}{S^{0.385}}$$

Ku:

- T_c = Kohen e perqendrimit (min),
- K = koeficient i rregullimit $K = 0.0195$
- L = gjatësia e rrymës për segmentin i, m
- S = Pjerresia (m/km).

Koha e perqendrimit (Tc) ne min e llogaritur duke perdonur ekuacionin e Maningut :

$$T_c = \frac{L}{60V}$$

Ku:

- T = koha e udhëtimit për segmentin i, min
- L = gjatësia e rrymës për segmentin i, m
- V = shpejtësia për segmentin i, m/s

4.3 Drenazhet gjatesore

Ne figuren me poshte jepet ne menyre skematike rruga qe pershkjojnë rreshjet e shiut ne trupin e rruges dhe ne drenazhimet gjatesore deri ne shkarkimin e tyre ne drenazhimet terthore si Tombino apo Ura.

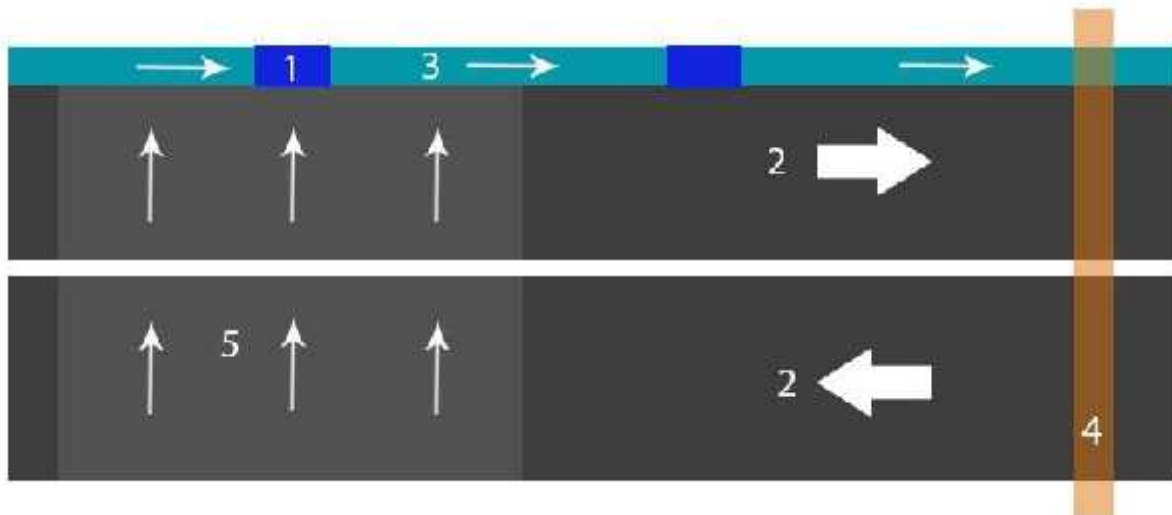


Figura: 4-1 Skema e drenazhit të sipërfaçës së trupit të rrugë

1. Puseta e shkarkimit të Kunetes
2. Korsite e levizjes se automjeteve perfshir bankinen nese ka
3. Kuneta dhe Tubacioni drenazhues nen te.
4. Tombino
5. Sipërfaqja ujembledhese e një kunete.

Nga ajo qe paraqitet me lart duhet te themi qe ne projekt rastisim disa raste si me poshte:

- i. Kuneta gjendet ne dyja anet e rruges.
- ii. Kuneta gjendet vetem ne njerin ane te rruges.

4.3.1 Percaktimi i prurjes llogaritese

Marrim te mireqena vlerat e meposhteme:

Pjerresia terthore e rruges $S_1 = 2.5\% = 0.025 \text{m/m}$, Pjerresia gjatesore e kunetes $S_2 = 4\% = 0.040 \text{m/m}$

Gjatesia maksimale e udhetimit ne trup te rruges $L_1 = 3.75 \text{m}$, 3 Bankine $L_2 = 50 \text{m}$

Sipërfaqja e kullimit eshte asfalt dhe beton prandaj nga tabela e Koeficientit te rrjedhes $C=0.73$, $C_f=1$

4.3.1.1 Percaktimi siperaqes se kullimit.

Siperaqja e kullimit perbehet nga distanca ndermjet pusetave shkarkuese te kunetes dhe gjeresia e truptit te rruges.

Distanca ndermjet pusetave te shkarkimit te kunetes eshte 50m. Gjeresia e trupit te rruges:
Rasti i: Gjersesi Korsie + bankine = $3.50+1.00 = 4.50\text{m}$

Rasti ii: $2 \times (\text{Gjersesi Korsie} + \text{bankine}) = 9.50\text{m}$

$$A_i = 4.75 \cdot 50 = 237.50\text{m}^2 \quad A_{ii} = 9.50 \cdot 50 = 475\text{m}^2$$

- V = shpejtësia, m/s
- k = koeficienti i ndërprerjes (shiko Tabelën)
- Sp = pjerrësia, në përqindje

Mbulimi i Tokës/regjimi i rrymës	k
Pyll me kashtë; kullotë me bar të thatë (rrymë mbitokësore).	0.076
Kultivim mbeturinash ugar ose tokë e lëruar në minimum; e korrur me vija ose me kontur; tokë pyjore (rrymë mbitokësore).	0.152
Kullota me bar të shkurtër (rrymë mbitokësore).	0.213
Resht i drejtë i kultivuar (rrymë mbitokësore).	0.274
Thuajse e zhveshur dhe e palëruar (rrymë mbitokësore); mbeturina të sjella në rajonet malore perendimore.	0.305
Rrjedhë e mbjellë me bar (rrymë e cekët e përqëndruar).	0.457
E pashtuar (rrymë e cekët e përqëndruar).	0.491
Zonë e shtruar (rrymë e cekët e përqëndruar); kanale të vogla sipërfaqësore.	0.619

Tabela: 4-2 Koeficienti i Nderprerjes

Figure 4-1 - Harta me basenet ujembledhese te tominove kryesore

4.6 Urat

Llogaritja hidraulike e urave behet per prurje llogaritese te plotave me 1% siguri (periudhe perseritje nje here ne 100 vjet). Sikurse eshte trajtar dhe me siper percaktohen prurjet llogaritese ne akset e deshiruara me funksionet e nxjera nga analizimi i rrjedhjave te secilit Lum.

Prurjet llogaritese do percaktohet nga varesia e llogaritur me lart ne kapitullin 3.3.2 per pellje ujembledhese te medha (Lumi Vjosa), dhe me metoden raionale per deget e saje.

- Per P1% **$Q_p=0.0601 \times X^{1.323}$**

Per te percaktuar kuoten e vendosjes se ures ndertojme grafikun $Q=f(H)$ ne aksin perkates.

Nga ky grafik marim lartesine e ures qe siguron kalimin e prurjes llogaritese. Mbi kete lartesi shtojme nje distance prej 1.0m (Franko).

Te dy urat pjese e ketije segmenti shtrihen per gjat shtratit te lumbit Vjosa. Plotat me te medha ne Vjose jane vene re ne vitet 1937,1962-1963, dhe 1970-1971 ku kjo e fundit ka qene plota me e larte ne Vjose. Ne rrjetin e degeve te Vjosës plotat formohen nga shirat me karakter rrebeshi.

Ne vitin 1953 ne hyrjen e kanalit Levan Vjose Fier eshte ndertuar nje mur qe pengoi permbytjen e ketij kanali.Urat e parashikuara ne kete segment jane si me poshte:

1. URE BETON ARME 75x6 m PG. 12 +000.90 - PG. 12.+660

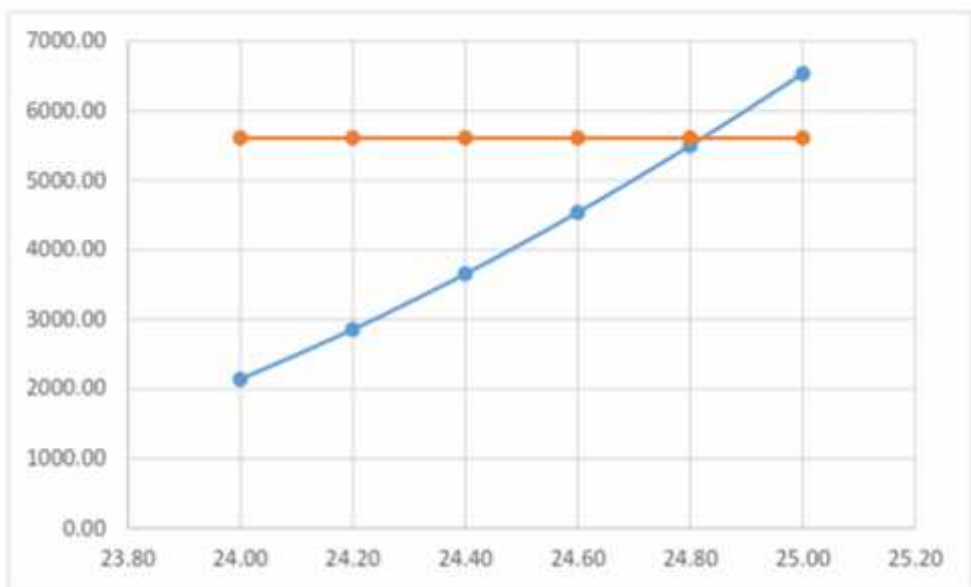
Siperfaqja e pellgut ujembledhes deri ne aksin e rruges eshte rreth 5610 ha. Duke perdorur ekuacionin e varesise se prujeve te plotave me 1% siguri nga siperfaqja e pellgut ujembledhes, perfitorjme prurjen llogaritese per aksin ne shqyrtim.

$$Q_p=0.0601 \times X^{1.323} = 5,479.64 \text{ m}^3/\text{s}$$

Ne tabelen me poshte paraqiten llogaritjet hidraulike per nivelin maksimal te ujit per ploten me 1% siguri.

X	Qp	Kuota	Sures	Plagur	R	V	C Basin	C Kuteri	ω	Qkal	Qkal/ Qmax
	m3/s		m2	m	m	m/s				m3/s	
5,610	5,479.64	24.00	1430.00	1417	1.009	1.49	31.72	36.46	3665.31	2137.85	39%
5,610	5,479.64	24.20	1677.40	1419	1.182	1.70	33.33	38.32	3223.03	2851.84	52%
5,610	5,479.64	24.40	1924.80	1421	1.355	1.89	34.74	39.94	2888.66	3651.25	67%
5,610	5,479.64	24.60	2172.20	1422	1.528	2.08	36.01	41.39	2624.85	4534.70	83%
5,610	5,479.64	24.80	2419.60	1423	1.700	2.27	37.14	42.69	2411.84	5497.27	100%

5,610	5,479.64	25.00	2667.00	1424	1.873	2.45	38.17	43.88	2235.94	6536.06	119%
-------	----------	-------	---------	------	-------	------	-------	-------	---------	---------	------



Pregatiti: Ing. Kujtim Bilaj

Skend
er Cela
Digitally signed
by Skender Cela
Date: 2020.08.07
12:41:38 +02'00'